



การออกแบบโปรแกรมและวงจรกรองสัญญาณความถี่แบบเรียลไทม์
FREQUENCY FILTER DESIGN AND APPLICATION IN REAL TIME



นายภัทรพงศ์ เพชรรัตน์ รหัส 48380242

ห้องสมุดคณะวิศวกรรมศาสตร์
วันที่รับ.....1.2/ก.ย. 2556.....
เลขทะเบียน.....16234514.....
เลขเรียกหนังสือ..... ๗๙.....
มหาวิทยาลัยนเรศวร ๖๖๒๓

2565
ปริญญานิพนธ์นี้เป็นส่วนหนึ่งของการศึกษาหลักสูตรปริญญาวิศวกรรมศาสตรบัณฑิต

สาขาวิชาวิศวกรรมไฟฟ้า ภาควิชาวิศวกรรมไฟฟ้าและคอมพิวเตอร์

คณะวิศวกรรมศาสตร์ มหาวิทยาลัยนเรศวร

ปีการศึกษา 2555



ใบรับรองปริญญาานิพนธ์

ชื่อหัวข้อโครงการ ออกแบบ โปรแกรมและวงจรกรองสัญญาณความถี่แบบเรซลิทไม้ม

ผู้ดำเนินโครงการ นายภัทรพงศ์ เพชรรัตน์ รหัส 48380242

ที่ปรึกษาโครงการ ดร.มุกิตา สงฆ์จันทร์


สาขาวิชา วิศวกรรมไฟฟ้า

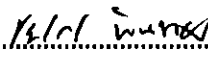
ภาควิชา วิศวกรรมไฟฟ้าและคอมพิวเตอร์

ปีการศึกษา 2555

คณะวิศวกรรมศาสตร์ มหาวิทยาลัยเทคโนโลยีพระจอมเกล้าธนบุรี อนุมัติให้ปริญญาานิพนธ์ฉบับนี้เป็นส่วนหนึ่ง
ของการศึกษาดำเนินการหลักสูตรวิศวกรรมศาสตรบัณฑิต สาขาวิชาวิศวกรรมไฟฟ้า


.....ที่ปรึกษาโครงการ
(ดร.มุกิตา สงฆ์จันทร์)


.....กรรมการ
(ผศ.ดร.ศุภวรรณ พลพิทักษ์ชัย)


.....กรรมการ
(ดร.ชัยรัตน์ พินทอง)

ชื่อหัวข้อโครงการ การออกแบบ โปรแกรมและวงจรกรองสัญญาณความถี่แบบเรียลไทม์

ผู้ดำเนินโครงการ นายภัทรพงศ์ เพชรรัตน์ รหัส 48380242

ที่ปรึกษาโครงการ คร.มูทิตา สงฆ์จันทร์

สาขาวิชา วิศวกรรมไฟฟ้า

ภาควิชา วิศวกรรมไฟฟ้าและคอมพิวเตอร์

ปีการศึกษา 2555

บทคัดย่อ

ปริญญาานิพนธ์เล่มนี้ได้ศึกษาเกี่ยวกับการประมวลผลแบบเวลาจริง (Real-Time Signal - Processing) โดยสัญญาณที่ประมวลผลมาจากวงจรผลิตสัญญาณความถี่ (FET) แบบเวนบริดจ์ ออสซิลเลเตอร์ (Wien-Bridge Oscillator) ซึ่งให้ผลตอบสนองทางเอาต์พุตออกมาเป็นสัญญาณรูปไซน์ที่มีความถี่หนึ่งกิโลเฮิรต์ ทำการศึกษาสัญญาณโดยเทียบกับวงจรกรองความถี่แบบต่างๆ เช่น วงจรกรองความถี่ต่ำ (low - pass filter: LPF) วงจรกรองความถี่สูง (high - pass filter: HPF) วงจรตัวกรองความถี่แถบผ่าน (band - pass filter: BPF) และวงจรกรองความถี่แถบหยุด (band - stop filter: BSF) เพื่อวิเคราะห์และศึกษาการทำงานของวงจรกรองความถี่ จากการวิเคราะห์สัญญาณที่ออกมาแล้วได้สัญญาณอะนาล็อก จึงได้พัฒนาการประมวลผลโดยการใช้ไมโครคอนโทรลเลอร์เป็นตัวเชื่อมต่อกับคอมพิวเตอร์ทำให้การประมวลผลสัญญาณแบบเวลาจริง (Real-Time Signal Processing) สามารถเก็บข้อมูล และเข้าใจได้ง่ายขึ้น นอกจากนี้ยังสามารถพัฒนาไปยังความถี่อื่นๆ ได้อีกด้วย

Project title Frequency Filter Design and Application in Real-Time

Name Mr.Pattarapong Phetcharat ID. 48380242

Project advisor Miss Mutita Songjun, Ph.D.

Major Electrical Engineering

Department Electrical and Computer Engineering

Academic year 2012

Abstract

This project studies is about Real-time Signal Processing Wien-Bridge Oscillator generate the output sinusoidal at 1 KHz. The signal will input to the different type of filter as low-pass filter, high-pass filter, band-pass filter and band-stop filter. The output will also be shown in computer via Delphi program. To analyze and study the performance of the filter frequency from the output signal to be analog signal. So that development process using a microcontroller is connected to the computer. To make real-time signal processing, data storage and more easily understood. It is also possible to develop other frequencies as well.

กิตติกรรมประกาศ

โครงการวิศวกรรมเรื่องการออกแบบโปรแกรมและวงจรรองสัญญาณความถี่แบบ
เรียลไทม์สำเร็จได้ด้วยดี ผู้ดำเนินโครงการขอกราบขอบพระคุณ ดร.มุกิตา สงฆ์จันทร์ ซึ่งเป็น
อาจารย์ที่ปรึกษาโครงการผู้ให้คำแนะนำ ให้ความช่วยเหลือ และข้อคิดเห็นต่างๆ อันเป็นประโยชน์
ในการทำโครงการนี้ ขอขอบพระคุณอาจารย์ประจำภาควิชาวิศวกรรมไฟฟ้าและคอมพิวเตอร์ทุกๆ
ท่านที่ประสิทธิ์ประสาทวิชาความรู้กับผู้ดำเนินโครงการ และขอขอบคุณคณาจารย์คณะ
วิศวกรรมศาสตร์ทุกท่านที่ให้ความรู้ตลอดการเรียนที่ผ่านมา

ขอขอบคุณ นายวิณะ คำนวิไล ผู้เสียสละ ตั้งแต่เริ่มจัดทำโครงการ จนโครงการนี้สำเร็จ
ได้ด้วยดี ขอขอบคุณพี่น้องคณะวิศวกรรมศาสตร์ทุกท่านที่คอยให้ความช่วยเหลือ และให้กำลังใจที่ดี
เสมอมา

ขอบคุณภาควิชาวิศวกรรมไฟฟ้าและคอมพิวเตอร์ และคณะวิศวกรรมศาสตร์ที่ให้ความ
เอื้อเฟื้ออุปกรณ์และสถานที่ในการทำโครงการ

นายภัทรพงศ์ เพชรรัตน์

สารบัญ

	หน้า
ใบรับรองปริญญาโท	ก
บทคัดย่อภาษาไทย	ข
บทคัดย่อภาษาอังกฤษ	ค
กิตติกรรมประกาศ	ง
สารบัญ	จ
สารบัญตาราง	ช
สารบัญรูป	ซ
บทที่ 1 บทนำ	
1.1 ที่มาและความสำคัญ	1
1.2 วัตถุประสงค์	1
1.3 ขอบข่ายการศึกษา	1
1.4 ขั้นตอนการดำเนินงาน	2
1.5 ประโยชน์ที่ได้รับ	2
1.6 งบประมาณ	2
บทที่ 2 หลักการและทฤษฎี	
2.1 พื้นฐานการออกแบบวงจรผลิตความถี่	3
2.2 วงจรกรองความถี่	7
2.3 ไมโครคอนโทรลเลอร์ ATMEGA8	19
2.4 รีเลย์	25
2.5 สวิตชิงเพาเวอร์ซัพพลาย	27
บทที่ 3 วิธีการดำเนินงาน	
3.1 ศึกษาและรวบรวมข้อมูลเกี่ยวกับโปรแกรมและตัวกรองความถี่	30
3.2 การออกแบบวงจรกรองสัญญาณความถี่แบบรีเบิลโหม้	30
3.3 แหล่งจ่ายไฟกระแสสลับให้กับวงจร	31
3.4 การสร้างวงจรผลิตความถี่แบบเวเนบรีดจ์ออสซิลเลเตอร์	32

สารบัญ (ต่อ)

	หน้า
3.5 การสร้างวงจรกรองความถี่ต่ำผ่าน	33
3.6 การสร้างวงจรกรองความถี่สูงผ่าน	34
3.7 การสร้างวงจรกรองความถี่แถบผ่าน	35
3.8 การสร้างวงจรกรองความถี่แถบหยุด	36
3.9 การประกอบวงจรกรองความถี่พร้อมใช้งานแบบเรียลไทม์	38
บทที่ 4 ผลการทดลอง	
4.1 หน้าต่างโปรแกรมเคลฟ	39
4.2 สัญญาณที่เกิดจากวงจรผลิตความถี่แบบเวนบริดจ์ออสซิลเลเตอร์	40
4.3 สัญญาณที่เกิดจากวงจรกรองความถี่ต่ำผ่าน	41
4.4 สัญญาณที่เกิดจากวงจรกรองความถี่สูงผ่าน	42
4.5 สัญญาณที่เกิดจากวงจรกรองความถี่แถบผ่าน	43
4.6 สัญญาณที่เกิดจากวงจรกรองความถี่แถบหยุด	44
บทที่ 5 สรุปและอภิปรายผลการทดลอง	
5.1 สรุปผลการดำเนินงาน	46
5.2 ปัญหาและข้อเสนอแนะ	46
5.3 ประเมินผล	46
5.4 แนวทางในการพัฒนาโครงการต่อไป	47
เอกสารอ้างอิง	48
ภาคผนวก ก	49
ภาคผนวก ข	61
ภาคผนวก ค	88
ประวัติผู้ดำเนินโครงการ	106

สารบัญตาราง

ตารางที่	หน้า
1.1 ขั้นตอนการดำเนินงาน	2
2.1 หน้าที่การทำงานของขาสัญญาณทั้งหมดของ ATMEGA8	21



สารบัญรูป

รูปที่	หน้า
2.1 วงจรผลิตความถี่แบบเวนบริดจ์ออสซิลเลเตอร์	3
2.2 สัญญาณเอาต์พุตของวงจรแบบ โดเมนทางเวลา (Time Domain)	5
2.3 สัญญาณเอาต์พุตของวงจรแบบ โดเมนทางความถี่ (Frequency Domain)	5
2.4 การออกแบบวงจรผลิตความถี่แบบเวนบริดจ์ออสซิลเลเตอร์	5
2.5 สัญญาณเอาต์พุตของวงจรแบบ โดเมนทางเวลา	7
2.6 สัญญาณเอาต์พุตของวงจรแบบ โดเมนทางความถี่	7
2.7 วงจรกรองสัญญาณความถี่ต่ำและกราฟแสดงอัตรายายแรงดันเชิงความถี่	8
2.8 วงจรกรองสัญญาณความถี่สูงและกราฟแสดงผลการตอบสนองต่ออัตรายายเชิงความถี่	10
2.9 วงจรกรองสัญญาณช่วงความถี่และกราฟแสดงผลตอบสนองอัตรายายเชิงความถี่	12
2.10 กราฟแสดงการตอบสนองความถี่ของวงจรผสม	16
2.11 แสดงวงจรลดทอนสัญญาณช่วงความถี่และผลตอบสนองต่อความถี่	17
2.12 การจัดขาของ ATMEGA8	20
2.13 รีเลย์และสัญลักษณ์ของรีเลย์	25
2.14 สภาวะการทำงานของรีเลย์	26
2.15 หน้าสัมผัสและการเรียกจำนวนหน้าสัมผัส	27
2.16 สวิตซ์িংเพาเวอร์ซัพพลาย	27
2.17 องค์ประกอบพื้นฐานของสวิตซ์িংเพาเวอร์ซัพพลาย	28
2.18 วงจรสวิตซ์িংเพาเวอร์ซัพพลาย	29
3.1 ขั้นตอนการทำงานของวงจรกรองสัญญาณความถี่แบบเรียลไทม์	31
3.2 แบบวงจรแหล่งจ่ายไฟ	31
3.3 แหล่งจ่ายไฟกระแสสลับ	31
3.4 แบบวงจรผลิตความถี่แบบเวนบริดจ์ออสซิลเลเตอร์	32
3.5 วงจรผลิตความถี่แบบเวนบริดจ์ออสซิลเลเตอร์	33
3.6 แบบวงจรตัวกรองความถี่ต่ำผ่าน	33
3.7 วงจรกรองความถี่ต่ำผ่าน	34
3.8 แบบวงจรกรองความถี่สูงผ่าน	34
3.9 วงจรกรองความถี่สูงผ่าน	35
3.10 แบบวงจรกรองความถี่แถบผ่าน	35
3.11 วงจรกรองความถี่แถบผ่าน	36

สารบัญรูป (ต่อ)

รูปที่	หน้า
3.12 แบบวงจรกรองความถี่แถบหยุดเฉพาะช่วงแคบผ่าน.....	37
3.13 วงจรกรองความถี่แถบหยุดเฉพาะช่วงแคบผ่าน	37
3.14 วงจรกรองสัญญาณความถี่พร้อมใช้งานแบบเรียลไทม์	38
4.1 หน้าต่างของ โปรแกรมเคลไฟ.....	39
4.2 สัญญาณจากวงจรผลิตความถี่แบบเวเนบรีค้อออสซิลเลเตอร์.....	41
4.3 สัญญาณที่เกิดจากวงจรกรองความถี่ต่ำผ่าน.....	41
4.4 กราฟแสดงการวิเคราะห์ฟังก์ชัน โคร่งข่ายเทียบกับความถี่ของสัญญาณความถี่ที่มาจากวงจร กรองความถี่ต่ำผ่าน.....	42
4.5 สัญญาณที่เกิดจากวงจรกรองความถี่สูงผ่าน.....	42
4.6 กราฟแสดงการวิเคราะห์ฟังก์ชัน โคร่งข่ายเทียบกับความถี่ของสัญญาณความถี่ที่มาจากวงจร กรองความถี่สูงผ่าน.....	43
4.7 สัญญาณที่เกิดจากวงจรกรองความถี่แถบผ่าน.....	43
4.8 กราฟแสดงการวิเคราะห์ฟังก์ชัน โคร่งข่ายเทียบกับความถี่ของสัญญาณความถี่ที่มาจากวงจร กรองความถี่แถบผ่าน.....	44
4.9 สัญญาณวงจรกรองความถี่แถบหยุดเฉพาะช่วงแคบผ่าน.....	44
4.10 กราฟแสดงการวิเคราะห์ฟังก์ชัน โคร่งข่ายเทียบกับความถี่ของสัญญาณความถี่ที่มาจากวงจร กรองความถี่แถบหยุดเฉพาะช่วงแคบผ่าน.....	45

บทที่ 1

บทนำ

1.1 ที่มาและความสำคัญ

ในระบบสื่อสาร วงจรกรองความถี่เป็นวงจรทางอิเล็กทรอนิกส์ที่มีความสำคัญอย่างมาก ด้วยคุณสมบัติในการทำงาน หรือผลตอบแทนในการทำงานทางด้านความถี่จึงได้มีการนำไปประยุกต์ใช้งานในด้านต่างๆ เช่นระบบอิเล็กทรอนิกส์ ระบบสื่อสาร ระบบควบคุม และเครื่องมือแพทย์ วงจรกรองความถี่แบ่งเป็นสองแบบคือ วงจรกรองความถี่แบบอนาล็อก (Analog Filter) และ วงจรกรองความถี่แบบดิจิทัล (Digital Filter) วงจรกรองความถี่ทำหน้าที่จำแนกความถี่ตามความต้องการ ซึ่งแบ่งตามคุณลักษณะของผลตอบแทนความถี่ (frequency response) ได้แก่ วงจรกรองความถี่ต่ำผ่าน (low-pass filter ; LPF) วงจรกรองความถี่สูงผ่าน (high-pass filter ; HPF) วงจรกรองแถบความถี่ผ่าน (band-pass filter ; BPF) และวงจรกรองแถบความถี่หยุดผ่าน (band-stop filter ; BSF) ซึ่งใช้สำหรับกำจัดสัญญาณที่ไม่ต้องการออก และแยกสัญญาณที่มีความซับซ้อนออกมาเป็น ส่วนๆ เพื่อป้อนเข้าสู่วงจรต่างๆ ของระบบต่อไป ซึ่งโดยพื้นฐานแล้ววงจรกรองสัญญาณไฟฟ้านั้น จัดเป็นเน็ตเวิร์ก (Network) ทางไฟฟ้าโดยประกอบขึ้นจากอุปกรณ์พื้นฐาน ได้แก่ ตัวต้านทาน ตัวเก็บประจุ และตัวเหนี่ยวนำ เพื่อให้ได้คุณสมบัติตามที่ต้องการ

ดังนั้นการศึกษาเกี่ยวกับคุณลักษณะของตัวกรองความถี่ โดยใช้วิธีการทดสอบจากวงจรผลิตความถี่ (FET) รวมถึงทฤษฎีการวิเคราะห์ตัวกรองไมโครคอนโทรลเลอร์จึงมีความสำคัญอย่างยิ่ง โดยมุ่งเน้นไปที่ผลตอบแทนของตัวกรองความถี่ซึ่งสามารถประยุกต์กับการใช้งานจริงได้

1.2 วัตถุประสงค์

สร้างวงจรกรองความถี่แบบรีซลท์ใหม่และแสดงผลออกทางหน้าจอคอมพิวเตอร์

1.3 ขอบข่ายการศึกษา

1. สร้างวงจรผลิตความถี่ขนาดหนึ่งกิโลเฮิร์ต
2. สร้างวงจรกรองความถี่แบบต่ำผ่าน สูงผ่าน แถบผ่าน และแถบหยุด
3. แสดงผลผ่านทางหน้าจอคอมพิวเตอร์โดยใช้โปรแกรมเคลไฟ

1.4 ขั้นตอนการดำเนินงาน

ตารางที่ 1.1 ขั้นตอนการดำเนินงาน

กิจกรรม	ปี 2555							
	มิ.ย.	ก.ค.	ส.ค.	ก.ย.	ต.ค.	พ.ย.	ธ.ค.	
1. ศึกษาและรวบรวมข้อมูลเกี่ยวกับโปรแกรมและตัวกรองความถี่								
2. ออกแบบวงจรที่ใช้ในการวิเคราะห์ตัวกรองความถี่แบบเรียลไทม์								
	ปี 2556							
	ม.ค.	ก.พ.	มี.ค.	เม.ย.	พ.ค.	มิ.ย.	ก.ค.	ส.ค.
3. สร้างตัวกรองความถี่แบบเรียลไทม์								
4. ทดสอบตัวกรองความถี่แบบเรียลไทม์								
5. รวบรวมผลการทดสอบและจัดรูปเล่ม								

1.5 ประโยชน์ที่คาดว่าจะได้รับ

เข้าใจเกี่ยวกับคุณสมบัติและคุณลักษณะของตัวกรองความถี่แบบเรียลไทม์ สามารถนำความรู้ทางคณิตศาสตร์มาประยุกต์ใช้กับการวิเคราะห์ตัวกรองความถี่แบบเรียลไทม์ หาโครงสร้างที่เหมาะสมสำหรับการทำงาน และสามารถใช้โปรแกรมพร้อมการเชื่อมต่อระหว่างฮาร์ดแวร์และซอฟต์แวร์สำหรับวิเคราะห์ตัวกรองความถี่แบบเรียลไทม์

1.6 งบประมาณ

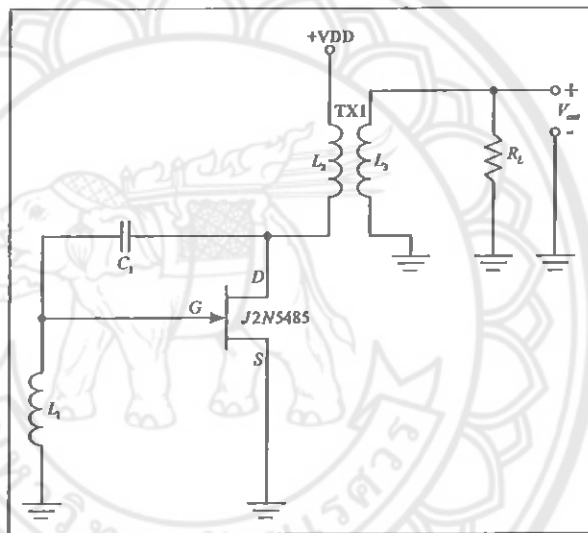
ค่าวัสดุอุปกรณ์อิเล็กทรอนิกส์	4,000 บาท
ค่าถ่ายเอกสารและเข้าเล่มปริญญานิพนธ์	1,000 บาท
รวมเป็นเงินทั้งสิ้น (ห้าพันบาทถ้วน)	<u>5,000 บาท</u>
หมายเหตุ: ถัวเฉลี่ยทุกรายการ	

บทที่ 2

หลักการและทฤษฎี

2.1 พื้นฐานการออกแบบวงจรผลิตความถี่

พื้นฐานการออกแบบวงจรผลิตความถี่ด้วยอุปกรณ์ต่างๆ นำหลักการทํางานและคุณสมบัติของแต่ละอุปกรณ์มาใช้ในการสร้างวงจรผลิตความถี่ เพื่อให้เกิดความเข้าใจในการออกแบบวงจรผลิตความถี่มากขึ้น การออกแบบวงจรผลิตความถี่แบบเวนบริดจ์ออสซิลเลเตอร์ (Wien-Bridge Oscillator) ดังแสดงในรูปที่ 2.1 มีวิธีการออกแบบดังนี้



รูปที่ 2.1 วงจรผลิตความถี่แบบเวนบริดจ์ออสซิลเลเตอร์

จากรูปที่ 2.1 วงจรผลิตความถี่จะใช้อุปกรณ์เฟคตัวเก็บประจุ ตัวเหนี่ยวนำ หม้อแปลง และตัวต้านทานมาสร้างเป็นวงจร ซึ่งวงจรผลิตความถี่แบบฮาร์ทเลย์ (Hartley) จะให้ผลตอบสนองทางเอาต์พุตออกมาเป็นสัญญาณรูปไซน์ (Sinusoidal) โดยสามารถเขียนสมการที่ใช้ในการออกแบบวงจรผลิตความถี่แบบเวนบริดจ์ออสซิลเลเตอร์ได้ดังสมการที่ 2.1 และสมการที่ 2.2

$$\omega = \frac{1}{\sqrt{C(L_1+L_2)}} \quad (2.1)$$

เมื่อกำหนดให้

$$\omega = 2\pi f$$

$$R = R_L \left(\frac{n_2}{n_3} \right)^2 = \frac{L_2}{g_m L_1} \quad (2.2)$$

เมื่อกำหนดให้
$$gm = \frac{1}{\omega^2 L_1 R C_1} - \frac{1}{R} = \frac{L_2}{R L_1}$$

การออกแบบวงจรส่วนใหญ่จะกำหนดให้ $L_1 = L_2$ ดังนั้นสามารถเขียนสมการที่ใช้ในการคำนวณหาค่าของตัวเก็บประจุ (C_1) ได้ดังสมการที่ 2.3

$$C_1 = \frac{1}{\omega^2(L_1+L_2)} = \frac{1}{(2\pi f)^2(L_1+L_2)} \quad (2.3)$$

เมื่อพิจารณาค่าแรงดันจากวงจร $V_{DS} = V_{DD}$ และ $V_{GS} = 0$ โวลต์ ข้อมูลของอุปกรณ์เฟตเตอร์ 2N5485 ที่นำมาใช้ในการออกแบบวงจรนี้จะดูค่าของทรานสคอนดักแตนซ์ (Transconductance: gm) ว่ามีค่าเท่าไร เพื่อจะนำมาใช้ในการออกแบบวงจร ซึ่งมีค่าเท่ากับ 3500 ไมโครวินาทีถึง 7000 ไมโครวินาที โดยการออกแบบจะนำค่าต่ำสุดมาใช้คือ 3500 ไมโครวินาที ซึ่งทำให้สามารถคำนวณหาค่าของ R ได้ดังสมการที่ 2.4 สัญญาณเอาต์พุต (V_{out}) ที่ได้จากวงจรแสดงได้ดังรูปที่ 2.2 และรูปที่ 2.3 และการออกแบบวงจรผลิตความถี่แบบเวเนบรีจ้ออสซิลเลเตอร์ ดังรูปที่ 2.4

$$R = \frac{L_2}{gmL_1} \quad (2.4)$$

ขั้นตอนการคำนวณหาค่า Turns Ratio สามารถคำนวณได้ดังสมการที่ 2.5

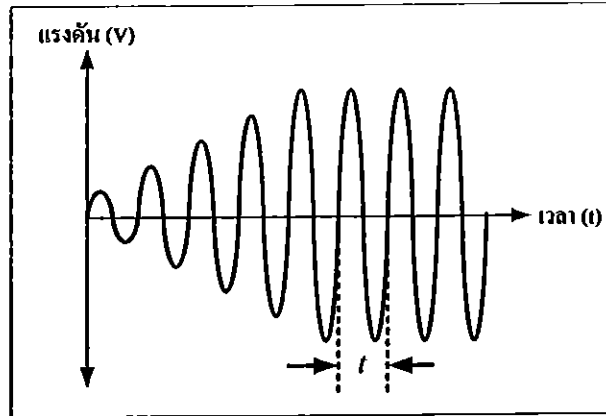
$$\frac{n_2}{n_1} = \sqrt{\frac{R}{R_L}} \quad (2.5)$$

ขั้นตอนการคำนวณหาค่า Coupling สามารถคำนวณได้ดังสมการที่ 2.6

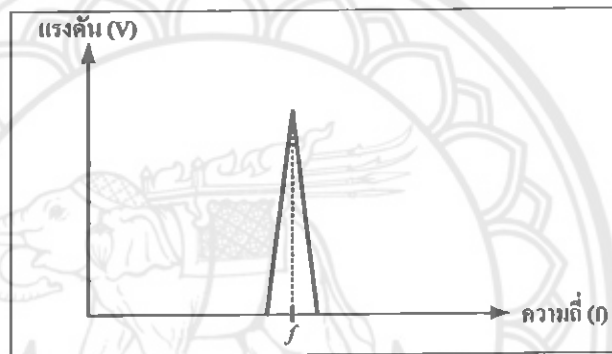
$$Coupling = \frac{n_3}{n_2} = \frac{1}{(n_2/n_1)} \quad (2.6)$$

ขั้นตอนการคำนวณหาค่า L_3 สามารถคำนวณได้ดังสมการที่ 2.7

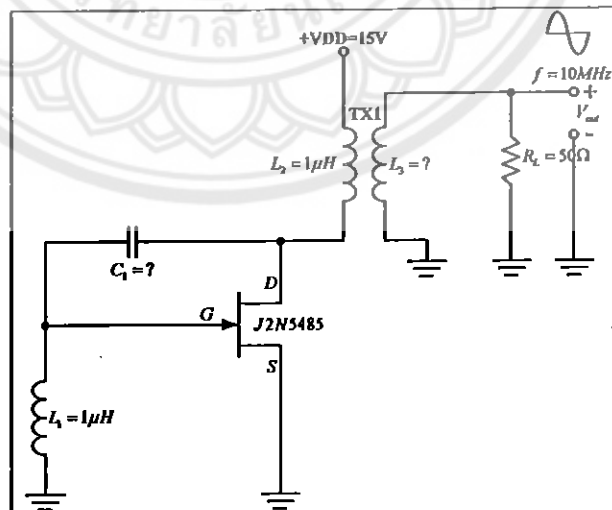
$$L_3 = L_2 \left(\frac{n_3}{n_2} \right)^2 = L_2 \left(\frac{1}{(n_2/n_1)} \right)^2 \quad (2.7)$$



รูปที่ 2.2 สัญญาณเอาต์พุตของวงจรแบบ โดเมนทางเวลา (Time Domain)



รูปที่ 2.3 สัญญาณเอาต์พุตของวงจรแบบ โดเมนทางความถี่ (Frequency Domain)



รูปที่ 2.4 การออกแบบวงจรผลิตความถี่แบบเวนบริดจ์ออกสวิตเลเตอร์

จากรูปที่ 2.4 เป็นการออกแบบวงจรผลิตความถี่แบบเวนบริจ้ออสซิลเลเตอร์ซึ่งค่าความถี่เท่ากับ 10 เมกกะเฮิร์ต โดยกำหนดให้ใช้เฟตเตอร์ J2N5485 ป้อนแรงดันให้กับวงจรมีค่าเท่ากับ $+V_{DD} = 15$ โวลต์ กำหนดให้ใช้ตัวเหนี่ยวนำ ($L_1 = L_2 = 1$ ไมโครเฮิร์ต) และกำหนดให้ใช้ตัวต้านทาน (R_L) เท่ากับ 50 โอห์ม จากข้อมูลที่กำหนดสามารถคำนวณหาค่าของตัวเก็บประจุ (C_1) ได้ดังสมการที่ 2.3

$$C_1 = \frac{1}{\omega^2(L_1+L_2)} = \frac{1}{(2\pi f)^2(L_1+L_2)}$$

$$C_1 = \frac{1}{(2\pi \times 10^8)^2}$$

$$C_1 = 126.7 \text{ PF}$$

คำนวณหาค่าของตัวต้านทาน R ได้ดังสมการที่ 2.4

$$R = \frac{L_2}{gmL_1} = \frac{1\mu H}{3500\mu s \times 1\mu H}$$

$$R = 285.7\Omega \approx 300 \text{ โอห์ม}$$

คำนวณหาค่าอัตราส่วนจำนวนรอบ (Turns Ratio) สามารถคำนวณได้ดังสมการที่ 2.5

$$\frac{n_2}{n_1} = \sqrt{\frac{R}{R_L}} = \sqrt{\frac{300\Omega}{50\Omega}} = 2.45$$

คำนวณหาค่าการเชื่อมต่อ (Coupling) สามารถคำนวณได้ดังสมการที่ 2.6

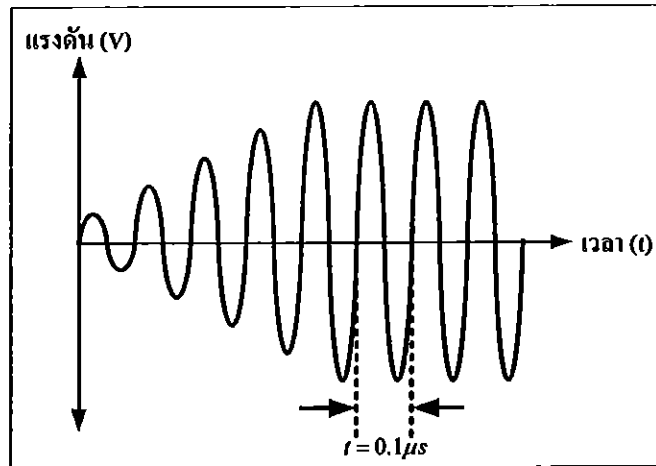
$$\text{Coupling} = \frac{n_3}{n_2} = \frac{1}{(n_2/n_1)} = \frac{1}{2.45} = 0.408$$

คำนวณหาค่าขดลวดเหนี่ยวนำที่ L_3 ซึ่งสามารถคำนวณได้ดังสมการที่ 2.7

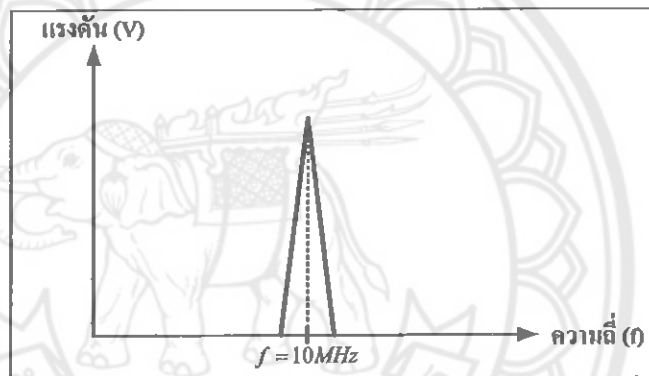
$$L_3 = L_2 \left(\frac{n_3}{n_2} \right)^2 = L_2 \left(\frac{1}{(n_2/n_1)} \right)^2$$

$$L_3 = 1\mu H \left(\frac{1}{2.45} \right)^2 = 0.1667\mu H$$

ค่าอุปกรณ์ต่างๆ สามารถนำมาสร้างเป็นวงจรผลิตความถี่ที่ต้องการได้ โดยผลตอบสนองของวงจรสามารถเขียนแสดงได้ดังรูปที่ 2.5 และรูปที่ 2.6



รูปที่ 2.5 สัญญาณเอาต์พุตของวงจรแบบ โคเมนทางเวลา



รูปที่ 2.6 สัญญาณเอาต์พุตของวงจรแบบ โคเมนทางความถี่

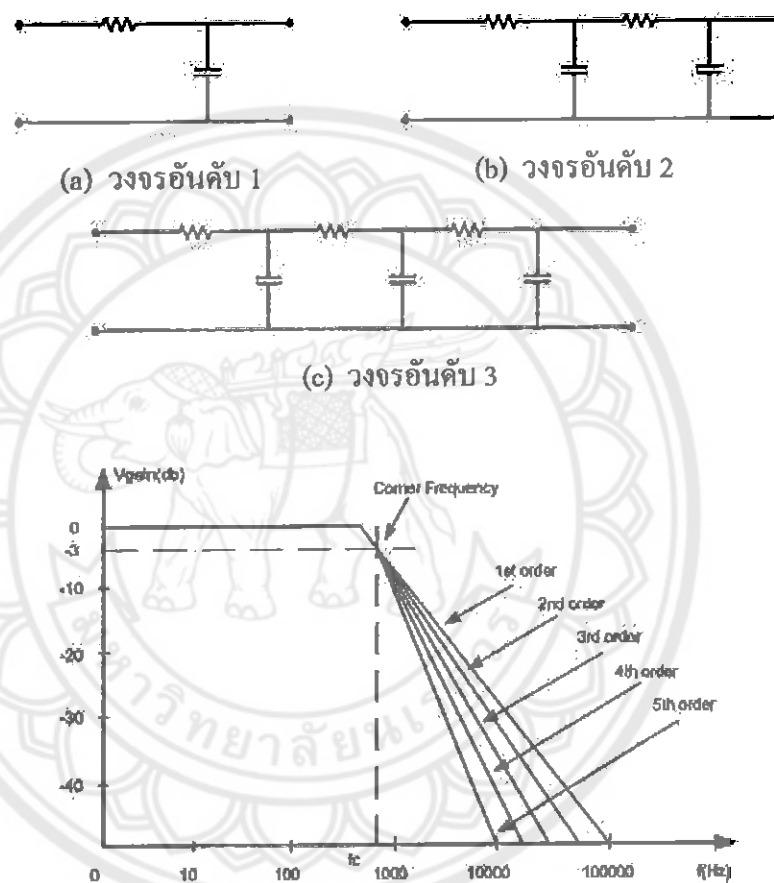
2.2 วงจรกรองความถี่ (Filter Circuit)

วงจรกรองความถี่หรือฟิลเตอร์ (Filter) คือวงจรไฟฟ้าที่ยอมให้สัญญาณไฟฟ้าที่ความถี่ใดๆ ความถี่หนึ่งหรือช่วงความถี่ใดความถี่หนึ่งเท่านั้นผ่านไปได้ ส่วนความถี่อื่นหรือช่วงความถี่อื่นๆ นอกเหนือจากที่กำหนดจะถูกกลดทอนไปซึ่งจะเป็นช่วงความถี่ใดนั้นจะขึ้นอยู่กับการออกแบบวงจร ซึ่งมี 2 แบบได้แก่ แบบพาสซีฟคือวงจรที่ประกอบขึ้นด้วยอุปกรณ์แบบพาสซีฟ อุปกรณ์นี้สามารถทำงานได้โดยไม่ต้องมีการกระตุ้นด้วยไฟฟ้าเพื่อให้ทำงาน เช่นอุปกรณ์ประเภทตัวต้านทาน (R) ตัวเก็บประจุ (C) และขดลวดเหนี่ยวนำ (L) แบบที่สองคือแบบแอคทีฟ เป็นวงจรที่ประกอบขึ้นด้วยอุปกรณ์ที่ต้องการไฟฟ้า เพื่อกระตุ้นการทำงานของตัวอุปกรณ์ เช่นอุปกรณ์ประเภททรานซิสเตอร์ หรือไอซี

2.2.1 วงจรกรองความถี่แบ่งได้ 4 ประเภทคือ

ก. วงจรกรองสัญญาณความถี่ต่ำ (Low Pass Filter: LPF)

วงจรกรองสัญญาณความถี่ต่ำ หมายถึงวงจรที่ยอมให้สัญญาณความถี่ตั้งแต่ 0 เฮิรตซ์ถึงความถี่ที่กำหนดผ่านไปได้ ส่วนความถี่ตั้งแต่ที่กำหนดถึงความถี่ที่สูงกว่าจะถูกลดทอนไปตามลำดับ ลักษณะของวงจรมีหลายอันดับและกราฟแสดงอัตราขยายแรงดันเชิงความถี่ (dB) ดังรูปที่ 2.7



รูปที่ 2.7 วงจรกรองสัญญาณความถี่ต่ำและกราฟแสดงอัตราขยายแรงดันเชิงความถี่

จากรูป 2.7 เมื่อป้อนความถี่ต่ำเข้าวงจรที่ตัวต้านทานทำให้มีค่าความต้านทานคาปาซิเตอร์สูง ซึ่งความถี่ต่ำไหลผ่านตัวต้านทานมีค่าความต้านทานน้อยกว่าค่าความต้านทานคาปาซิเตอร์ระดับสัญญาณขาออกจึงสามารถผ่านได้มาก แต่เมื่อความถี่สูงกว่าจุดที่กำหนด ค่าความต้านทานคาปาซิเตอร์ จะลดลง ทำให้ความถี่ผ่านขดลวดได้ลดลง และบางส่วนของที่ผ่านไปได้ก็จะถูกตัวเก็บประจุดึงลง กราวด์ระดับสัญญาณขาออกจึงผ่านได้น้อยมาก ในทางทฤษฎีวงจรกรองความถี่ต่ำจะยอมให้สัญญาณใดๆ ที่มีความถี่ตั้งแต่ 0 เฮิรตซ์ จนถึงความถี่ที่กำหนดซึ่งเรียกว่าความถี่คัตออฟ หรือความถี่ขอบเขต (Cutoff Frequency) ผ่านไปได้โดยไม่มีการลดทอนของสัญญาณ และถ้าความถี่ของ

สัญญาณเข้ามีค่าเกินที่กำหนดไว้ สัญญาณออกควรมีค่าเป็นศูนย์ แต่ในทางปฏิบัติไม่สามารถจะทำเช่นนั้นได้เนื่องจากการตอบสนองสัญญาณที่ความถี่ต่างๆ ของอุปกรณ์ประเภทพาสซีฟจะเป็นแบบค่อยเป็นค่อยไปไม่เปลี่ยนแปลงทันทีทันใด ดังนั้นเมื่อสัญญาณมีความถี่สูงขึ้นวงจรจะลดสัญญาณลงเรื่อยๆ จนกระทั่งจะลดลงในอัตราคงที่ค่าหนึ่ง

ขั้นตอนการคำนวณวงจรกรองความถี่ต่ำค่าความถี่คัตออฟ (ω_c) ที่ต้องการใช้งานหาได้จากสมการ

$$\omega_c = \frac{1}{RC} = 2\pi f_c \quad (2.8)$$

โดยที่ ω_c มีหน่วยเป็นเรเดียนต่อวินาที (rad/s)

f_c มีหน่วยเป็น เฮิรตซ์ (Hz)

R มีหน่วยเป็น โอห์ม (Ω)

C มีหน่วยเป็น ฟาร์ด (F)

เมื่อกำหนด ω_c แล้วต้องการจะหาค่า R จึงได้เป็น

$$R = \frac{1}{\omega_c C} = \frac{1}{2\pi f_c C} \quad (2.9)$$

ตัวอย่างที่ 1 กำหนดให้ ตัวต้านทานเท่ากับ 10 กิโลวัตต์และตัวเก็บประจุเท่ากับ 0.001 ไมโครฟาร์ด จงหาความถี่คัตออฟ

วิธีทำ

จากสมการ $\omega_c = \frac{1}{RC} = 2\pi f_c$ แทนค่า R และ C ลงในสมการ

จะได้ $\omega_c = \frac{1}{(10 \times 10^3)(0.001 \times 10^{-6})} = 100$ กราดต่อวินาที

หรือ

$$f_c = \frac{\omega_c}{2\pi} = \frac{100 \times 10^3}{6.28} = 15.9 \text{ กิโลเฮิรตซ์}$$

ตัวอย่างที่ 2 จากวงจรกรองความถี่ต่ำผ่าน จงคำนวณหาค่าตัวต้านทาน เมื่อกำหนดให้ความถี่ คัตออฟ มีค่าเท่ากับ 2 กิโลเฮิรตซ์ และ ตัวเก็บประจุเท่ากับ 0.005 ไมโครฟาร์ด

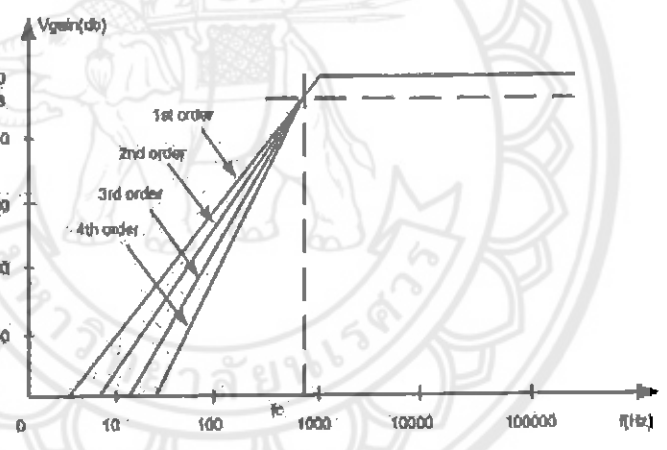
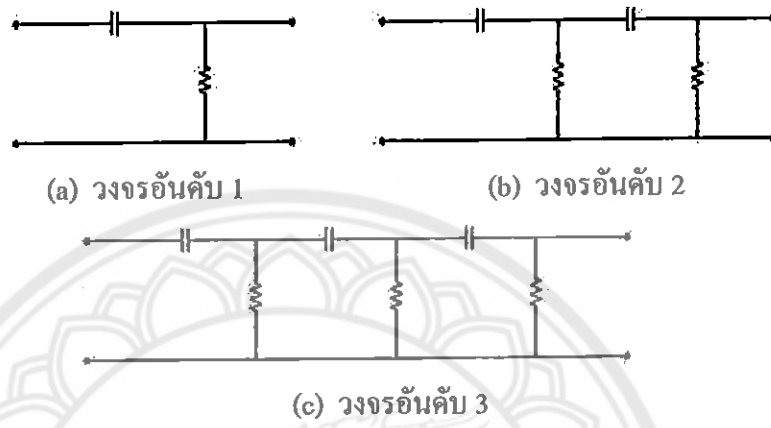
วิธีทำ

จากสมการที่ $R = \frac{1}{C\omega_c} = \frac{1}{2\pi f_c C}$

จะได้ $R = \frac{1}{C\omega_c} = \frac{1}{6.28(2 \times 10^3)(5 \times 10^{-9})} = 15.9$ กิโลวัตต์

ข. วงจรกรองสัญญาณความถี่สูง (High Pass Filter : HPF)

วงจรกรองสัญญาณความถี่สูงมีคุณสมบัติตรงข้ามกับวงจรกรองสัญญาณความถี่ต่ำ คือการตอบสนองต่อสัญญาณของวงจรจะยอมให้สัญญาณความถี่สูงผ่าน และลดทอนสัญญาณความถี่ต่ำ ซึ่งวงจรและกราฟตอบสนองอัตรายขยายแรงดันความถี่แสดงในรูปที่ 2.8



รูปที่ 2.8 วงจรกรองสัญญาณความถี่สูงและกราฟแสดงผลการตอบสนองต่ออัตรายขยายเชิงความถี่

จากรูปที่ 2.8 ตัวเก็บประจุต่อแบบอนุกรมกับวงจร และตัวต้านทานต่อแบบขนานกับวงจร เมื่อป้อนความถี่ต่ำกว่าเข้าไปในวงจร ตัวเก็บประจุจะมีค่าความต้านทานคาปาซิเตอร์สูงทำให้สัญญาณผ่านได้น้อย และทำให้สัญญาณที่ผ่านมาจากตัวเก็บประจุลงกราวด์ได้หมด แต่เมื่อความถี่สูงขึ้นตัวเก็บประจุจะมีค่าคาปาซิเตอร์ลดลงทำให้สัญญาณผ่านได้มากขึ้น และสัญญาณลงกราวด์น้อยลง เนื่องจากมีตัวต้านทานกั้นไว้ สัญญาณที่ออกไปยังสัญญาณขาออกจะมีมากขึ้นจนถึงระดับความแรงของสัญญาณประมาณ 70.7 เปอร์เซ็นต์ ของความแรงสูงสุด ซึ่งเรียกว่า ช่วงความถี่คัทออฟ เมื่อความถี่สูงกว่าความถี่นี้ตัวเก็บประจุจะยอมให้สัญญาณผ่านได้ และตัวต้านทานจะต้านสัญญาณไม่ให้ลงกราวด์ ความถี่จึงผ่านไปที่จุดสัญญาณขาออกได้ทั้งหมด

ขั้นตอนการคำนวณวงจรกรองความถี่สูงมีหลักการคำนวณเช่นเดียวกับวงจรกรองสัญญาณความถี่ต่ำ

ตัวอย่างที่ 3 จงคำนวณหาค่าความต้านทาน เมื่อกำหนดให้ตัวเก็บประจุมีค่าเท่ากับ 0.002 ไมโครฟารัด และความถี่ตัดออฟมีค่าเท่ากับ 10 กิโลเฮิร์ต

วิธีทำ

$$\begin{aligned} \text{จากสมการ} \quad \omega_c &= \frac{1}{RC} = 2\pi f_c \\ R &= \frac{1}{C\omega_c} = \frac{1}{6.2\%(10 \times 10^3)(0.002 \times 10^{-9})} = 8 \text{ กิโลเฮิร์ต} \end{aligned}$$

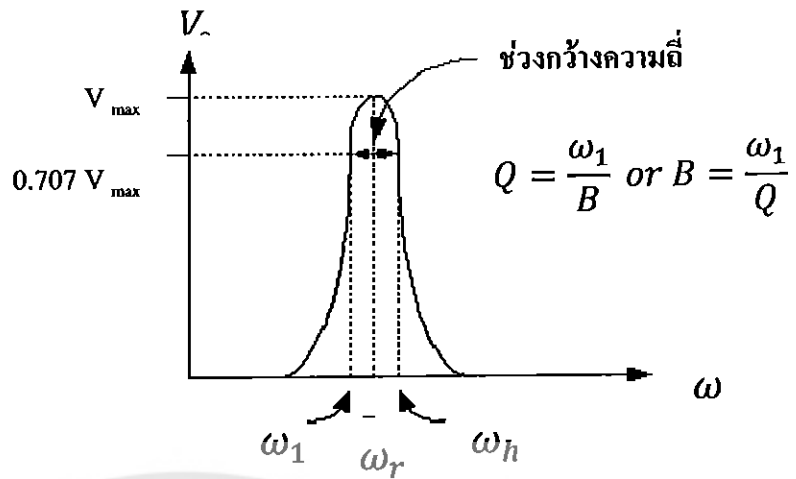
ตัวอย่างที่ 4 ถ้ากำหนดให้ $R = 22 \text{ kW}$ และ $C = 0.01 \text{ mF}$ จงคำนวณหา ω_c และ f_c

วิธีทำ

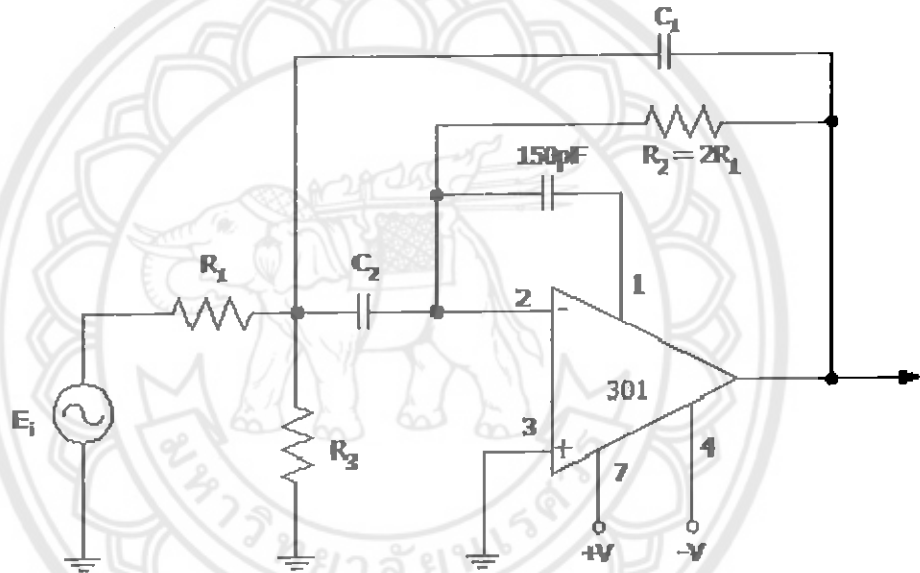
$$\begin{aligned} \text{จากสมการ} \quad \omega_c &= \frac{1}{RC} = 2\pi f_c \\ \omega_c &= \frac{1}{(22 \times 10^3)(0.01 \times 10^{-6})} = 4.54 \text{ กราดต่อวินาที} \\ f_c &= \frac{\omega_c}{2\pi} = \frac{4.54 \times 10^3}{6.28} = 724 \text{ กิโลเฮิร์ต} \end{aligned}$$

ค. วงจรกรองสัญญาณช่วงความถี่ (Band Pass Filter: BPF)

เนื่องจากวงจรกรองสัญญาณช่วงความถี่มีลักษณะคล้ายกับการนำเอาวงจรกรองสัญญาณความถี่ต่ำ และความถี่สูงมาต่อรวมกัน (Cascade) ดังนั้นวงจรกรองความถี่ผ่านเฉพาะช่วงจะยอมให้สัญญาณผ่านไปได้เฉพาะช่วงที่กำหนดเท่านั้น ส่วนความถี่ที่นอกเหนือจากที่กำหนดจะถูกลดทอนจนหมดไป วงจรกรองสัญญาณช่วงความถี่และกราฟแสดงผลตอบสนองอัตราขยายเชิงความถี่ (resonant frequency) แสดงในรูป 2.9



กราฟการตอบสนองความถี่ของวงจรกรองความถี่ผ่านเฉพาะช่วง



ลักษณะการต่อวงจรกรองความถี่ผ่านเฉพาะช่วง

รูปที่ 2.9 วงจรกรองสัญญาณช่วงความถี่และกราฟแสดงผลตอบสนองอัตราขยายเชิงความถี่

ค่าแรงดันเอาต์พุตสูงสุด V_{max} จะปรากฏขึ้นเฉพาะบางช่วงของความถี่เท่านั้น ซึ่งเรียกว่า ความถี่เรโซแนนต์ (resonant frequency) แทนด้วย ω_r ตำแหน่งของความถี่ที่มีค่าแรงดันลดลงเป็น $0.707 V_{max}$ ซึ่งมีสองความถี่คือ ความถี่ที่สูงกว่า ω_r ค่าหนึ่ง และที่ต่ำกว่า ω_r อีกค่าหนึ่งเรียก ความถี่ $V_0 = 0.707 V_{max}$ ที่สูงกว่า ω_r นี้ว่าความถี่คัตออฟช่วงสูง (high cutoff frequency) แทนด้วย ω_h และความถี่ที่ต่ำกว่า ω_r ความถี่คัตออฟช่วงต่ำ (low cutoff frequency) แทนด้วย ω_1 จากความถี่ทั้งสองจะได้ช่วงกว้างความถี่ B เป็น

$$B = \omega_h - \omega_1 \tag{2.10}$$

วงจรกรองความถี่ผ่านเฉพาะช่วงแบ่งได้เป็น 2 ชนิดคือ ชนิดที่ยอมให้ความถี่ผ่านได้ในช่วงแคบ (narrow Band) และชนิดที่ยอมให้ผ่านได้ในช่วงกว้าง (wide band) ซึ่งถ้ามีช่วงกว้างความถี่น้อยกว่าหนึ่งในสิบของความถี่เรโซแนนต์ ($B < 0.1 \omega_r$) เรียกว่าวงจรชนิดที่ยอมให้ผ่านได้ในช่วงแคบ ถ้ามีช่วงกว้างความถี่มากกว่าหนึ่งในสิบของความถี่เรโซแนนต์ ($B > 0.1 \omega_r$) เรียกว่าวงจรชนิดที่ยอมให้ความถี่ผ่านได้ในช่วงกว้าง

วงจรแบบเลือกความถี่ผ่านนี้จะมีอัตราส่วนระหว่างความถี่เรโซแนนต์ และช่วงกว้างความถี่ เรียกว่า คอวลิตีแฟกเตอร์ (quality factor) แทนได้ด้วย Q ซึ่งเป็นตัวแสดงความสามารถในการเลือกความถี่ใช้งาน ยิ่งค่า Q มีค่าสูงมากขึ้นเท่าใด วงจรก็ยิ่งมีความสามารถในการเลือกความถี่ได้คมมากขึ้นเท่านั้น ค่า Q แสดงได้ดังในสมการ

$$Q = \frac{\omega_r}{B} \quad (2.11)$$

หรือ

$$B = \frac{\omega_r}{Q} \text{ rad/s} \quad (2.12)$$

B มีหน่วยเป็นเรเดียนต่อวินาที สำหรับวงจรในแบบที่ยอมให้ความถี่ผ่านได้ในช่วงแคบจะมีค่า Q สูงมากกว่า 10 และในวงจรผ่านแบบช่วงกว้างจะมีค่า Q น้อยกว่า 10

สรุป ช่วงความถี่แคบคือ มีค่า $B < 0.01$; $Q > 10$
 ช่วงความถี่กว้างคือ มีค่า $B > 0.01$; $Q < 10$

วงจรกรองความถี่เฉพาะช่วงแคบผ่านในการออกแบบวงจรกำหนดค่าของช่วงกว้างความถี่ B ที่จะใช้งาน และคำนวณค่า Q ของวงจร โดยคำนวณได้จากสมการที่ (2.11) หรืออาจกำหนดค่า Q และคำนวณค่า B ก็ได้ หลังจากนั้นจึงจะเป็นการเลือกและคำนวณค่าของอุปกรณ์เพิ่มเติมอื่น ๆ ขั้นตอนในการพิจารณาดังต่อไปนี้ โดยจะกำหนดให้ $A_1 = 1$ เลือก $C_1 = C_2 = C$ ให้มีเหมาะสมค่าที่ต่อจากนั้นก็คำนวณค่า R_1 , R_2 และ R_3 โดยได้จากสมการ

$$R_1 = \frac{R_2}{2} \quad (2.13)$$

$$R_2 = \frac{2}{BC} \quad (2.14)$$

$$R_3 = \frac{R_2}{(4Q^2 - 2)} = \frac{R_2}{4Q^2} \quad (2.15)$$

B ในสมการที่ (2.14) มีหน่วยเป็น เรเดียนต่อวินาที

ตัวอย่างที่ 5 จากการออกแบบวงจรกรองความถี่แบบผ่านเฉพาะช่วง ตามในรูปที่ 2.9 เมื่อกำหนดให้ วงจรมี $F_c = 1590$ กิโลเฮิรตซ์ หรือ $\omega_c = 10$ การ์ดต่อวินาที มี $Q = 10$ และ $C_1 = C_2 = C = 0.01$ ไมโครฟารัด
วิธีทำ

หาค่า B จากสมการที่ (2.11)

$$B = \frac{10 \times 10^3}{10} = 1.0 \frac{\text{krad}}{\text{s}} = 159 \text{ เฮิรตซ์}$$

และหาค่าความต้านทานทั้งหมด โดยใช้สมการที่ (2.13) ถึงสมการที่ (2.15)

$$R_2 = \frac{2}{(2 \times 10^3)(0.001 \times 10^{-6})} = 200 \text{ กิโลวัตต์}$$

$$R_1 = \frac{200 \text{ k}}{2} = 100 \text{ กิโลวัตต์}$$

$$R_3 = \frac{200 \times 10^3}{4(100)} = 0.5 \text{ กิโลวัตต์}$$

ตัวอย่างที่ 6 จากในตัวอย่างที่ 1 ถ้ากำหนดให้วงจรมีช่วงกว้างความถี่ B เพิ่มขึ้นเป็น 2 กิโลวัตต์
เรเคียน ต่อวินาที จงคำนวณหา

1. Q
2. R_2
3. R_1
4. R_3 ($C_1 = C = 0.01 \text{ mF}$)

วิธีทำ

1. จากสมการที่ (2.11)

$$Q = \frac{10 \times 10^3}{2 \times 10^3} = 5 \text{ กิโลโอห์ม}$$

2. จากสมการที่ (2.13)

$$R_2 = \frac{2}{(2 \times 10^3)(0.01 \times 10^{-6})} = 100 \text{ กิโลโอห์ม}$$

3. จากสมการที่ (2.14)

$$Q = \frac{100 \text{ k}\Omega}{2} = 50 \text{ กิโลโอห์ม}$$

4. จากสมการที่ (2.15)

$$R_3 = \frac{100 \times 10^3}{4(15)} = 1 \text{ กิโลโอห์ม}$$

วงจรรองความถี่ผ่านในช่วงกว้างสามารถใช้เป็นวงจรเดี่ยวและวงจรรองความถี่แบบผ่าน ในช่วงแคบได้ดังแสดงในรูปที่ 2.9 โดยเลือกให้ Q มีค่าน้อยกว่า 10 ($Q < 10$) การคำนวณค่าของ อุปกรณ์คล้ายกับวงจรรองความถี่ผ่านในช่วงแคบ คือใช้สมการที่ (2.13) ถึงสมการที่ (2.15) ได้ (เฉพาะในกรณีนี้ $4Q^2 > 2$ เท่านั้น)

ตัวอย่างที่ 7 จงออกแบบวงจรรองความถี่แบบผ่านได้ในช่วงกว้าง ตามวงจรในรูปที่ 2.9 เมื่อ กำหนดให้ $f_c = 3,183$ Hz หรือ $\omega_r = 20$ krad/s, $Q = 5$ และ $C_1 = C_2 = 0.01$ mF

วิธีทำ

จากสมการที่ (2.11)

$$B = \frac{20 \times 10^3}{5} = 4 \text{ krad/s} = 636 \text{ เฮิรต์}$$

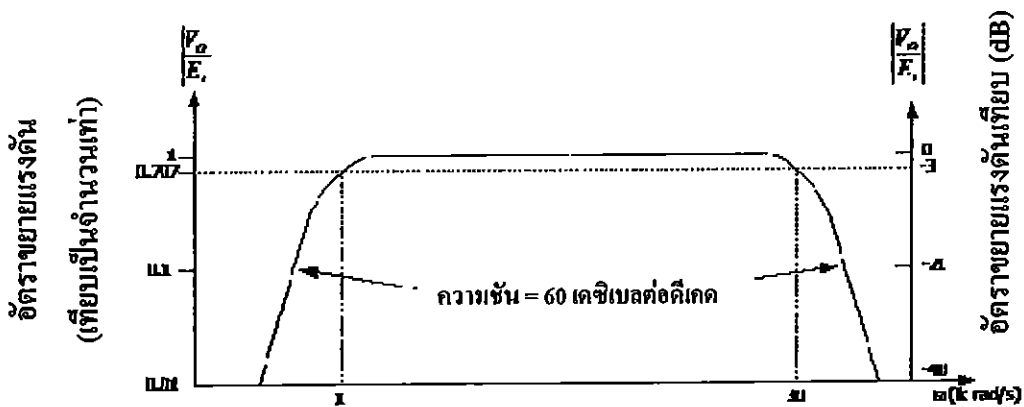
และจากสมการที่ (2.13) ถึงสมการที่ (2.15)

$$R_2 = \frac{2}{(4 \times 10^3)(0.01 \times 10^{-6})} = 50 \text{ กิโลวัตต์}$$

$$R_1 = \frac{(50 \text{ k}\Omega)}{2}$$

$$R_3 = \frac{50 \times 10^3}{4(25)} = 5 \text{ กิโลวัตต์}$$

วงจรชนิดนี้สามารถสร้างจากวงจรรองความถี่ต่ำต่อร่วมกับวงจรรองความถี่สูง เมื่อนำวงจรรองความถี่ต่ำแบบบัตเตอร์เวิร์ทที่ให้ค่า -60 เดซิเบลต่อดีเคมาต่อร่วมกับวงจรรองความถี่สูงให้ผลตอบสนองทางความถี่ดังในรูปที่ 2.8 แม้ว่าวงจรใหม่ที่สร้างนี้จะต้องใช้โอป-แอมป์จำนวน 4 ตัว แต่มีข้อดีคือจะให้อัตราความชันเท่ากับ 60 เดซิเบลต่อดีเคในคัตออฟช่วงความถี่ต่ำ ช่วงความถี่สูง และมีอัตราขยายเท่ากับ 1 ตลอดในความถี่ช่วงผ่าน

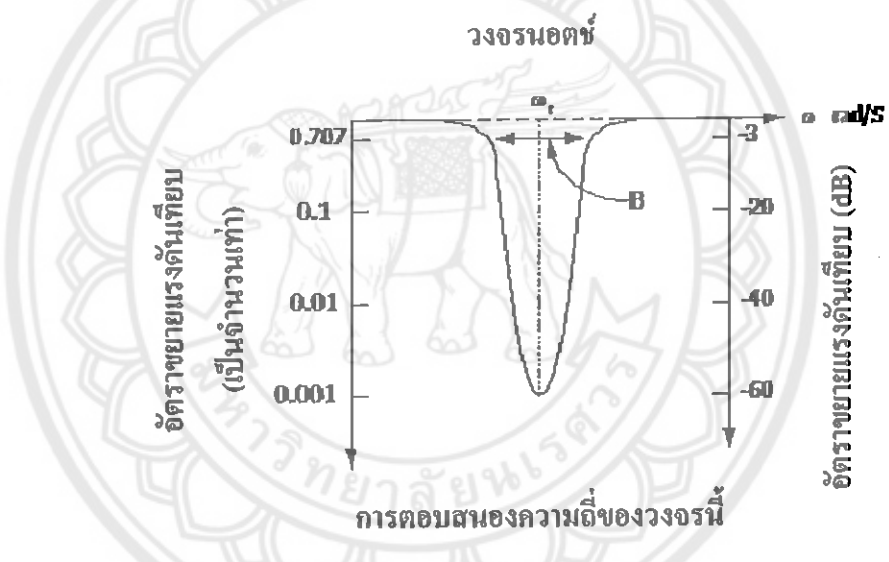
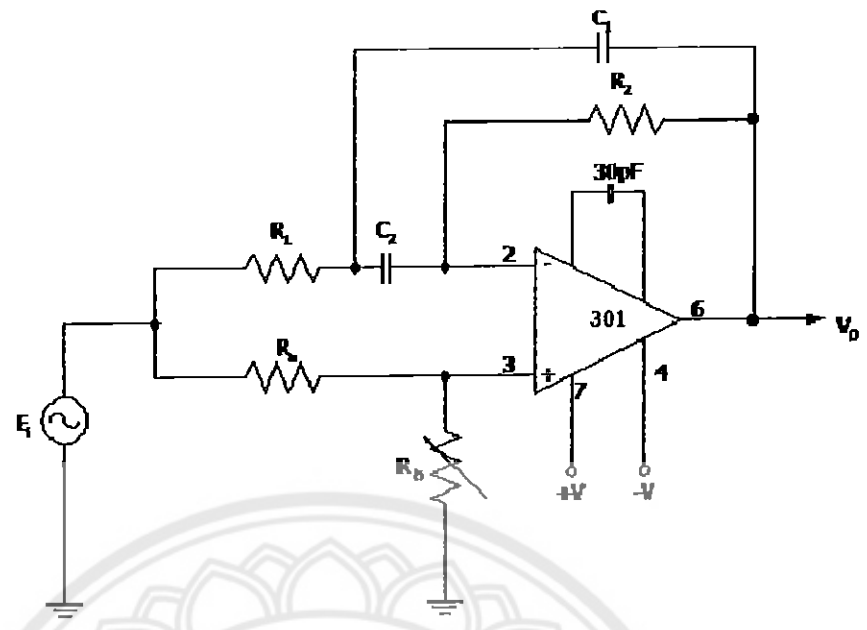


รูปที่ 2.10 กราฟแสดงการตอบสนองความถี่ของวงจรผสมที่เกิดจากการเอาวงจรกรองความถี่ต่ำแบบบัตเตอร์เวิร์ทที่ให้ค่า -60 เดซิเบลต่อดีเคด ต่อรวมกับวงจรกรองความถี่สูงผ่านแบบให้ค่า 60 เดซิเบลต่อดีเคด

การนำวงจรกรองความถี่ต่ำและความถี่สูงต่อรวมกัน เพื่อให้ได้วงจรกรองความถี่เฉพาะช่วง สามารถสลับตำแหน่งระหว่างวงจรทั้งสองได้ ซึ่งให้ผลการทำงานเหมือนกัน ทั้งนี้ต้องเลือกความถี่คัตออฟให้ถูกต้อง

ง. วงจรลดทอนสัญญาณช่วงความถี่ (Band Reject Filter: BRF)

วงจรลดทอนสัญญาณช่วงความถี่เป็นวงจรที่กำจัดความถี่บางช่วงออก เรียกว่า นอตช์ฟิลเตอร์ (notch filter) ซึ่งให้ผลตอบสนองทางความถี่ดังแสดงในรูปที่ 2.11 ซึ่งมีความถี่ช่วงผ่านสองช่วงคือทางซ้ายและขวา ส่วนความถี่ที่อยู่ตรงกลางถูกกำจัดไป เรียกว่าความถี่เรโซแนนต์ ω_r เช่นเดียวกับวงจรกรองความถี่ต่ำผ่านเฉพาะช่วง ได้แก่การกำจัดความถี่ 50 เฮิรตซ์หรือ 400 เฮิรตซ์ในการใช้งานมอเตอร์เจเนอเรเตอร์ เพื่อเป็นการลดสัญญาณรบกวนที่เกิดขึ้น การคำนวณและออกแบบวงจรทำเช่นเดียวกับวงจรกรองความถี่ผ่านเฉพาะช่วงคือ นำเอาช่วงกว้างความถี่ B และค่าควอลิตี้แฟกเตอร์ Q มากิร่วมกับ ω_r ด้วย



รูปที่ 2.11 แสดงวงจรลดทอนสัญญาณช่วงความถี่และผลตอบสนองต่อความถี่

รายละเอียดการออกแบบวงจรมีดังนี้

1. กำหนดให้ $C_1 = C_2 = C$ โดยควรมีค่าอยู่ระหว่าง 100 พิโกฟาร์ตถึง 0.1 ไมโครฟาร์ต
2. คำนวณ R_2 จากสมการ

$$R_2 = \frac{2}{BC} \tag{2.16}$$

เมื่อ B มีหน่วยเป็นเรเดียนต่อวินาที

3. คำนวณ R_1 จากสมการ

$$R_1 = \frac{R_2}{4Q^2} \tag{2.17}$$

4. เลือก R_a ให้มีค่าเหมาะสม ควรมีค่าประมาณ 1 กิโลโอห์ม

5. คำนวณ R_b จากสมการ

$$R_b = 2Q^2 R_a \quad (2.18)$$

ตัวอย่างที่ 8 จงออกแบบวงจรนอตร์ฟิลเตอร์ดังในรูปที่ 2.11 ที่มี $f_c = 400$ เฮิรต์ และ $Q=5$ เมื่อกำหนดให้ $C_1 = C_2 = C = 0.01$ ไมโครฟารัด

วิธีทำ

$$\omega_r = 2\pi f_c = (6.28)(400) = 2.51 \text{ igradต่อวินาที และจากสมการที่ (2.11)}$$

$$\text{จะได้ } B = \frac{25 \times 10^3}{5} = 500 \text{ krad/s} = 79.6 \text{ เฮิรต์}$$

จากสมการที่ (2.16)

$$R_2 = \frac{2}{(500)(0.01 \times 10^{-6})} = 400 \text{ กิโลโอห์ม}$$

จากสมการที่ (2.17)

$$R_1 = \frac{400 \text{ k}\Omega}{4(25)} = 4 \text{ กิโลโอห์ม}$$

เลือก $R_a = 1 \text{ kW}$ และสมการที่ (2.18) จะได้ $R_b = 2(25)1 \text{ kW} = 50 \text{ กิโลวัตต์}$

วงจรในรูปที่ 2.11 ถ้าต่อกราวด์ที่ขาอินพุทของออป-แอมป์ สามารถเปลี่ยนวงจรให้เป็นวงจรกรองความถี่แบบผ่านเฉพาะช่วงคล้ายกับรูปที่ 2.10 ซึ่งแตกต่างตรงที่ไม่มี R_3 วงจรทั้งสองนี้มีค่าของอัตราขยายที่ความถี่เรโซแนนต์ ω_r เป็น $2Q^2$ การปรับค่าของ ω_r และ B ทำได้ง่าย เพียงปรับค่าความต้านทาน R_1 และ R_2 เท่านั้น

2.3 ไมโครคอนโทรลเลอร์ ATMEGA8

ATMEGA8 เป็นไมโครคอนโทรลเลอร์อนุกรม AVR ที่ผลิตโดย Atmel Corporation สหรัฐอเมริกา ที่เลือกใช้ในบอร์ดทดลอง Microcamp เป็นตัวถังแบบ DIP 28 ขา มีการจัดขาตั้งแสดงในรูปที่ 2.12 ซึ่งคุณสมบัติของ ATMEGA8 มีรายละเอียดดังต่อไปนี้

1. เป็นไมโครคอนโทรลเลอร์ 8 บิตในอนุกรม AVR มีสถาปัตยกรรมแบบแอดวานซ์อาร์ไอเอสซี (Advance RISC) มีความเร็วในการทำงานสูงโดยสามารถประมวลผล 1 คำสั่งในเวลา 1 สัญญาณนาฬิกา สามารถทำงานกับความถี่สัญญาณนาฬิกาสูงสุด 16 เมกกะเฮิร์ตจึงสามารถประมวลผลคำสั่งได้สูงถึง 16 ล้านคำสั่งต่อวินาที

2. มีหน่วยความจำ 3 แบบเพื่อรองรับการทำงานประกอบด้วย

- หน่วยความจำโปรแกรมแบบแฟรชความจุ 8 กิโลไบต์ซึ่งสามารถรักษาข้อมูลโปรแกรมไว้ได้แม้ไม่มีไฟเลี้ยง และสามารถป้องกันการอ่านได้ สามารถลบหรือเขียนข้อมูลใหม่ได้ 10,000 รอบ

- หน่วยความจำข้อมูลอีอีพรอมความจุ 512 ไบต์สามารถรักษาข้อมูลไว้ได้แม้ไม่มีไฟเลี้ยง สามารถลบหรือเขียนข้อมูลใหม่ได้ 10,000 รอบ

- หน่วยความจำข้อมูลแรมความจุ 1 กิโลไบต์ซึ่งใช้ในการประมวลผลหลักร่วมกับซีพียู

3. มีพอร์ตอินพุตเอาต์พุตอิสระที่สามารถโปรแกรมได้ 23 ขา แบ่งเป็น 3 กลุ่มคือ

- พอร์ต B ใช้งานได้สูงสุด 8 ขา (PB0 ถึง PB7) โดยมี 2 ขาเพื่อต่อกับคริสตอลเพื่อกำเนิดสัญญาณนาฬิกาให้แก่ไมโครคอนโทรลเลอร์

- พอร์ต C ขา (PC0 ถึง PC6) โดย PC0 ถึง PC5 สามารถใช้เป็นอินพุตอนาลอกได้

- พอร์ต D ขา (PD0 ถึง PD7)

4. มีตัวตั้งเวลา/ตัวนับ (Timer/Counter) ขนาด 8 บิต 2 ชุดที่แยกการทำงานอย่างอิสระ

5. มีตัวตั้งเวลา/ตัวนับ Timer/Counter ขนาด 16 บิต 1 ชุดรองรับการทำงานสมบูรณ์แบบทั้งในโหมดตั้งเวลา ตัวนับ เปรียบเทียบ (compare) และตรวจจับ (capture) สัญญาณ

6. มีโมดูลกำเนิดสัญญาณ PWM 3 ชุด

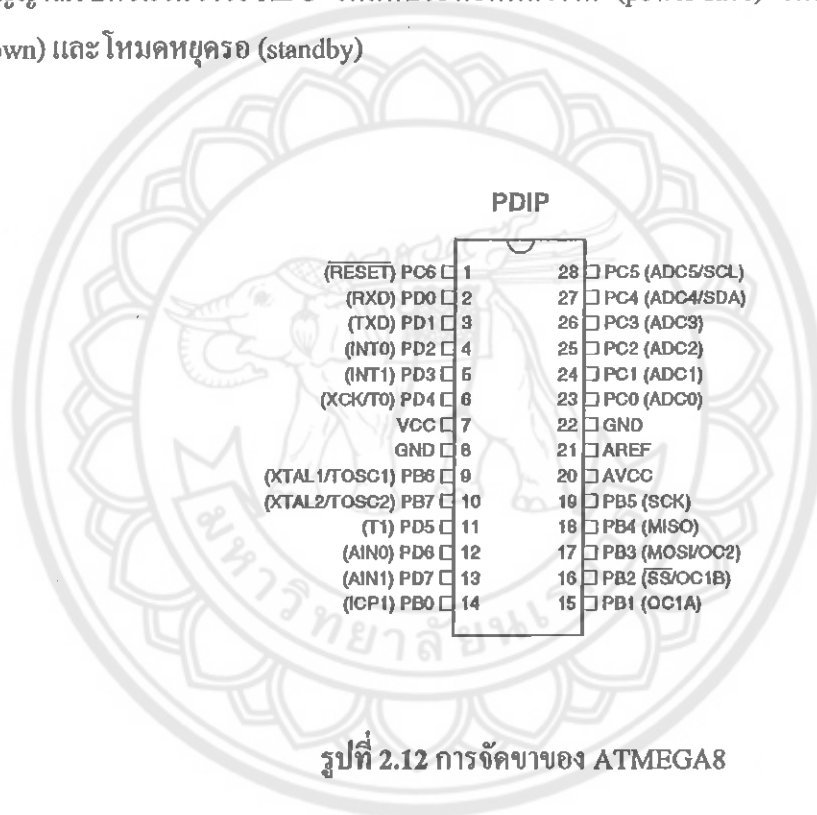
7. มีโมดูลแปลงสัญญาณอนาลอกเป็นดิจิทัล (ADC) ความละเอียด 10 บิตจำนวน 6 ช่อง

8. มีอินพุตเปรียบเทียบสัญญาณอนาลอก 2 ช่อง

9. มีโมดูลสื่อสารอนุกรม 2 สาย รองรับการทำงานกับบัส I2C

10. มีโมดูลเชื่อมต่ออุปกรณ์อนุกรมหรือ SPI (Serial Peripheral Interface) ใช้สำหรับการโปรแกรมหน่วยความจำโปรแกรมแบบแฟรชในชิพโดยปกติแล้วมักสงวนไว้เพื่อการโปรแกรมแต่สามารถนำไปใช้เชื่อมต่ออุปกรณ์บนระบบบัส SPI ได้

11. มีโมดูลสื่อสารข้อมูลอนุกรม UART (Universal Asynchronous Receiver Transmitter)
12. มีวอร์ชค็อกไทเมอร์เพื่อช่วยในการตรวจสอบการทำงานของระบบ
13. รองรับการอินเตอร์รัพต์ทั้งจากสัญญาณภายนอกและการทำงานของ โมดูลต่างๆ ภายในไมโครคอนโทรลเลอร์มีระบบเพาเวอร์-อนรีเซต
14. มีวงจรตรวจจับแรงดันไฟเลี้ยงผิดปกติหรือบราวเอาต์ที่สามารถโปรแกรมได้
15. ไฟเลี้ยง +4.5 ถึง +5.5V กระแส 3.6mA แต่ถ้าใช้รุ่น ATMEGA8L สามารถใช้ไฟเลี้ยงในย่านที่กว้างขึ้นจาก +2.7 ถึง +5.5 V แต่สัญญาณนาฬิกาต้องลดลงไม่เกิน 8 MHz
16. กำหนดการทำงานในโหมดหยุดทำงาน (sleep) ได้ 5 โหมดคือไอเดิล (Idle) โหมดลดสัญญาณรบกวนในวงจร ADC โหมดประหยัดพลังงาน (power-save) โหมดลดพลังงาน (power-down) และโหมดหยุดครอ (standby)



รูปที่ 2.12 การจัดขาของ ATMEGA8

หน้าที่การทำงานของขาสัญญาณทั้งหมดของ ATMEGA8

ตารางที่ 2.1 หน้าที่การทำงานของขาสัญญาณทั้งหมดของ ATMEGA8

ชื่อขา	ตำแหน่งขา	ชนิดขา	รายละเอียดการทำงาน
Vcc	7	อินพุต	ขาต่อไฟเลี้ยงบวกตั้งแต่ 4.5 – 5.5 V
GND	8,22	อินพุต	ขาต่อกราวด์
AVcc	20	อินพุต	ขาต่อไฟเลี้ยง +5 V แก่โมดูล ADC ภายใน ATMEGA8
AREF	21	อินพุต	ขาต่อแรงดันอ้างอิงให้แก่โมดูล ADC ภายใน ATMEGA8
ขาพอร์ต B เป็นขาพอร์ต 2 ขั้วขา			
PB0 ICP1	14	อินพุต/เอาต์พุต อินพุต	- ขาพอร์ตดิจิทัล PB0 - อินพุต โมดูลตรวจจับสัญญาณ ชุค1
PB1 OC1A	15	อินพุต/เอาต์พุต เอาต์พุต	- ขาพอร์ตดิจิทัล PB3 - เอาต์พุตวงจรเปรียบเทียบสัญญาณ PWM ช่อง 1A
PB2 OC1B SS	16	อินพุต/เอาต์พุต เอาต์พุต อินพุต	- ขาพอร์ตดิจิทัล PB3 - เอาต์พุตวงจรเปรียบเทียบสัญญาณ PWM ช่อง 1B - อินพุตเลือกอุปกรณ์สเลฟเมื่อทำงานเป็นอุปกรณ์สเลฟในระบบ SPI ใช้ในกระบวนการ SPI
PB3 OC2 MOSI	17	อินพุต/เอาต์พุต เอาต์พุต อินพุต/เอาต์พุต	- ขาพอร์ตดิจิทัล PB3 - เอาต์พุตวงจรเปรียบเทียบสัญญาณ PWM ช่อง 1B - อินพุตรับข้อมูลเมื่อทำงานเป็นอุปกรณ์สเลฟในระบบบัส SPI - เอาต์พุตส่งข้อมูลเมื่อทำงานเป็นอุปกรณ์มาสเตอร์ในระบบบัส SPI , ใช้ในกระบวนการ SPI

ตารางที่ 2.1 (ต่อ)

ขาพอร์ต B เป็นขาพอร์ต 2 พินข้าง(ต่อ)			
ชื่อขา	ตำแหน่งขา	ชนิดของขา	รายละเอียดการทำงาน
PB4 MISO	18	อินพุต/เอาต์พุต อินพุต/เอาต์พุต	- ขาพอร์ตคิจิตอล PB4 - อินพุตรับข้อมูลเมื่อทำงานเป็นอุปกรณ์มาสเตอร์ในระบบบัส SPI , ใช้ในกระบวนการ SPI - เอาต์พุตส่งข้อมูลเมื่อทำงานเป็นอุปกรณ์สเลฟ
PB5 SCK	19	อินพุต/เอาต์พุต อินพุต/เอาต์พุต	- ขาพอร์ตคิจิตอล PB5 - อินพุตรับสัญญาณนาฬิกาเมื่อทำงานเป็นอุปกรณ์สเลฟในระบบบัส SPI - เอาต์พุตส่งสัญญาณนาฬิกาเมื่อทำงานเป็นอุปกรณ์มาสเตอร์ในระบบบัส SPI , ใช้ในกระบวนการ SPI
PB6 XTAL1 TOSC1	9	อินพุต/เอาต์พุต อินพุต อินพุต	- ขาพอร์ตคิจิตอล PB6 เมื่อเลือกทำงานกับสัญญาณนาฬิกาภายใน - อินพุตสัญญาณนาฬิกาภายนอก, ต่อกับคริสตอล - ไม่ใช้งานเมื่อเลือกทำงานกับสัญญาณนาฬิกาภายใน
PB7 XTAL2 TOSC2	10	อินพุต/เอาต์พุต อินพุต เอาต์พุต	- ขาพอร์ตคิจิตอล PB7 เมื่อเลือกทำงานกับสัญญาณนาฬิกาภายใน - ใช้ต่อกับคริสตอลหรือเซรามิกเรโซเนเตอร์ - เอาต์พุตสัญญาณนาฬิกาเมื่อใช้สัญญาณนาฬิกาภายใน
ขาพอร์ต C เป็นขาพอร์ต 2 พินข้าง			
ชื่อขา	ตำแหน่งขา	ชนิดของขา	รายละเอียดการทำงาน
PC0 ADC0	23 23	อินพุต/เอาต์พุต อินพุต	- ขาพอร์ตคิจิตอล PC0 - อินพุตอนุalog โมดูลแปลงสัญญาณอนาลอกเป็นคิจิตอล ช่อง0
PC1 ADC1	24	อินพุต/เอาต์พุต อินพุต	- ขาพอร์ตคิจิตอล PC1 - อินพุตอนุalog โมดูลแปลงสัญญาณอนาลอกเป็นคิจิตอล ช่อง1

ตารางที่ 2.1 (ต่อ)

พอร์ต C เป็นพอร์ต 2-ทิศทาง(ต่อ)			
ชื่อพอร์ต	ค่าพอร์ต	ชนิดพอร์ต	รายละเอียดการใช้งาน
PC2 ADC2	25	อินพุต/เอาต์พุต อินพุต	- ขาพอร์ตคิจิตอล PC2 - อินพุตอนุลอก โมดูลแปลงสัญญาณอนุลอกเป็นคิจิตอล ช่อง 2
PC3 ADC3	26	อินพุต/เอาต์พุต อินพุต	- ขาพอร์ตคิจิตอล PC3 - อินพุตอนุลอก โมดูลแปลงสัญญาณอนุลอกเป็นคิจิตอล ช่อง 3
PC4 ADC0 SDA	27	อินพุต/เอาต์พุต อินพุต เอาต์พุต	- ขาพอร์ตคิจิตอล PC4 - อินพุตอนุลอก โมดูลแปลงสัญญาณอนุลอกเป็นคิจิตอล ช่อง 4 - ขาข้อมูลอนุกรมสำหรับระบบบัส 2 สาย
PC5 ADC5 SCL	28	อินพุต/เอาต์พุต อินพุต เอาต์พุต	- ขาพอร์ตคิจิตอล PC5 - อินพุตอนุลอก โมดูลแปลงสัญญาณอนุลอกเป็นคิจิตอล ช่อง 5 - ขาเอาต์พุตสัญญาณนาฬิกาอนุกรมสำหรับระบบบัส 2 สาย
PC6 RESET	1	อินพุต/เอาต์พุต อินพุต	- ขาพอร์ตคิจิตอล PC6 - ขาอินพุตสัญญาณรีเซต
พอร์ต D เป็นพอร์ต 2-ทิศทาง			
ชื่อพอร์ต	ค่าพอร์ต	ชนิดพอร์ต	รายละเอียดการใช้งาน
PD0 RxD	23	อินพุต/เอาต์พุต อินพุต	- ขาพอร์ตคิจิตอล PD0 - อินพุตรับข้อมูลของ โมดูลสื่อสารข้อมูลพอร์ตอนุกรมUSART
PD1 TxD	24	อินพุต/เอาต์พุต อินพุต	- ขาพอร์ตคิจิตอล PD1 - เอาต์พุตส่งข้อมูลของ โมดูลสื่อสารข้อมูลพอร์ตอนุกรม USART

ตารางที่ 2.1 (ต่อ)

ขาพอร์ตของไมโครคอนโทรลเลอร์ ATMEGA8 (ต่อ)			
ชื่อขา	ตำแหน่งขา	ชนิดของขา	รายละเอียดการทำงาน
PD2 INT0	25	อินพุต/เอาต์พุต อินพุต	- ขาพอร์ตคิจิตอล PD2 - อินพุตสัญญาณอินเทอร์รัพต์จากภายนอกช่อง 0
PD3 INT1	26	อินพุต/เอาต์พุต อินพุต	- ขาพอร์ตคิจิตอล PD3 - อินพุตสัญญาณอินเทอร์รัพต์จากภายนอกช่อง 1
PD4 XCK T0	27	อินพุต/เอาต์พุต อินพุต/เอาต์พุต อินพุต	- ขาพอร์ตคิจิตอล PD4 - ขาสัญญาณภายนอกของ โมดูลสื่อสารข้อมูลอนุกรม USART - อินพุตรับสัญญาณจากภายนอกสำหรับ โมดูล ไทเมอร์ 0
PD5 T1	11	อินพุต/เอาต์พุต อินพุต	- ขาพอร์ตคิจิตอล PD5 - อินพุตรับสัญญาณจากภายนอกสำหรับ โมดูล ไทเมอร์ 1
PD6 AIN0	12	อินพุต/เอาต์พุต อินพุต	- ขาพอร์ตคิจิตอล PD6 - อินพุตสำหรับวงจรเปรียบเทียบแรงดันอนาล็อก ช่อง 2
PD7 AIN1	13	อินพุต/เอาต์พุต อินพุต	- ขาพอร์ตคิจิตอล PD7 - อินพุตสำหรับวงจรเปรียบเทียบแรงดันอนาล็อก ช่อง 1

การทำงานภายในทั้งหมดของไมโครคอนโทรลเลอร์ ATMEGA8 หัวใจสำคัญคือ AVR ซีพียูที่ทรงประสิทธิภาพผนวกเข้ากับโมดูลเชื่อมต่ออุปกรณ์พิเศษที่มีอย่างสมบูรณ์ สำหรับไมโครคอนโทรลเลอร์ที่มีขาต่อใช้งาน 28 ขา ส่วนที่ต้องให้ความสนใจเป็นพิเศษคือขา PB6 และขา PB7 ซึ่งทำงานได้ทั้งขาของพอร์ตอินพุตและพอร์ตเอาต์พุตคิจิตอลและขาติดต่อกับวงจรถูกกำเนิดสัญญาณนาฬิกาจากภายนอก หากเลือกใช้วงจรถูกกำเนิดสัญญาณนาฬิกาภายในด้วยตัวไมโครคอนโทรลเลอร์ จะสามารถกำหนดให้ขาพอร์ตทั้งสองนั้นเป็นพอร์ตอินพุต พอร์ตเอาต์พุตคิจิตอลได้ จึงมีพอร์ตเพิ่มขึ้นอีก 2 ขา แต่เพื่อให้การทำงานมีความเที่ยงตรงด้านจังหวะเวลาสูง โดยเฉพาะอย่างยิ่งหากมี

การเชื่อมต่อคอมพิวเตอร์เพื่อแลกเปลี่ยนข้อมูลระหว่างกันจึงมักจะเลือกใช้ทั้งสองนี้ในการต่อกับคริสตอลหรือเซรามิกโซเนเตอร์เพื่อรับสัญญาณนาฬิกาจากภายนอกมากกว่า

ATMEGA8 มีหน่วยความจำโปรแกรมแบบแฟรชที่สามารถโปรแกรมได้ด้วยกระบวนการโปรแกรมในวงจรหรือในระบบ (In-System Programming : ISP) ความจุ 8 กิโลไบต์ และสามารถอ่านข้อมูลในขณะที่เขียนได้ มีหน่วยความจำข้อมูลอีอีพรอมความจุ 512 ไบต์ และหน่วยความจำสแตติกแรม 1 กิโลไบต์ ซึ่งเป็นคุณสมบัติเด่นที่หายากในไมโครคอนโทรลเลอร์ในระดับเดียวกัน ส่งผลให้ ATMEGA8 สามารถรองรับโปรแกรมที่พัฒนาด้วยภาษา C ได้ดีพอสมควร นอกจากนี้ยังมีรีจิสเตอร์สำหรับใช้งานอีก 32 ตัว มีไทเมอร์/คาน์เตอร์ที่ทำงานอิสระต่อกันอีก 3 ตัว สามารถกำเนิดสัญญาณ PWM 3 ช่อง ส่วนการจัดการอินเตอร์รัพต์ทั้งจากภายในและภายนอก ส่วนติดต่ออุปกรณ์ระบบบัส 2 สาย มีโมดูลแปลงสัญญาณอนาล็อกเป็นดิจิทัล 6 ช่อง ความละเอียดในการแปลงสัญญาณ 10 บิต มีวอตช์ดอกไทเมอร์ในตัว รวมทั้งวงจรตรวจจับไฟเลี้ยงผิดปกติหรือบราวเอาต์ (Brown – out detection) ที่สามารถกำหนดระดับแรงดันได้

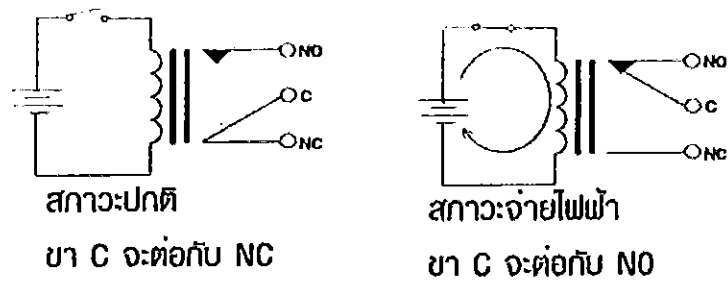
2.4 รีเลย์ (Relay)

รีเลย์เป็นอุปกรณ์อิเล็กทรอนิกส์เชิงกล ชนิดหนึ่งซึ่งทำหน้าที่เป็นสวิตช์แต่รีเลย์นั้นจะถูกควบคุมด้วยกระแสไฟฟ้าดังแสดงในรูปที่ 2.13



รูปที่ 2.13 รีเลย์และสัญลักษณ์ของรีเลย์

การทำงานของรีเลย์ คือเมื่อมีกระแสไฟฟ้าไหลผ่านขดลวดจะทำให้ขดลวดเกิดสนามแม่เหล็กไปดึงแผ่นหน้าสัมผัสให้ดึงลงมาแตะหน้าสัมผัสอีกอันทำให้มีกระแสไหลผ่านหน้าสัมผัสไปได้ ดังแสดงในรูปที่ 2.14



รูปที่ 2.14 สภาวะการทำงานของรีเลย์

ขาของรีเลย์มีรายละเอียดดังต่อไปนี้

ขาย้ายแรงดันใช้งาน ซึ่งจะมีอยู่ 2 ขา จากรูปที่ 2.14 จะเห็นสัญลักษณ์ขลวดแสดงตำแหน่ง ขา coil หรือ ขาค่อแรงดันใช้งาน

ขาคอมมอน (C หรือ COM) จะเป็นขาคู่ระหว่าง NO และ NC

ขาปกติเปิด (NO หรือ Normally opened) โดยปกติขานี้จะเปิดไว้และจะทำงานเมื่อป้อนแรงดันให้รีเลย์

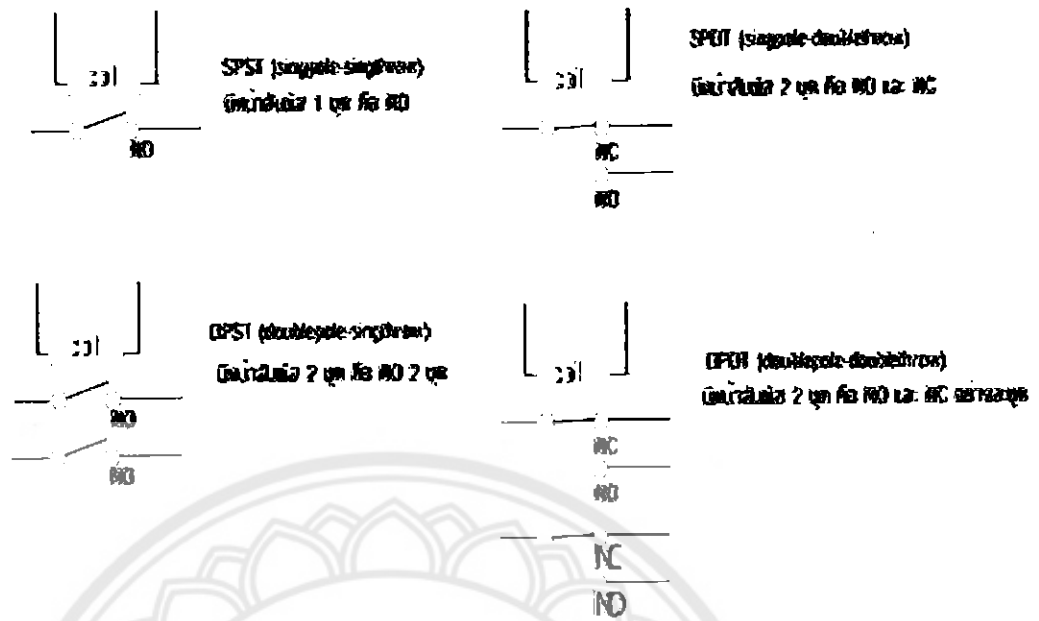
ขาปกติปิด (NC หรือ Normally closed) โดยปกติขานี้จะต่อกับขา C ในกรณีที่เราไม่ได้จ่ายแรงดันหน้าสัมผัสของ C และ NC จะต่อดังกัน

ข้อคำนึงในการใช้งานรีเลย์

1. แรงดันใช้งานคู่อรีเลย์จะระบุค่า แรงดันใช้งานไว้ เช่น 12 VDC ก็ต้องใช้แรงดันที่ 12 VDC เท่านั้นหากใช้มากกว่านี้ขลวดภายในคู่อรีเลย์อาจจะขาดได้หรือหากใช้แรงดันต่ำกว่ามากจะทำให้รีเลย์ไม่ทำงาน ส่วนในการต่อวงจรนั้นสามารถต่อขั้วใดก็ได้เพราะคู่อรีเลย์ไม่ระบุขั้วต่อไว้ นอกจากชนิดพิเศษ

2. การใช้งานกระแสผ่านหน้าสัมผัส ซึ่งคู่อรีเลย์จะระบุไว้ เช่น 10A 220 AC คือหน้าสัมผัสของรีเลย์นั้นสามารถทนกระแสได้ 10 แอมแปร์ที่ 220 VAC แต่ควรใช้งานที่ระดับกระแสต่ำกว่านี้เพราะถ้ากระแสผ่านหน้าสัมผัสของรีเลย์จะเสียหายได้

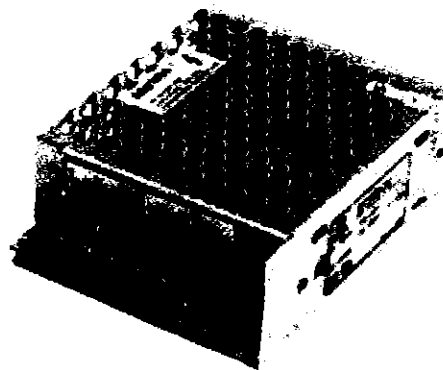
3. จำนวนหน้าสัมผัสการใช้งานควรคู่อรีเลย์นั้นมีหน้าสัมผัสให้ใช้งานกี่อันและมีขั้วคอมมอนด้วยหรือไม่ รีเลย์จะมีหน้าสัมผัสและเรียกจำนวนหน้าสัมผัสดังรูปที่ 2.15



รูปที่ 2.15 หน้าสัมผัสและการเรียกจำนวนหน้าสัมผัส

2.5 สวิตชิงเพาเวอร์ซัพพลาย (Switching Power Supply)

สวิตชิงเพาเวอร์ซัพพลาย ดังแสดงในรูปที่ 2.16 เป็นแหล่งจ่ายไฟตรงคงค่าแรงดันแบบหนึ่ง และสามารถเปลี่ยนแรงดันจากไฟสลับ โวลต์สูงให้เป็นแรงดันไฟตรงค่าต่ำ เพื่อใช้งานอิเล็กทรอนิกส์ได้เช่นเดียวกับแหล่งจ่ายไฟเชิงเส้น (Linear Power Supply) ถึงแม้เพาเวอร์ซัพพลายทั้งสองแบบจะต้องมีการใช้หม้อแปลงในการลดทอนแรงดันสูงให้เป็นแรงดันต่ำเช่นเดียวกัน แต่สวิตชิงเพาเวอร์ซัพพลายจะต้องการใช้หม้อแปลงที่มีขนาดเล็ก และน้ำหนักน้อย เมื่อเทียบกับแหล่งจ่ายไฟเชิงเส้น อีกทั้งสวิตชิงเพาเวอร์ซัพพลายยังมีประสิทธิภาพสูงกว่า

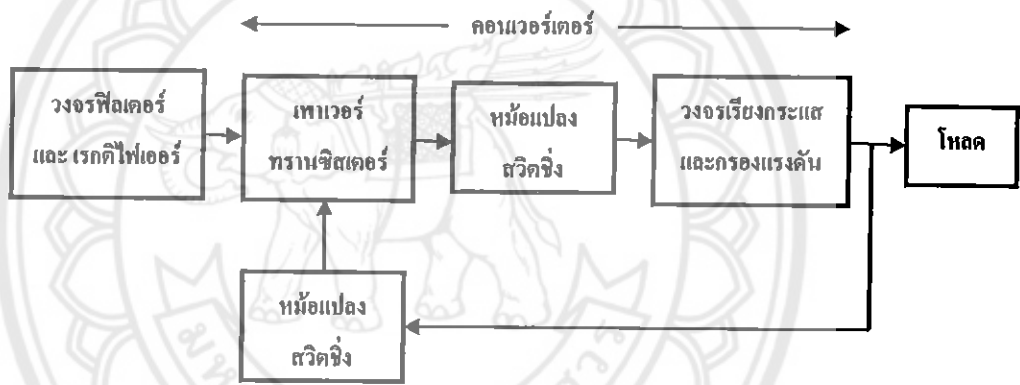


รูปที่ 2.16 สวิตชิงเพาเวอร์ซัพพลาย

สวิตชิงเพาเวอร์ซัพพลายจะมีเสถียรภาพในการทำงานที่ต่ำกว่า และก่อให้เกิดสัญญาณรบกวน ได้สูงเมื่อเปรียบเทียบกับแหล่งจ่ายไฟเชิงเส้น รวมทั้งสวิตชิงเพาเวอร์ซัพพลายยังมีความซับซ้อนของวงจรมากกว่าและมีราคาสูง ที่กำลังงานต่ำๆ แหล่งจ่ายไฟเชิงเส้นจะประหยัดกว่าและให้ผลดีเท่าเทียมกัน ดังนั้นสวิตชิงเพาเวอร์ซัพพลายจึงนิยมใช้กันในงานที่ต้องการกำลังงานตั้งแต่ 20 วัตต์ขึ้นไปเท่านั้น

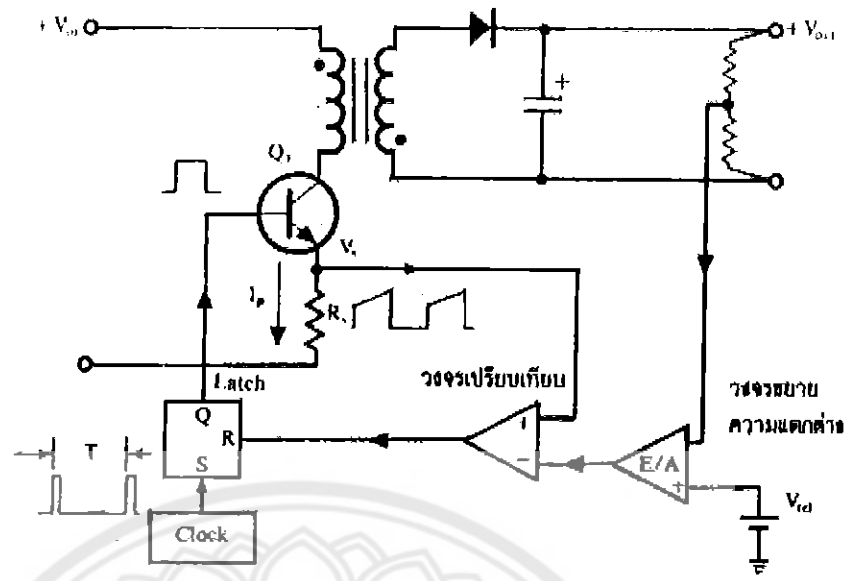
หลักการการทำงานของสวิตชิงเพาเวอร์ซัพพลาย

สวิตชิงเพาเวอร์ซัพพลาย โดยทั่วไปมีองค์ประกอบพื้นฐานที่คล้ายคลึงกัน และไม่ซับซ้อนมากนัก ดังแสดงในรูปที่ 2.17 หลักสำคัญของสวิตชิงเพาเวอร์ซัพพลายจะอยู่ที่คอนเวอร์เตอร์ เนื่องจากทำหน้าที่ทั้งลดทอนแรงดันและคงค่าแรงดันเอาต์พุตด้วย



รูปที่ 2.17 องค์ประกอบพื้นฐานของสวิตชิงเพาเวอร์ซัพพลาย

แรงดันไฟสลับค่าสูงจะผ่านเข้ามาทางวงจรฟิลเตอร์ เพื่อกรองสัญญาณรบกวนและแปลงเป็นไฟตรงค่าสูงด้วยวงจรเรกติไฟเออร์ เพาเวอร์ทรานซิสเตอร์จะทำงานเป็นเพาเวอร์คอนเวอร์เตอร์ โดยการตัดต่อแรงดันเป็นช่วงๆ ที่ความถี่ประมาณ 20-200 กิโลเฮิรตจจากนั้นจะผ่านไปยังหม้อแปลงสวิตชิงเพื่อลดแรงดันลง เอาต์พุตของหม้อแปลงจะต่อกับวงจรเรียงกระแส และกรองแรงดันให้เรียบ การคงค่าแรงดันจะทำได้โดยการป้อนกลับค่าแรงดันที่เอาต์พุตกลับมายังวงจรควบคุม เพื่อควบคุมให้เพาเวอร์ทรานซิสเตอร์นำกระแสมากขึ้นหรือน้อยลงตามการเปลี่ยนแปลงของแรงดันที่เอาต์พุตซึ่งจะมีผลทำให้แรงดันเอาต์พุตคงที่ ดังแสดงในรูปที่ 2.18



รูปที่ 2.18 วงจรสวิตช์เพาเวอร์ซัพพลาย



บทที่ 3

วิธีการดำเนินงาน

3.1 ศึกษาและรวบรวมข้อมูลเกี่ยวกับโปรแกรมและตัวกรองความถี่

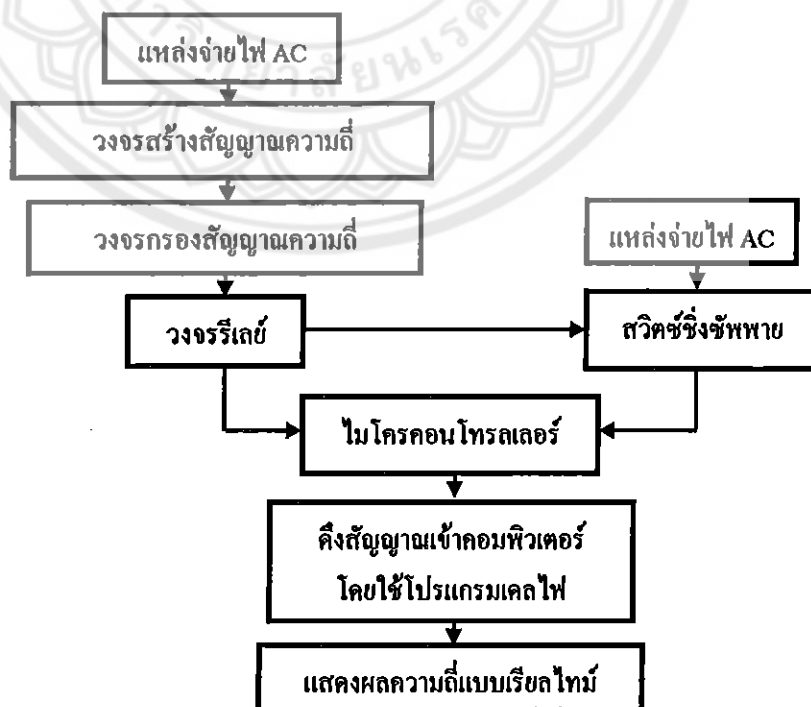
3.1.1 โปรแกรมที่ใช้ในการดำเนินงานได้แก่ โปรแกรมเดลไฟ (Delphi) โดยใช้ในการดึงข้อมูลจากไมโครคอนโทรลเลอร์แสดงผลที่หน้าจอคอมพิวเตอร์ในรูปแบบเรียลไทม์ ซึ่งได้สัญญาณความถี่รูปซายน์ ซึ่งรายละเอียดของโปรแกรมแสดงอยู่ในภาคผนวก

3.1.2 ตัวกรองความถี่ที่ใช้ในการดำเนินงานมี 4 ชนิด ได้แก่

1. ตัวกรองความถี่ต่ำผ่าน (low – pass filter : LPF)
2. ตัวกรองความถี่สูงผ่าน (high – pass filter : HPF)
3. ตัวกรองความถี่แถบผ่าน (band – pass filter : BPF)
4. ตัวกรองความถี่แถบหยุด (band – stop filter : BSF)

3.2 การออกแบบวงจรกรองสัญญาณความถี่แบบเรียลไทม์

ขั้นตอนการทำงานของวงจรกรองสัญญาณความถี่แบบเรียลไทม์สามารถแสดงได้ในรูปที่ 3.1

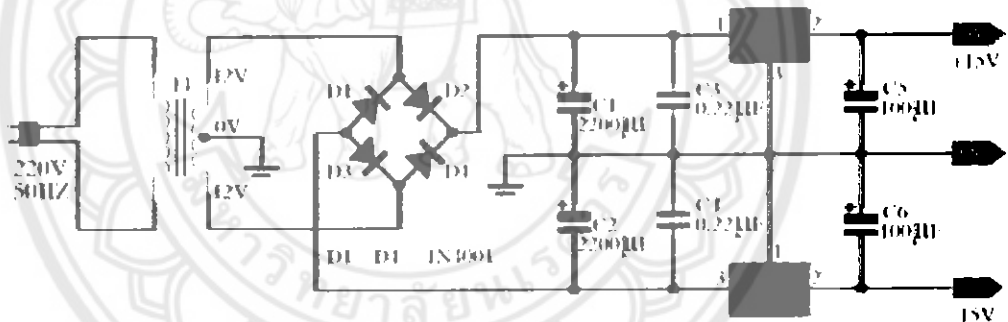


รูปที่ 3.1 ขั้นตอนการทำงานของวงจรกรองสัญญาณความถี่แบบเรียลไทม์

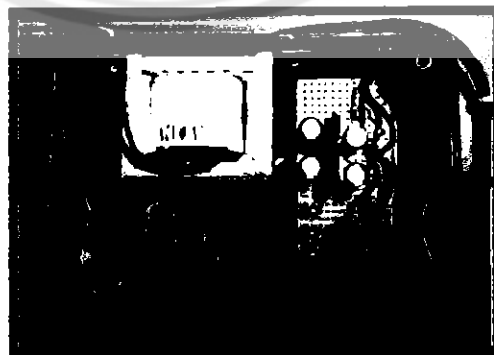
จากรูปที่ 3.1 ป้อนแหล่งจ่ายไฟ 15 โวลต์ไปยังวงจรสร้างสัญญาณความถี่โดยวงจรจะสร้างสัญญาณรูปซายน์มีค่าเท่ากับหนึ่งกิโลเฮิรต์ ป้อนไปยังวงจรกรองความถี่โดยจะมีรีเลย์และสวิทช์ซึ่งช่วยพายเป็นวงจรควบคุมคือสัญญาณเอาต์พุตและอินพุตเพื่อมาป้อนให้กับไมโครคอนโทรลเลอร์ หลังจากนั้นใช้โปรแกรมเคลฟดีงสัญญาณเข้าคอมพิวเตอร์เพื่อแสดงผลความถี่ให้ออกมาอยู่ในรูปแบบเรียลไทม์

3.3 แหล่งจ่ายไฟกระแสสลับให้กับวงจร

แหล่งจ่ายไฟมีวงจรดังแสดงในรูปที่ 3.2 ซึ่งใช้หม้อแปลงเป็นแทบกลางโดยมีเอาต์พุตประมาณ +12 โวลต์ -12 โวลต์ จากนั้นส่งต่อมายังวงจรไดโอดแบบบริดจ์ทำการเรียงกระแสเต็มคลื่นส่งมายังตัวกรอง C1 C2 C3 C4 แล้วส่งไปยัง IC 7815 และ IC 7915 ชุดท้ายใช้ C5 และ C6 กรองกระแสอีกครั้งก่อนนำมาต่อใช้งาน แล้วสร้างวงจรแหล่งจ่ายไฟดังแสดงในรูปที่ 3.3 มีกำลัง 15 โวลต์เพื่อป้อนไปให้กับวงจรกรองความถี่



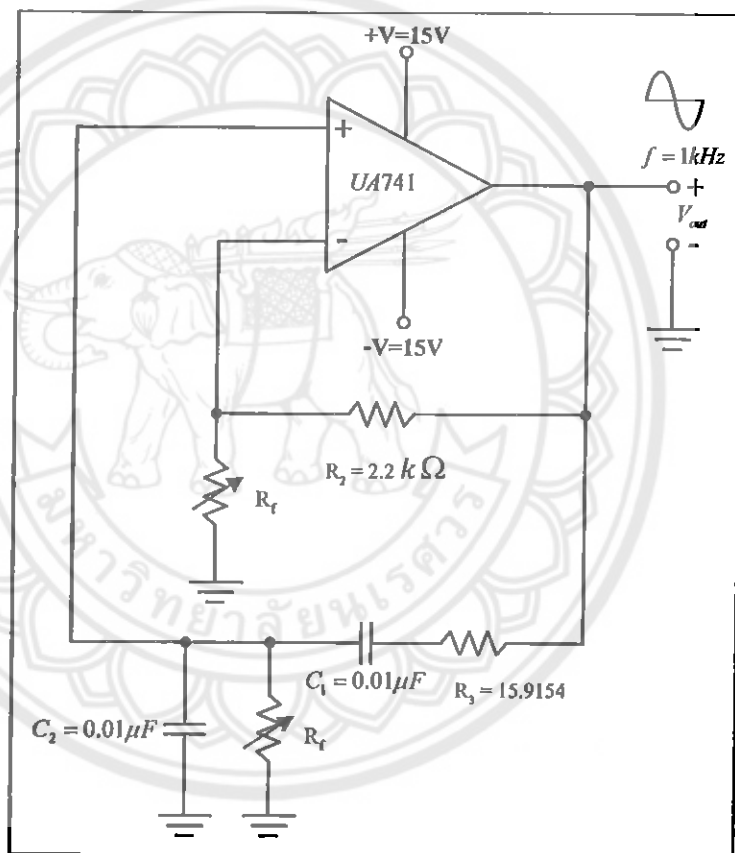
รูปที่ 3.2 แบบวงจรแหล่งจ่ายไฟ



รูปที่ 3.3 แหล่งจ่ายไฟกระแสสลับ

3.4 การสร้างวงจรผลิตความถี่แบบเวนบริดจ์ออสซิลเลเตอร์

วงจรผลิตความถี่ หรือ “วงจรเวนออสซิลเลเตอร์” เป็นวงจรไฟฟ้าที่ทำหน้าที่ผลิตสัญญาณไฟฟ้าที่มีขนาดเปลี่ยนแปลงตามเวลา ซึ่งลักษณะของสัญญาณไฟฟ้าที่สร้างขึ้นมาเรียกว่า สัญญาณรูปคลื่น ตัวอย่างเช่น สัญญาณรูปซายน์ สัญญาณรูปสี่เหลี่ยม สัญญาณรูปสามเหลี่ยม และสัญญาณรูปฟันเลื่อย ซึ่งการออกแบบวงจรผลิตความถี่แบบเวนบริดจ์ออสซิลเลเตอร์ออกแบบได้จาก รูปที่ 3.4 วงจรผลิตความถี่แบบนี้จะใช้ ออป-แอมป์ ตัวเก็บประจุ และตัวต้านทานนำมาสร้างเป็น วงจรในรูปที่ 3.5 ซึ่งจะให้ผลตอบสนองทางเอาต์พุตออกมาเป็นสัญญาณรูปซายน์



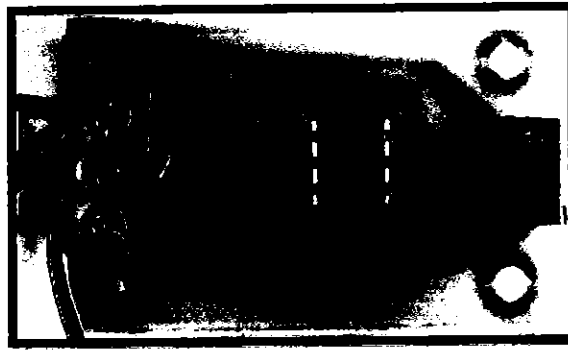
รูปที่ 3.4 แบบวงจรผลิตความถี่แบบเวนบริดจ์ออสซิลเลเตอร์

การคำนวณหาค่าตัวแปรในการออกแบบวงจรผลิตความถี่แบบเวนบริดจ์ออสซิลเลเตอร์ เมื่อกำหนดความถี่เท่ากับหนึ่งกิโลเฮิรต์คำนวณค่าตัวแปรจากสมการดังต่อไปนี้

$$R_3 = \frac{1}{2\pi f C_1} = \frac{1}{2\pi \times 1\text{kHz} \times 0.01\mu\text{F}} = 15.9154 \text{ กิโลโห์ม}$$

$$A_V = 1 + \frac{R_2}{R_1} = 1 + \frac{2.2\text{k}\Omega}{1\text{k}\Omega} = 3.2$$

$$f = \frac{1}{2\pi R_3 C_1} = \frac{1}{6.28 \times 15.9154\text{k}\Omega \times 0.01\mu\text{F}} = 1 \text{ กิโลเฮิรต์}$$



รูปที่ 3.5 วงจรผลิตความถี่แบบแวนบริคซ์ออสซิลเลเตอร์

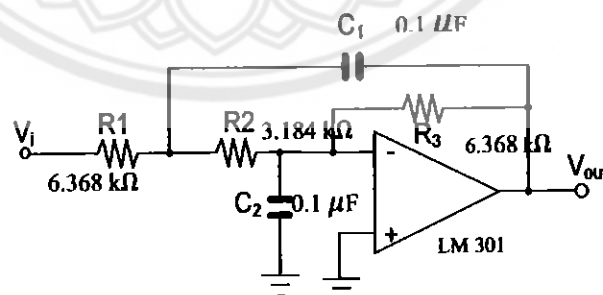
3.5 การสร้างวงจรกรองความถี่ต่ำผ่าน (low – pass filter : LPF)

การคำนวณหาค่าตัวแปรในการออกแบบวงจรกรองความถี่ต่ำผ่าน ได้โดยกำหนดสัญญาณที่เข้ามาเท่ากับ 1 กิโลเฮิร์ต และ กำหนดความถี่คัตออฟไว้ที่ 500 เฮิร์ตและเลือกใช้ตัวเก็บประจุ 0.1 ไมโครฟารัด คำนวณค่าความต้านทาน R จากสมการ

$$R_2 = R_3 = \frac{1}{2\pi f_c C} = \frac{1}{(6.28) \times (500) \times (0.01 \times 10^{-6})} = 3.184 \text{ กิโลโอห์ม}$$

$$R_3 = R_1 = 3.184 \times 2 = 6.368 \text{ กิโลโอห์ม}$$

จากนั้นออกแบบวงจรกรองความถี่ต่ำผ่านดังรูปที่ 3.6 แล้วสร้างวงจรกรองความถี่ต่ำผ่านได้ดังรูปที่ 3.7 เพื่อนำมาใช้กรองสัญญาณแวนบริคซ์ออสซิลเลเตอร์ที่มีความถี่ 1 กิโลเฮิร์ต



รูปที่ 3.6 แบบวงจรตัวกรองความถี่ต่ำผ่าน



รูปที่ 3.7 วงจรกรองความถี่ต่ำผ่าน

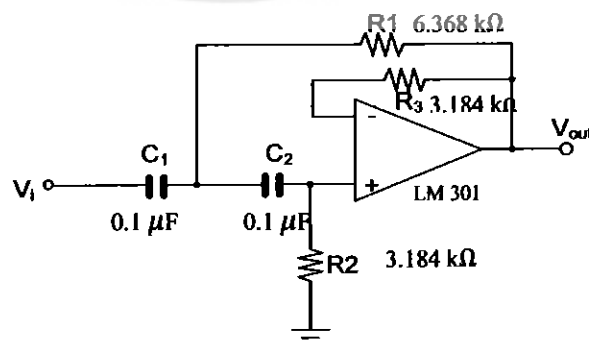
3.6 การสร้างวงจรกรองความถี่สูงผ่าน (high - pass filter : HPF)

การคำนวณหาค่าตัวแปรในการออกแบบวงจรกรองความถี่สูงผ่าน โดยกำหนดสัญญาณที่เข้ามาเท่ากับ 1 กิโลเฮิร์ต และกำหนดความถี่คัตออฟเท่ากับ 500 กิโลเฮิร์ตและเลือกใช้ตัวเก็บประจุ 0.1 ไมโครฟารัด คำนวณค่าความต้านทาน R จากสมการ

$$R_2 = R_3 = \frac{1}{2\pi f_c C} = \frac{1}{(6.28) \times (500) \times (0.01 \times 10^{-6})} = 3.184 \text{ กิโลโอห์ม}$$

$$R_1 = \frac{R_3}{2} = \frac{3.184 \times 10^3}{2} = 6.368 \text{ กิโลโอห์ม}$$

จากนั้นดำเนินการออกแบบวงจรกรองความถี่สูงผ่านดังแสดงในรูปที่ 3.8 แล้วสร้างวงจรกรองความถี่สูงผ่านดังแสดงในรูปที่ 3.9 เพื่อใช้กรองสัญญาณแวนบริคัจออสซิลเลเตอร์ที่มีความถี่หนึ่งกิโลเฮิร์ต



รูปที่ 3.8 แบบวงจรกรองความถี่สูงผ่าน



รูปที่ 3.9 วงจรกรองความถี่สูงผ่าน

3.7 การสร้างวงจรกรองความถี่แถบผ่าน (band – pass filter : BPF)

การคำนวณหาค่าตัวแปร ในการออกแบบวงจรกรองสัญญาณช่วงความถี่แถบผ่าน โดยกำหนดสัญญาณที่เข้ามาเท่ากับ 1 กิโลเฮิร์ต และกำหนดความถี่คัตออฟเท่ากับ 159 เฮิร์ตและ เลือกใช้ตัวเก็บประจุ 0.1 ไมโครฟารัด โดยกำหนดให้ B คือช่วงความถี่ 159 เฮิร์ตหรือ 1.0 กราดต่อวินาที

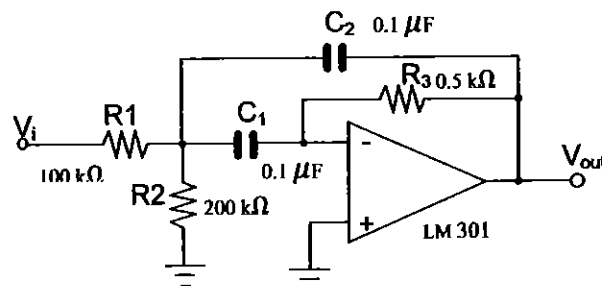
คำนวณค่าความต้านทาน R จากสมการ

$$R_2 = \frac{2}{BC} = \frac{2}{(1 \times 10^3)(0.01 \times 10^{-6})} = 200 \text{ กิโลโห์ม}$$

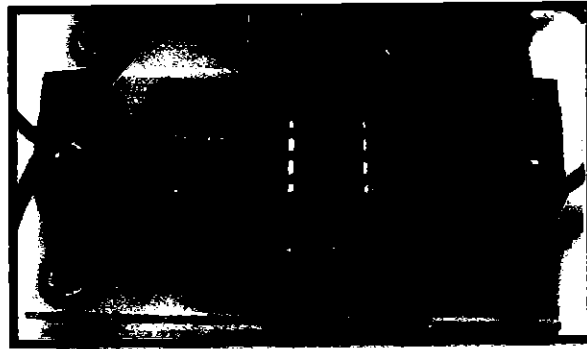
$$R_1 = \frac{R_2}{2} = \frac{(200 \times 10^3)}{2} = 100 \text{ กิโลโห์ม}$$

$$R_3 = \frac{R_2}{4Q^2} = \frac{(200 \times 10^3)}{(4 \times 100)} = 0.5 \text{ กิโลโห์ม}$$

จากนั้นทำการออกแบบวงจรกรองความถี่แถบผ่านดังแสดงในรูปที่ 3.10 เพื่อนำมาใช้กรองสัญญาณแวนบริดจ์ออสซิลเลเตอร์ที่มีความถี่ 1 กิโลเฮิร์ต แล้วสร้างวงจรกรองความถี่แถบผ่านดังแสดงในรูปที่ 3.11



รูปที่ 3.10 แบบวงจรกรองความถี่แถบผ่าน



รูปที่ 3.11 วงจรกรองความถี่แถบผ่าน

3.8 การสร้างวงจรกรองความถี่แถบหยุด (band – stop filter: BSF)

การคำนวณหาค่าตัวแปรสำหรับออกแบบวงจรกรองความถี่แถบหยุดเฉพาะช่วงแคบผ่าน เมื่อกำหนดสัญญาณที่เข้ามาเท่ากับ 1 กิโลเฮิร์ต และกำหนดความถี่คัตออฟเท่ากับ 159 เฮิร์ตและเลือกใช้ตัวเก็บประจุ 0.1 ไมโครฟารัดโดยกำหนดให้ B คือช่วงความถี่ 159 เฮิร์ตหรือ 1.0 กราดต่อวินาที แล้วคำนวณค่าความต้านทาน R จากสมการ

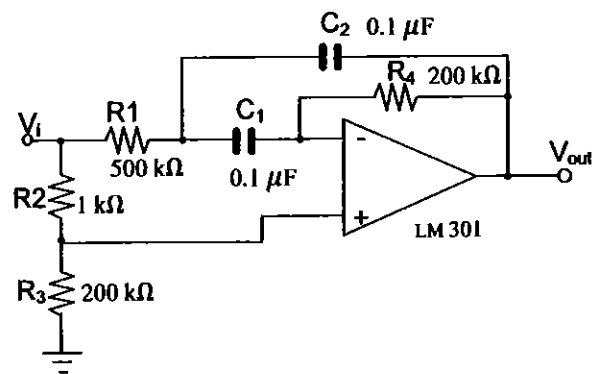
$$R_4 = \frac{2}{BC} = \frac{2}{(1 \times 10^3)(0.01 \times 10^{-6})} = 200 \text{ กิโลโอห์ม}$$

$$R_1 = \frac{R_4}{4Q^2} = \frac{(200 \times 10^3)}{(4 \times 100)} = 500 \text{ กิโลโอห์ม}$$

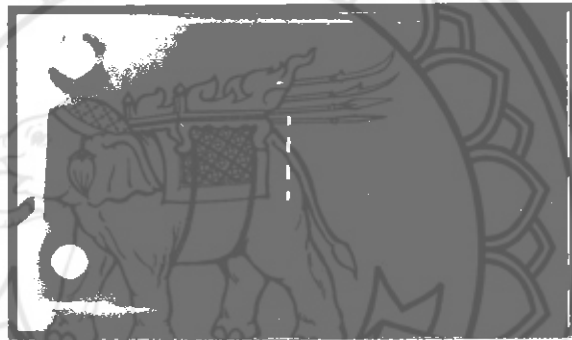
$$R_3 = 2Q^2 R_2 = 200 \times (1 \times 10^3) = 200 \text{ กิโลโอห์ม}$$

$$R_2 = 1 \text{ กิโลโอห์ม}$$

จากนั้นทำการออกแบบวงจรกรองความถี่แถบหยุดเฉพาะช่วงแคบผ่านดังแสดงในรูปที่ 3.12 เพื่อนำมาใช้กรองสัญญาณแวนบริดจ์ออสซิลเลเตอร์ที่มีความถี่ 1 กิโลเฮิร์ต แล้วสร้างวงจรกรองความถี่แถบหยุดเฉพาะช่วงแคบผ่านดังแสดงในรูปที่ 3.13



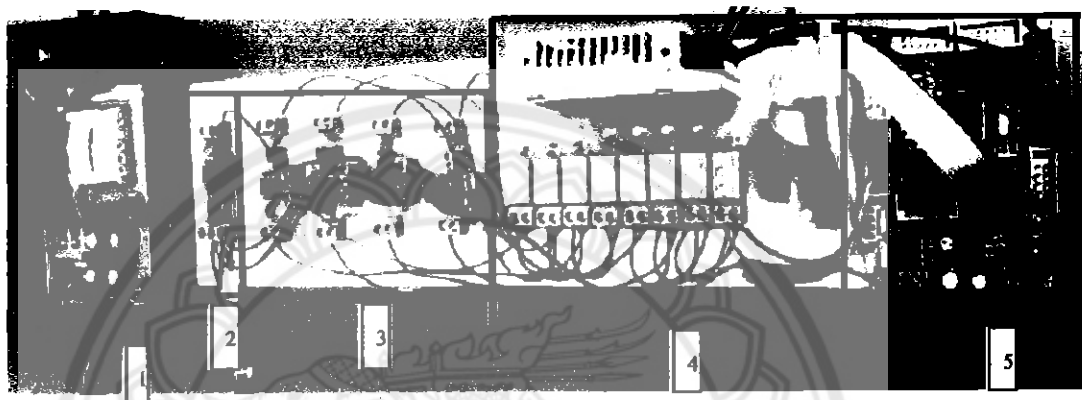
รูปที่ 3.12 แบบวงจรกรองความถี่แถบหยุดเฉพาะช่วงแคบผ่าน



รูปที่ 3.13 วงจรกรองความถี่แถบหยุดเฉพาะช่วงแคบผ่าน

3.9 การประกอบวงจรรองความถี่พร้อมใช้งานแบบเรียลไทม์

จากการออกแบบวงจรผลิตสัญญาณเวกเตอร์ออสซิลเลเตอร์ และวงจรรองความถี่ 4 ชนิด นำมาต่อกับวงจรจ่ายไฟกระแสสลับ วงจรรีเลย์ วงจรสวิตช์ซึ่งซับซ้อน และวงจรไมโครคอนโทรลเลอร์ ได้เป็นวงจรรองสัญญาณความถี่แบบเรียลไทม์ดังแสดงในรูปที่ 3.14



รูปที่ 3.14 วงจรรองสัญญาณความถี่พร้อมใช้งานแบบเรียลไทม์

หมายเลข 1 คือ วงจรแหล่งจ่ายกระแสสลับป้อนไฟให้กับวงจรเวกเตอร์ออสซิลเลเตอร์

หมายเลข 2 คือ วงจรเวกเตอร์ออสซิลเลเตอร์ทำหน้าที่สร้างสัญญาณความถี่ ซึ่งกำหนดให้สร้างสัญญาณความถี่เท่ากับ 1 กิโลเฮิร์ตซ์ เพื่อป้อนให้กับวงจรรองความถี่

หมายเลข 3 คือ วงจรรองความถี่มี 4 ชนิด ได้แก่ วงจรรองความถี่ต่ำผ่าน วงจรรองความถี่สูงผ่าน วงจรรองความถี่แถบผ่าน และวงจรรองความถี่แถบหยุดแบบช่วงแคบ ซึ่งวงจรรองความถี่ทั้งสี่ชนิดนี้จะทำหน้าที่กรองสัญญาณความถี่ที่มาจากวงจรเวกเตอร์ออสซิลเลเตอร์แล้วส่งสัญญาณให้กับรีเลย์

หมายเลข 4 คือ รีเลย์ทำหน้าที่คิ่งสัญญาณจากวงจรรองความถี่แล้วป้อนให้กับไมโครคอนโทรลเลอร์

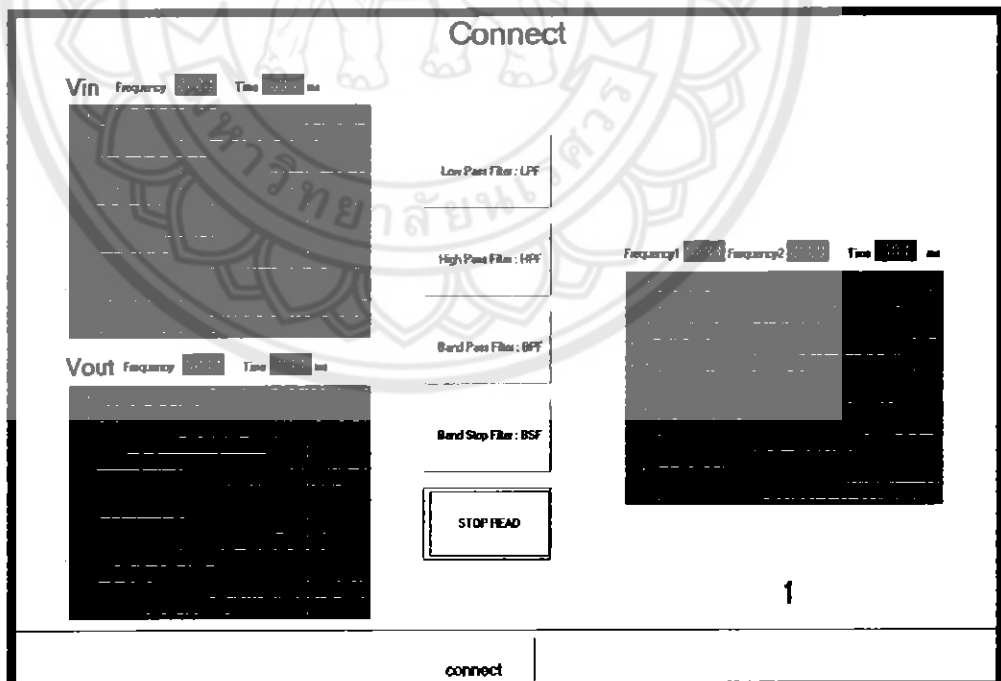
หมายเลข 5 คือ ไมโครคอนโทรลเลอร์ เมื่อไมโครคอนโทรลเลอร์ได้รับสัญญาณจากรีเลย์แล้วจะส่งสัญญาณไปยังคอมพิวเตอร์เพื่อวิเคราะห์สัญญาณความถี่ต่อไป

บทที่ 4

ผลการทดลอง

4.1 หน้าต่างโปรแกรมเคลฟ

ภายหลังจากการออกแบบวงจร และสร้างแต่ละวงจรตามแบบที่กำหนด ได้ทำการทดสอบวงจรกรองความถี่ทั้งสี่ชนิด ได้แก่ วงจรกรองความถี่ต่ำผ่าน วงจรกรองความถี่สูงผ่าน วงจรกรองความถี่แถบผ่าน และวงจรกรองความถี่แถบหยุด จากนั้นนำแต่ละชิ้นส่วนมาประกอบเป็นวงจรกรองความถี่แบบเรซลิทใหม่ แล้วต่อกับเครื่องคอมพิวเตอร์ โดยใช้โปรแกรมเคลฟ ในการแสดงสัญญาณความถี่จากวงจรกรองความถี่แบบเรซลิทใหม่ หน้าต่างของ โปรแกรมเคลฟแสดงดังแสดงในรูปที่ 4.1 ถ้ามีการเชื่อมต่อกับวงจรกรองความถี่แบบเรซลิทใหม่หน้าต่าง โปรแกรมจะแสดงคำว่าคอนเนค (Connect) ถ้าไม่มีการเชื่อมต่อระหว่างวงจรกรองความถี่แบบเรซลิทใหม่และคอมพิวเตอร์หน้าต่างจะแสดงคำว่า ดิสคอนเนค (Disconnect)



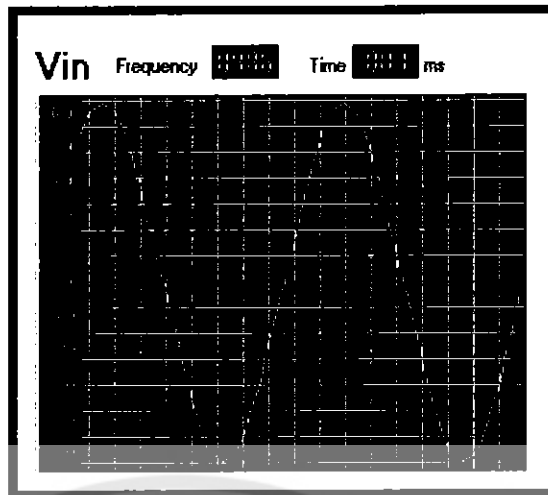
รูปที่ 4.1 หน้าต่างของ โปรแกรมเคลฟ

รายละเอียดของหน้าต่างโปรแกรมเคลฟไฟมีดังนี้

- Vin คือ สัญญาณอินพุต ซึ่งเกิดจากวงจรผลิตความถี่แบบเวนบริดจ์ ออสซิลเลเตอร์
- Vout คือ สัญญาณที่ผ่านการกรองจากวงจรกรองความถี่ทั้งสี่ชนิดได้แก่ วงจรกรองความถี่ต่ำผ่าน วงจรกรองความถี่สูงผ่าน วงจรกรองความถี่แถบผ่าน และวงจรกรองความถี่แถบหยุดเฉพาะช่วงแคบผ่าน
- Connect คือ ค่าที่แสดงการเชื่อมต่อระหว่างวงจรกรองความถี่แบบเรียลไทม์และคอมพิวเตอร์
- Disconnect คือ ค่าที่แสดงการไม่เชื่อมต่อระหว่างวงจรกรองความถี่แบบเรียลไทม์และคอมพิวเตอร์
- Frequency1 คือ ค่าความถี่ตัดช่วงที่ 1
- Frequency2 คือ ค่าความถี่ตัดช่วงที่ 2
- Time คือ สัญญาณเคลื่อนที่เทียบกับเวลามีหน่วยเป็นมิลลิวินาที
- Low – pass filter: LPF คือ ปุ่มคลิกเพื่อใช้วงจรกรองความถี่ต่ำผ่านในการกรองสัญญาณความถี่จากวงจรผลิตความถี่แบบเวนบริดจ์ออสซิลเลเตอร์
- High – pass filter: HPF คือ ปุ่มคลิกเพื่อใช้วงจรกรองความถี่สูงผ่านในการกรองสัญญาณความถี่จากวงจรผลิตความถี่แบบเวนบริดจ์ออสซิลเลเตอร์
- Band – pass filter: BPF คือ ปุ่มคลิกเพื่อใช้วงจรกรองความถี่แถบผ่านในการกรองสัญญาณความถี่จากวงจรผลิตความถี่แบบเวนบริดจ์ออสซิลเลเตอร์
- Band – stop filter: BSF คือ ปุ่มคลิกเพื่อใช้วงจรกรองความถี่แถบหยุดเฉพาะช่วงความถี่แคบผ่านในการกรองสัญญาณความถี่จากวงจรผลิตความถี่แบบเวนบริดจ์ออสซิลเลเตอร์

4.2 สัญญาณที่เกิดจากวงจรผลิตความถี่แบบเวนบริดจ์ออสซิลเลเตอร์

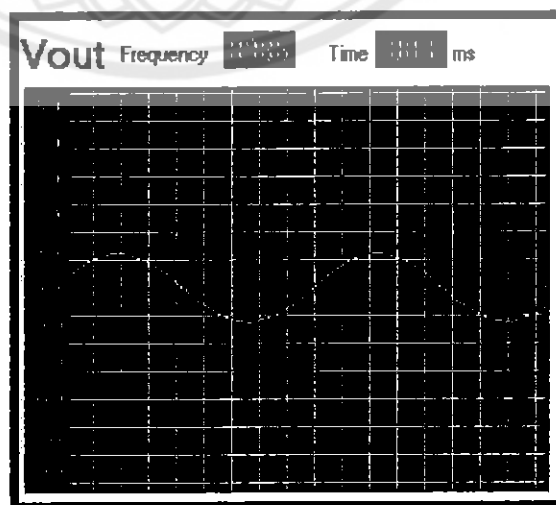
วงจรผลิตความถี่แบบเวนบริดจ์ออสซิลเลเตอร์เป็นวงจรที่ใช้สำหรับสร้างสัญญาณความถี่ 1 กิโลเฮิร์ต เมื่อคอมพิวเตอร์ได้รับสัญญาณจากวงจรผลิตความถี่แบบเวนบริดจ์ออสซิลเลเตอร์แล้ว หน้าต่างของโปรแกรมเคลฟไฟจะแสดงสัญญาณรูปไซน์ ดังแสดงในรูปที่ 4.2 สัญญาณความถี่ที่เกิดจากวงจรผลิตความถี่แบบเวนบริดจ์ออสซิลเลเตอร์นี้จะถูกป้อนให้กับวงจรกรองความถี่ต่ำผ่าน วงจรกรองความถี่สูงผ่าน วงจรกรองความถี่แถบผ่าน และวงจรกรองความถี่แถบหยุดเฉพาะช่วงแคบผ่านต่อไป



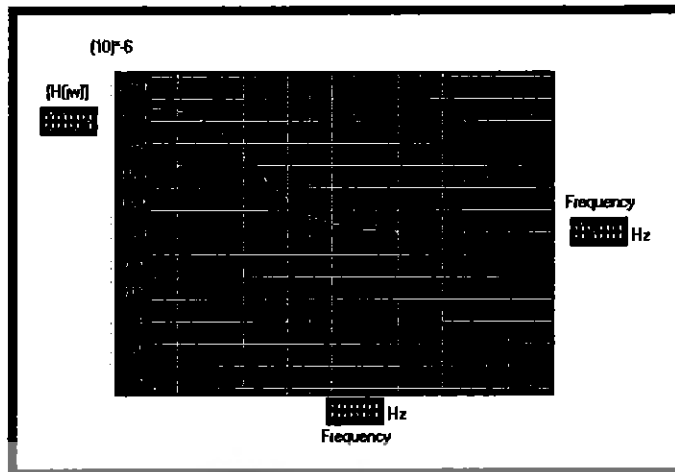
รูปที่ 4.2 สัญญาณจากวงจรผลิตความถี่แบบเวทริกซ์ออสซิลเลเตอร์

4.3 สัญญาณที่เกิดจากวงจรกรองความถี่ต่ำผ่าน

วงจรกรองความถี่ต่ำผ่านได้รับสัญญาณความถี่ 1 กิโลเฮิร์ต ดังแสดงในรูปที่ 4.2 จากวงจรผลิตความถี่แบบเวทริกซ์ออสซิลเลเตอร์ วงจรกรองความถี่ต่ำผ่านทำหน้าที่กรองสัญญาณความถี่โดยสัญญาณที่เกิดจากวงจรกรองความถี่ต่ำผ่านจะถูกส่งผ่านรีเลย์ และ ไมโครคอนโทรลเลอร์แล้วส่งข้อมูลสัญญาณความถี่ไปยังโปรแกรมเคลฟ ซึ่งกราฟสัญญาณความถี่ที่เกิดจากวงจรผลิตความถี่ต่ำผ่านจะแสดงกราฟเป็นรูปซายน์ ดังแสดงในรูปที่ 4.3 จากนั้นใช้โปรแกรมเคลฟวิเคราะห์สัญญาณความถี่ออกมาในรูปกราฟสัญญาณฟังก์ชัน โครงข่ายเทียบกับความถี่ ดังแสดงในรูปที่ 4.4



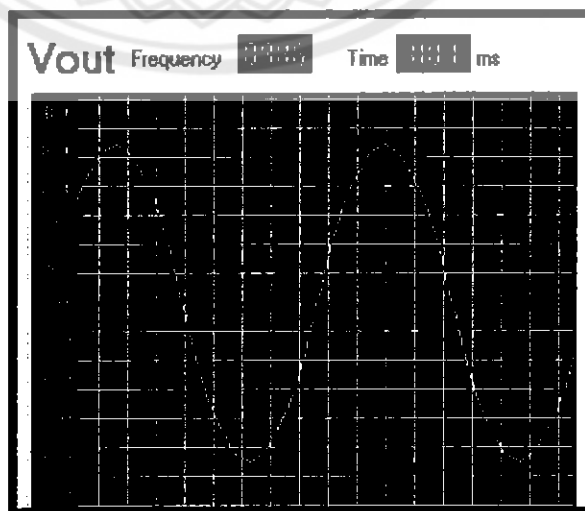
รูปที่ 4.3 สัญญาณที่เกิดจากวงจรกรองความถี่ต่ำผ่าน



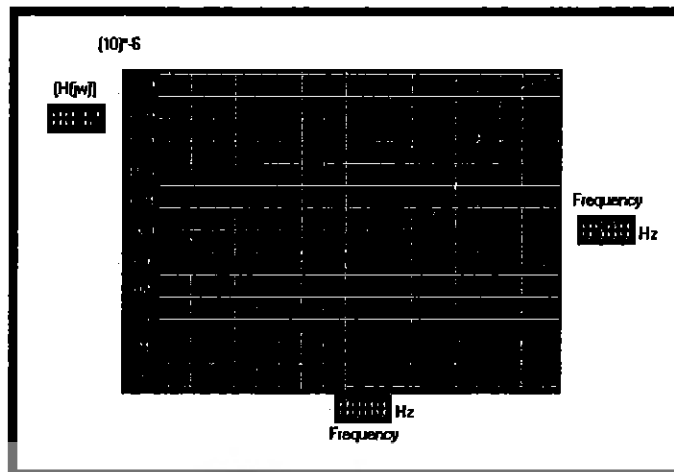
รูปที่ 4.4 กราฟแสดงการวิเคราะห์ฟังก์ชัน โครจรข่ายเทียบกับความถี่ของสัญญาณความถี่ที่มาจาก วงจรกรองความถี่ต่ำผ่าน

4.4 สัญญาณที่เกิดจากวงจรกรองความถี่สูงผ่าน

วงจรกรองความถี่สูงผ่านได้รับสัญญาณความถี่ 1 กิโลเฮิร์ต ดังแสดงในรูปที่ 4.2 จากวงจรผลิตความถี่แบบเวเนนบริดจ์ออสซิลเลเตอร์ วงจรกรองความถี่สูงผ่านทำหน้าที่กรองสัญญาณความถี่ แล้วส่งข้อมูลผ่านรีเลย์ และไมโครคอนโทรลเลอร์ ไปยังโปรแกรมเคลฟ ซึ่งกราฟสัญญาณความถี่ที่เกิดจากวงจรผลิตความถี่สูงผ่านจะแสดงกราฟเป็นรูปไซน์ ดังแสดงในรูปที่ 4.5 จากนั้น โปรแกรมเคลฟจะวิเคราะห์ค่าระหว่างแกน x คือ ความถี่ (Frequency) เทียบกับแกน y คือค่าฟังก์ชัน โครจรข่าย หรือค่าโวลเทจเอาต์พุต (Voltage output) ดังแสดงในรูปที่ 4.6



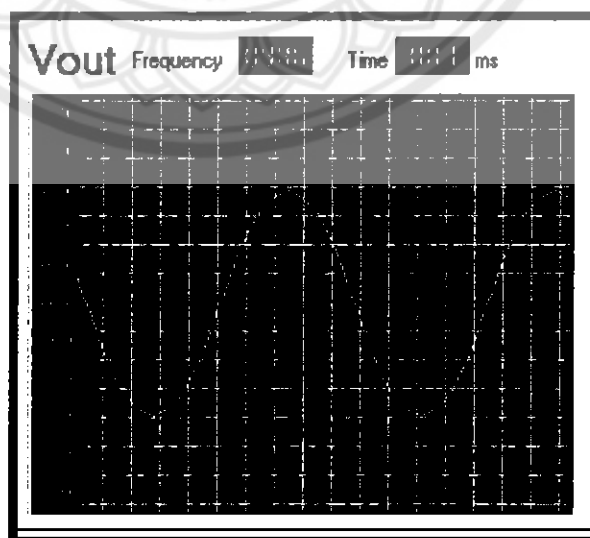
รูปที่ 4.5 สัญญาณที่เกิดจากวงจรกรองความถี่สูงผ่าน



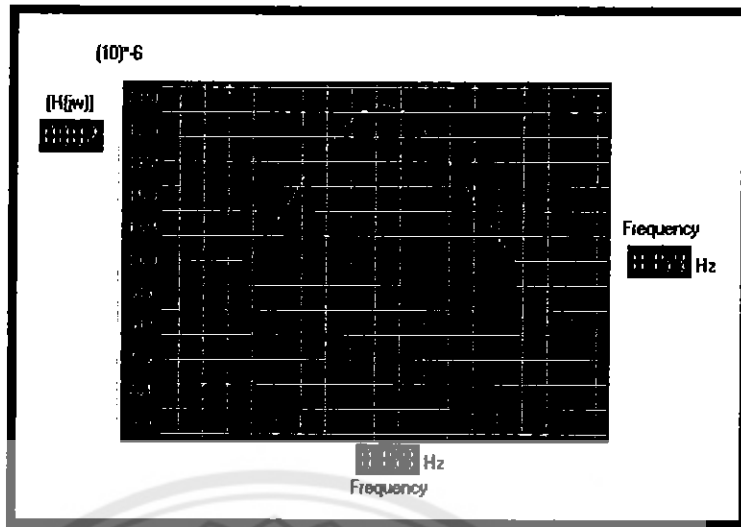
รูปที่ 4.6 กราฟแสดงการวิเคราะห์ฟังก์ชัน โคร่งข่ายเทียบกับความถี่ของสัญญาณความถี่ที่มาจาก วงจรกรองความถี่สูงผ่าน

4.5 สัญญาณที่เกิดจากวงจรกรองความถี่แถบผ่าน

วงจรกรองความถี่แถบผ่านได้รับสัญญาณความถี่ 1 กิโลเฮิร์ต ดังแสดงในรูปที่ 4.2 จากวงจรผลิตความถี่แบบเวเนบรีจ์ออกซซิลเลเตอร์ วงจรกรองความถี่แถบผ่านทำหน้าที่กรองสัญญาณความถี่ แล้วส่งข้อมูลผ่านรีเลย์ และไมโครคอนโทรลเลอร์ ไปยังโปรแกรมเคลฟ ซึ่งกราฟสัญญาณความถี่ที่เกิดจากวงจรผลิตความถี่แถบผ่านจะแสดงกราฟเป็นรูปไซน์ ดังแสดงในรูปที่ 4.7 จากนั้นโปรแกรมเคลฟวิเคราะห์ค่าความถี่เทียบกับค่าฟังก์ชัน โคร่งข่าย ได้กราฟแสดงดังแสดง ในรูปที่ 4.8



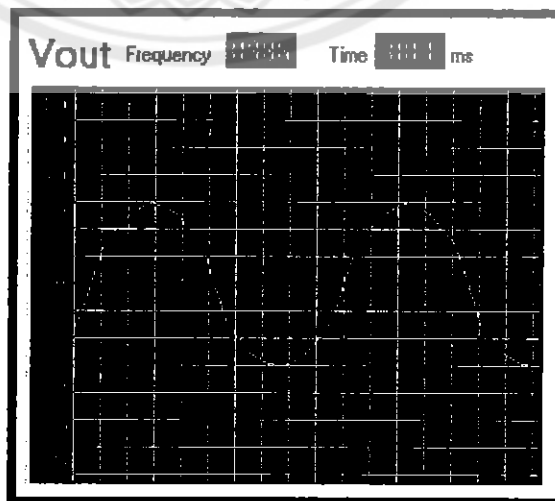
รูปที่ 4.7 สัญญาณที่เกิดจากวงจรกรองความถี่แถบผ่าน



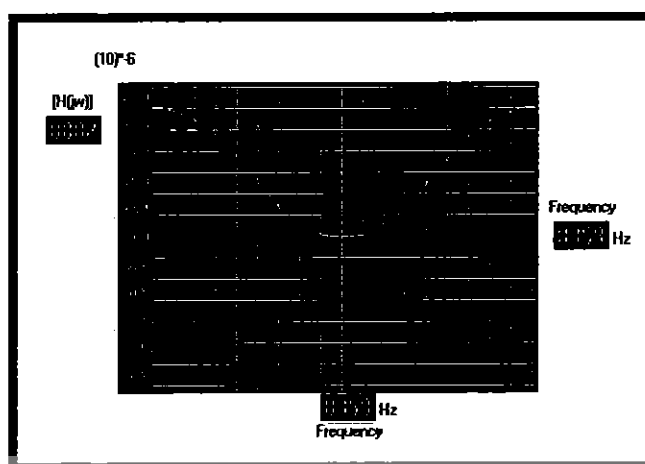
รูปที่ 4.8 กราฟแสดงการวิเคราะห์ฟังก์ชัน โคร่งข่ายเทียบกับความถี่ของสัญญาณความถี่ที่มาจาก วงจรกรองความถี่แถบผ่าน

4.6 สัญญาณที่เกิดจากวงจรกรองความถี่แถบหยุด

วงจรกรองความถี่แถบหยุดได้รับสัญญาณความถี่ 1 กิโลเฮิรต์ ดังแสดงในรูปที่ 4.2 จากวงจรผลิตความถี่แบบเวเวนบริดจ์ข้อสซิลเลเตอร์ วงจรกรองความถี่ต่ำผ่านทำหน้าที่กรองสัญญาณความถี่ แล้วส่งข้อมูล ไปยัง โปรแกรมเคลไฟผ่านรีเลย์ และ ไมโครคอนโทรลเลอร์ ซึ่งกราฟสัญญาณความถี่ที่เกิดจากวงจรผลิตความถี่ต่ำผ่านจะแสดงกราฟเป็นรูปไซน์ ดังแสดงในรูปที่ 4.9 จากนั้นโปรแกรมเคลไฟวิเคราะห์ค่าความถี่เทียบกับค่าฟังก์ชัน โคร่งข่ายได้กราฟแสดงดังแสดงในรูปที่ 4.10



รูปที่ 4.9 สัญญาณวงจรกรองความถี่แถบหยุดเฉพาะช่วงแคบผ่าน



รูปที่ 4.10 กราฟแสดงการวิเคราะห์ฟังก์ชัน โคร่งข่ายเทียบกับความถี่ของสัญญาณความถี่ที่มาจาก วงจรกรองความถี่แถบหยุดเฉพาะช่วงแคบผ่าน



บทที่ 5

สรุปและอภิปรายผลการทดลอง

5.1 สรุปผลการดำเนินงาน

การออกแบบโปรแกรมและสร้างวงจรกรองสัญญาณความถี่แบบรีเลย์ไทย เริ่มจากการสร้างวงจรแหล่งจ่ายกระแสสลับป้อนไฟให้กับวงจรสร้างความถี่แบบวินบริดจ์ออสซิลเลเตอร์ ซึ่งทำหน้าที่สร้างสัญญาณความถี่ที่กำหนดไว้เท่ากับ 1 กิโลเฮิร์ต จากนั้นวงจรสร้างสัญญาณความถี่แบบออสซิลเลเตอร์จะส่งสัญญาณที่สร้างขึ้นนี้ให้กับวงจรกรองความถี่สี่ขั้ว ได้แก่ วงจรกรองความถี่ต่ำผ่าน วงจรกรองความถี่สูงผ่าน วงจรกรองความถี่แถบผ่าน และวงจรกรองความถี่แถบหยุด วงจรกรองความถี่ทั้งสี่ขั้วนี้ทำหน้าที่กรองสัญญาณความถี่แล้วส่งสัญญาณให้ไมโครคอนโทรลเลอร์ โดยผ่านทางตัวรีเลย์ซึ่งทำหน้าที่สลับวงจรกรองความถี่ในการคั้งสัญญาณให้กับไมโครคอนโทรลเลอร์ เมื่อไมโครคอนโทรลเลอร์ได้รับสัญญาณจากรีเลย์แล้วจะส่งสัญญาณไปยังคอมพิวเตอร์เข้าสู่โปรแกรมเคลฟ ซึ่งแสดงสัญญาณความถี่ในรูปขายน้ เมื่อวิเคราะห์สัญญาณจากวงจรสร้างสัญญาณความถี่ 1 กิโลเฮิร์ตและวงจรกรองความถี่ ผลที่ได้จะแสดงรูปกราฟฟังก์ชันโครงข่ายเทียบกับความถี่แบบรีเลย์ไทย

5.2 ปัญหาและข้อเสนอแนะ

การออกแบบและสร้างวงจรกรองสัญญาณความถี่แบบรีเลย์ไทย มีความคลาดเคลื่อนเกิดขึ้นเนื่องจากอุปกรณ์อิเล็กทรอนิกส์บางชิ้นไม่ได้มาตรฐาน ส่งผลให้ตัวโปรแกรมคั้งสัญญาณออกมาผิดเพี้ยนจากค่าความเป็นจริงและทำให้ผลการทดลองมีความคลาดเคลื่อน ดังนั้นควรเลือกใช้อุปกรณ์อิเล็กทรอนิกส์ที่ได้มาตรฐานเพื่อลดความคลาดเคลื่อนที่จะเกิดขึ้นให้ได้มากที่สุด

5.3 ประเมินผล

1. มีความรู้เกี่ยวกับหลักการทํางานของโปรแกรมเคลฟและวงจรกรองความถี่ทั้งสี่ขั้ว ได้แก่ วงจรกรองความถี่ต่ำผ่าน วงจรกรองความถี่สูงผ่าน วงจรกรองความถี่แถบผ่าน และวงจรกรองความถี่แถบหยุด
2. สามารถนำหลักการทํางานของแต่ละวงจรมาสังสร้างวงจรกรองความถี่แบบรีเลย์ไทย ซึ่งประกอบด้วยวงจรผลิตความถี่แบบวินบริดจ์ออสซิลเลเตอร์ วงจรกรองความถี่ทั้งสี่ขั้ว

3. สามารถใช้ไมโครคอนโทรลเลอร์บอร์ด ATMEGA 8 ควบคุมและดึงสัญญาณของวงจรได้
4. สามารถใช้โปรแกรมเคลฟ (Delphi) ดึงสัญญาณออกมาในรูปแบบเรียลไทม์ได้

5.3 แนวทางในการพัฒนาโครงการต่อไป

การสร้างวงจรสร้างสัญญาณความถี่ที่ 1 กิโลเฮิร์ตแบบเวนบรีคจ์ออสซิลเลเตอร์ ส่งสัญญาณผ่านตัวกรองความถี่ 4 ชนิด สามารถเป็นแบบนำไปประยุกต์ในการสร้างวงจรผลิตความถี่ที่สามารถปรับค่าได้ ป้อนให้กับวงจรกรองความถี่ เพื่อลดทอนสัญญาณที่ไม่ต้องการให้มีอัตราส่วนสัญญาณข่าวสารต่อสัญญาณรบกวนเข้าใกล้อนันต์ให้มากที่สุด และสามารถปรับสภาพการกรองตามสัญญาณอ้างอิงที่ต้องการ ซึ่งจะคงไม่แปรผันไปตามขนาด แต่จะแปรผันไปตามรูปแบบของสัญญาณอ้างอิงเท่านั้น



เอกสารอ้างอิง

- [1] การออกแบบสร้าง และทดสอบวงจรกรองความถี่ <http://www.wara.com/modules.php?name=News&file=article&sid=613> สืบค้นเมื่อ สิงหาคม 2555
- [2] กนก กุศลมาลัยนุกูล .คู่มือการใช้งาน โปรแกรม Borland Delphi 5 . พิมพ์ครั้งที่ 1. กรุงเทพมหานคร : ชัศเชส มีเดีย. 2552
- [3] ชนิดของวงจรกรองความถี่ http://www.hs8jyx.com/html/filter_circuit.html สืบค้นเมื่อ สิงหาคม 2555
- [4] วงจรกรองความถี่ http://www.kmitl.ac.th/~kpteeraw/data_com/datacom_52/Filter.htm สืบค้นเมื่อ กรกฎาคม 2555
- [5] วงจรกรองความถี่ต่ำผ่านควบคุมด้วยแรงดัน <http://wara.com/article-694.html> สืบค้นเมื่อ กันยายน 2555
- [6] วงจรผลิตความถี่ <http://wara.com/article-858.html> สืบค้นเมื่อ กรกฎาคม 2555
- [7] วงจรผลิตความถี่ <http://www.whatgroupthai.com/whatelecc/38/op-amp.html> สืบค้นเมื่อ กรกฎาคม 2555
- [8] นคร ภัคศิชาติ.กฤษฎา ใจเย็น.ชัยวัฒน์ ลิ้มพรจิตรวิไล. เรียบ-เล่นไมโครคอนโทรลเลอร์ AVR กับ ATMEGA8.พิมพ์ครั้งที่ 1.กรุงเทพมหานคร: อิน โนเวตีฟ เอ็กเพอริเมนต์ .2500.
- [9] ธนันต์ ศรีสกุล. (2552). พื้นฐานการออกแบบวงจรอิเล็กทรอนิกส์. วิตต์กรู๊ป. กรุงเทพฯ



ภาคผนวก ก

Source code ของโปรแกรม AVR

Source code ของโปรแกรม AVR

```
#include <mega64.h>
#include <string.h>
#include <stdio.h>
#include <delay.h>
int data1[1500];
//int data2[1500];
long count=0;
long sck;
long t;

#define RXB8 1
#define TXB8 0
#define UPE 2
#define OVR 3
#define FE 4
#define UDRE 5
#define RXC 7

#define FRAMING_ERROR (1<<FE)
#define PARITY_ERROR (1<<UPE)
#define DATA_OVERRUN (1<<OVR)
#define DATA_REGISTER_EMPTY (1<<UDRE)
#define RX_COMPLETE (1<<RXC)

// USART0 Receiver buffer
#define RX_BUFFER_SIZE0 8
char rx_buffer0[RX_BUFFER_SIZE0];

#if RX_BUFFER_SIZE0<256
unsigned char rx_wr_index0,rx_rd_index0,rx_counter0;
```

```

#else
unsigned int rx_wr_index0,rx_rd_index0,rx_counter0;
#endif

// This flag is set on USART0 Receiver buffer overflow
bit rx_buffer_overflow0;

// USART0 Receiver interrupt service routine
interrupt [USART0_RXC] void usart0_rx_isr(void)
{
char status,data;
status=UCSR0A;
data=UDR0;
if((status & (FRAMING_ERROR | PARITY_ERROR | DATA_OVERRUN))!=0)
{
rx_buffer0[rx_wr_index0]=data;
if(++rx_wr_index0 == RX_BUFFER_SIZE0) rx_wr_index0=0;
if(++rx_counter0 == RX_BUFFER_SIZE0)
{
rx_counter0=0;
rx_buffer_overflow0=1;
};
};
}

#ifndef _DEBUG_TERMINAL_IO_
// Get a character from the USART0 Receiver buffer
#define _ALTERNATE_GETCHAR_
#pragma used+
char getchar(void)
{
char data;

```

```

while (rx_counter==0);
data=rx_buffer[rx_rd_index];
if(++rx_rd_index == RX_BUFFER_SIZE) rx_rd_index=0;
#asm("cli")
--rx_counter;
#asm("sei")
return data;
}

#pragma used-
#endif

// USART0 Transmitter buffer
#define TX_BUFFER_SIZE 8
char tx_buffer[TX_BUFFER_SIZE];

#if TX_BUFFER_SIZE<256
unsigned char tx_wr_index,tx_rd_index,tx_counter;
#else
unsigned int tx_wr_index,tx_rd_index,tx_counter;
#endif

// USART0 Transmitter interrupt service routine
interrupt [USART0_TXC] void usart0_tx_isr(void)
{
if(tx_counter)
{
--tx_counter;
UDR0=tx_buffer[tx_rd_index];
if(++tx_rd_index == TX_BUFFER_SIZE) tx_rd_index=0;
};
}

```

```

#ifndef _DEBUG_TERMINAL_IO_
// Write a character to the USART0 Transmitter buffer
#define _ALTERNATE_PUTCHAR_
#pragma used+
void putchar(char c)
{
while (tx_counter0 == TX_BUFFER_SIZE0);
#asm("cli")
if (tx_counter0 || ((UCSR0A & DATA_REGISTER_EMPTY)==0))
{
tx_buffer0[tx_wr_index0]=c;
if(++tx_wr_index0 == TX_BUFFER_SIZE0) tx_wr_index0=0;
++tx_counter0;
}
else
UDR0=c;
#asm("sei")
}
#pragma used-
#endif

// Standard Input/Output functions
#include <stdio.h>

#define ADC_VREF_TYPE 0x40

// Read the AD conversion result
unsigned int read_adc(unsigned char adc_input)
{
ADMUX=adc_input|ADC_VREF_TYPE;
// Start the AD conversion
ADCSRA|=0x40;

```

```

// Wait for the AD conversion to complete
while ((ADCSRA & 0x10)==0);
ADCSRA|=0x10;
return ADCW;

}

// Declare your global variables here

void main(void)
{
// Declare your local variables here
char loop=0;
// Input/Output Ports initialization
// Port A initialization
// Func7=In Func6=In Func5=In Func4=In Func3=In Func2=In Func1=In Func0=In
// State7=T State6=T State5=T State4=T State3=T State2=T State1=T State0=T
PORTA=0x00;
DDRA=0x00;

// Port B initialization
// Func7=In Func6=In Func5=In Func4=In Func3=In Func2=In Func1=In Func0=In
// State7=T State6=T State5=T State4=T State3=T State2=T State1=T State0=T
PORTB=0x00;
DDRB=0x00;

// Port C initialization
// Func7=In Func6=In Func5=In Func4=In Func3=In Func2=In Func1=In Func0=In
// State7=T State6=T State5=T State4=T State3=T State2=T State1=T State0=T
PORTC=0x00;
DDRC=0x00;

// Port D initialization
// Func7=In Func6=In Func5=In Func4=In Func3=In Func2=In Func1=In Func0=In

```



```
// State7=T State6=T State5=T State4=T State3=T State2=T State1=T State0=T
PORTD=0x00;
DDRD=0x00;

// Port E initialization
// Func7=In Func6=In Func5=In Func4=In Func3=In Func2=In Func1=In Func0=In
// State7=T State6=T State5=T State4=T State3=T State2=T State1=T State0=T
PORTE=0x00;
DDRE=0x00;

// Port F initialization
// Func7=In Func6=In Func5=In Func4=In Func3=In Func2=In Func1=In Func0=In
// State7=T State6=T State5=T State4=T State3=T State2=T State1=T State0=T
PORTF=0x00;
DDRF=0x00;

// Port G initialization
// Func4=In Func3=In Func2=In Func1=In Func0=In
// State4=T State3=T State2=T State1=T State0=T
PORTG=0x00;
DDRG=0x00;

// Timer/Counter 0 initialization
// Clock source: System Clock
// Clock value: Timer 0 Stopped
// Mode: Normal top=FFh
// OC0 output: Disconnected
ASSR=0x00;
TCCR0=0x00;
TCNT0=0x00;
OCR0=0x00;

// Timer/Counter 1 initialization
```

```
// Clock source: System Clock
// Clock value: Timer 1 Stopped
// Mode: Normal top=FFFFh
// OC1A output: Discon.
// OC1B output: Discon.
// OC1C output: Discon.
// Noise Canceler: Off
// Input Capture on Falling Edge
// Timer 1 Overflow Interrupt: Off
// Input Capture Interrupt: Off
// Compare A Match Interrupt: Off
// Compare B Match Interrupt: Off
// Compare C Match Interrupt: Off
TCCR1A=0x00;
TCCR1B=0x00;
TCNT1H=0x00;
TCNT1L=0x00;
ICR1H=0x00;
ICR1L=0x00;
OCR1AH=0x00;
OCR1AL=0x00;
OCR1BH=0x00;
OCR1BL=0x00;
OCR1CH=0x00;
OCR1CL=0x00;

// Timer/Counter 2 initialization
// Clock source: System Clock
// Clock value: Timer 2 Stopped
// Mode: Normal top=FFh
// OC2 output: Disconnected
TCCR2=0x00;
```

```
TCNT2=0x00;
OCR2=0x00;

// Timer/Counter 3 initialization
// Clock source: System Clock
// Clock value: Timer 3 Stopped
// Mode: Normal top=FFFFh
// Noise Canceler: Off
// Input Capture on Falling Edge
// OC3A output: Discon.
// OC3B output: Discon.
// OC3C output: Discon.
// Timer 3 Overflow Interrupt: Off
// Input Capture Interrupt: Off
// Compare A Match Interrupt: Off
// Compare B Match Interrupt: Off
// Compare C Match Interrupt: Off
TCCR3A=0x00;
TCCR3B=0x00;
TCNT3H=0x00;
TCNT3L=0x00;
ICR3H=0x00;
ICR3L=0x00;
OCR3AH=0x00;
OCR3AL=0x00;
OCR3BH=0x00;
OCR3BL=0x00;
OCR3CH=0x00;
OCR3CL=0x00;

// External Interrupt(s) initialization
// INT0: Off
```

```
// INT1: Off
// INT2: Off
// INT3: Off
// INT4: Off
// INT5: Off
// INT6: Off
// INT7: Off
EICRA=0x00;
EICRB=0x00;
EIMSK=0x00;

// Timer(s)/Counter(s) Interrupt(s) initialization
TIMSK=0x00;
ETIMSK=0x00;

// USART0 initialization
// Communication Parameters: 8 Data, 1 Stop, No Parity
// USART0 Receiver: On
// USART0 Transmitter: On
// USART0 Mode: Asynchronous
// USART0 Baud rate: 115200
UCSR0A=0x00;
UCSR0B=0xD8;
UCSR0C=0x06;
UBRR0H=0x00;
UBRR0L=0x08;

// Analog Comparator initialization
// Analog Comparator: Off
// Analog Comparator Input Capture by Timer/Counter 1: Off
ACSR=0x80;
SFIOR=0x00;
```

```

// ADC initialization
// ADC Clock frequency: 1000.000 kHz
// ADC Voltage Reference: AREF pin
ADMUX=ADC_VREF_TYPE;
ADCSRA=0x84;

// ADC initialization
// ADC Clock frequency: 125.000 kHz
// ADC Voltage Reference: AREF pin
//ADMUX=ADC_VREF_TYPE;
//ADCSRA=0x8F;

// Global enable interrupts
#asm("sei")
printf("Test Rs232 For delphi7 \r\n");
while (1)
{
// Place your code here

while(read_adc(0)<=20);
while(read_adc(0)>=20)
{
data1[count] = read_adc(0);
count++;
}
putchar('$');
for(t=0;t<count;t++)
{
if(data1[t] != 0 && data1[t] != 1024 ) printf("%i,",data1[t]);
delay_ms(5);
}
}

```

```
    }  
    putchar('?');  
    count = 0;  
    while(read_adc(0)>=20);  
};  
}
```



ภาคผนวก ข

Source code ของโปรแกรม Borland Delphi



Source code ของโปรแกรม Borland Delphi

```
unit uscope;  
  
interface  
  
uses  
  Windows, Messages, SysUtils, Classes, Graphics, Controls, Forms, Dialogs,  
  ExtCtrls, VrClasses, VrScope, StdCtrls, ComCtrls, VrScale, VrBorder,  
  VrControls, VrDesign, VrLeds, VrBlotter, VrLed, VrThreads, VrButtons,  
  CPortCtl, CPort, DB, ADODB;  
  
type  
  TForm1 = class(TForm)  
    VrBlotter1: TVrBlotter;  
    VrUserLed1: TVrUserLed;  
    VrBlotter2: TVrBlotter;  
    VrShadowButton1: TVrShadowButton;  
    VrShadowButton2: TVrShadowButton;  
    Label3: TLabel;  
    UpDown3: TUpDown;  
    Label1: TLabel;  
    UpDown1: TUpDown;  
    Label2: TLabel;  
    VrBlotter3: TVrBlotter;  
    VrScope1: TVrScope;  
    VrScale1: TVrScale;  
    VrNum2: TVrNum;  
    VrNum3: TVrNum;  
    CheckBox1: TCheckBox;  
    ComPort1: TComPort;
```


ComTerminal1: TComTerminal;
Button1: TButton;
Button2: TButton;
Button3: TButton;
Memo1: TMemo;
VrBlotter4: TVrBlotter;
VrScale2: TVrScale;
ComTerminal2: TComTerminal;
Memo2: TMemo;
VrBlotter5: TVrBlotter;
VrScope3: TVrScope;
VrScale3: TVrScale;
ComTerminal3: TComTerminal;
Memo3: TMemo;
Label4: TLabel;
Label5: TLabel;
Button4: TButton;
Button5: TButton;
Button6: TButton;
Button7: TButton;
Label6: TLabel;
Label7: TLabel;
Label9: TLabel;
ADOConnection1: TADOConnection;
ADOQuery1: TADOQuery;
ADO_free: TADOQuery;
VrNum4: TVrNum;
Label8: TLabel;
VrNum5: TVrNum;
VrScope2: TVrScope;
Label10: TLabel;
VrNum7: TVrNum;

```
ComTerminal4: TComTerminal;
Button8: TButton;
Timer1: TTimer;
Label12: TLabel;
Label13: TLabel;
Label14: TLabel;
VrNum1: TVrNum;
Label15: TLabel;
Label16: TLabel;
VrNum6: TVrNum;
VrNum9: TVrNum;
Label18: TLabel;
Label17: TLabel;
Label19: TLabel;
VrNum8: TVrNum;
Label11: TLabel;
Label20: TLabel;
Label21: TLabel;
procedure Button1Click(Sender: TObject);
procedure Button2Click(Sender: TObject);
procedure UpDown3Click(Sender: TObject; Button: TUDBtnType);
procedure UpDown1Click(Sender: TObject; Button: TUDBtnType);
procedure UpDown2Click(Sender: TObject; Button: TUDBtnType);
procedure VrScope1NeedData(Sender: TObject; Channel: Integer;
    var Value: Integer);
procedure CheckBox1Click(Sender: TObject);
procedure CheckBox2Click(Sender: TObject);
procedure FormShow(Sender: TObject);
procedure UpDown4Click(Sender: TObject; Button: TUDBtnType);
procedure ComTerminal1Char(Sender: TObject; Ch: Char);
procedure Button3Click(Sender: TObject);
procedure Button4Click(Sender: TObject);
```

```
procedure VrScope2NeedData(Sender: TObject; Channel: Integer;
  var Value: Integer);
procedure VrScope3NeedData(Sender: TObject; Channel: Integer;
  var Value: Integer);
procedure Button5Click(Sender: TObject);
procedure Button6Click(Sender: TObject);
procedure Button7Click(Sender: TObject);
procedure Timer1Timer(Sender: TObject);
procedure ComTerminal4Char(Sender: TObject; Ch: Char);
procedure Button8Click(Sender: TObject);
procedure FormCreate(Sender: TObject);
private
  { Private declarations }
public
  { Public declarations }
  send,save_data,index,step1,step2,step3,i,ii,iii,cp,start,loop,phase: integer;
  y: real;
  sinwave : array of integer;
  sinwave2 : array of integer;
  sinwave3 : array of integer;
  datarx : string;
  menu,cnt_ok ,discon,cnt_e: Integer;

  N : integer;
  Wc : real;
  fs,fc : integer;
  Wc1,Wc2 : real;
  fc1,fc2 : integer;

end;
```

var

Form1: TForm1;

implementation

uses Variants;

{\$R *.DFM}

procedure TForm1.Button1Click(Sender: TObject);

const

PS: array[boolean] of PChar = ('START', 'STOP');

begin

VrScope1.Active := not VrScope1.Active;

VrUserLed1.Active := VrScope1.Active;

VrShadowButton1.Caption := PS[VrScope1.Active];

// ComPort1.ShowSetupDialog;

// ComPort1.Connected:=true;

end;

procedure TForm1.Button2Click(Sender: TObject);

begin

// VrScope1.Clear;

end;

procedure TForm1.UpDown3Click(Sender: TObject; Button: TUDBtnType);

begin

//VrNum2.Value := UpDown3.Position;

//VrScope1.Interval := VrNum2.Value;

end;

```

procedure TForm1.UpDown1Click(Sender: TObject; Button: TUDBtnType);
begin
    // VrNum3.Value := UpDown1.Position;
    // VrScope1.GridSize := VrNum3.Value;
end;

```

```

procedure TForm1.UpDown2Click(Sender: TObject; Button: TUDBtnType);
begin
    // VrNum4.Value := UpDown2.Position;
    // VrScope1.Frequency := VrNum4.Value;
end;

```

```

procedure TForm1.VrScope1NeedData(Sender: TObject; Channel: Integer;
var Value: Integer);
begin
    // if (phase=1) then
    begin
        Value := sinwave[i]; //512+
        i:=i+1;
        if (i>step1-1) then
            begin
                i:=0;
                // phase:=2;
            end
        end;
    { if (phase=2) then
    begin
        Value := sinwave[i]; //512+
        i:=i+1;
        if (i>step1-1) then

```

```
begin
    i:=0;
    phase:=1;
end
end;
}

end;

procedure TForm1.CheckBox1Click(Sender: TObject);
begin
    vrScope1.Channels[0].Visible := CheckBox1.Checked;
end;

procedure TForm1.CheckBox2Click(Sender: TObject);
begin
    // vrScope1.Channels[1].Visible := CheckBox2.Checked;
end;

procedure TForm1.FormShow(Sender: TObject);
var A : Integer;
begin
    vrScope1.Channels[1].Visible := false;
    vrScope2.Channels[1].Visible := false;
    vrScope3.Channels[1].Visible := false;

    SetLength(sinwave,1650);
    SetLength(sinwave2,1650);
    SetLength(sinwave3,1650);

    {
```

```
sinwave[0]:=1;
sinwave[1]:=-2;
sinwave[2]:=10;
sinwave[3]:=15;
sinwave[4]:=20;
sinwave[5]:=25;
sinwave[6]:=30;
sinwave[7]:=35;
sinwave[8]:=140;
sinwave[9]:=150;
sinwave[10]:=200;
sinwave[11]:=250;
sinwave[12]:=300;
sinwave[13]:=350;
sinwave[14]:=400;
sinwave[15]:=425;
sinwave[16]:=450;
sinwave[17]:=500;
sinwave[18]:=520;
sinwave[19]:=550;

}

// x = sin(y);
{
  for A:=0 to 20 do
  begin
    sinwave[A]:= trunc (sin( ( A*(22/7))/180 ));
  end; . }
{
  sinwave[0]:=1;
  sinwave[1]:=10;
```

```
sinwave[2]:=20;  
sinwave[3]:=35;  
sinwave[4]:=48;  
sinwave[5]:=50;  
sinwave[6]:=66;  
sinwave[7]:=78;  
sinwave[8]:=85;  
sinwave[9]:=90;
```

```
sinwave[10]:=100;  
sinwave[11]:=120;  
sinwave[12]:=130;  
sinwave[13]:=135;  
sinwave[14]:=145;  
sinwave[15]:=165;  
sinwave[16]:=166;  
sinwave[17]:=167;  
sinwave[18]:=168;  
sinwave[19]:=169;  
}  
end;
```

```
procedure TForm1.UpDown4Click(Sender: TObject; Button: TUDBtnType);
```

```
begin
```

```
    // ii:= UpDown4.Position;
```

```
    // VrNum1.Value :=ii;
```

```
end;
```

```
procedure TForm1.ComTerminal1Char(Sender: TObject; Ch: Char);
```

```
begin
```

```
{
```

```
    if (save_data=1) then
```



```
begin

if (Ch='$') then
begin
    //VrScope1.Active:=false;

    datarx:="";
    index:=0;
    start:=0;

end
else if (Ch='!') and (start=0) then
begin
    // VrScope1.Active:=true;
    // i:=strtoint(datarx);
    // $ 112,545,656,885,121!

    start:=1;
    step := index;
    save_data:=0;
    VrScope1.Active:=true;
end
else if (Ch=',') and (start=0) then
begin
    sinwave[index] := strtoint(datarx);

    memo1.Lines.Add(inttostr(sinwave[index]));
    inc(index);
    datarx:="";
end
else
begin
```

```
    if (Ch >='0') and (Ch <='9') and (start=0) then
        datarx:=datarx+Ch;
    end;
end;

}
end;
```

```
procedure TForm1.Button3Click(Sender: TObject);
begin
    ComPort1.ShowSetupDialog;
    ComPort1.Connected:=true;
    memo1.Clear;
    Timer1.Enabled :=true;
    //timer1.Enabled:=true;
end;
```

```
procedure TForm1.Button4Click(Sender: TObject);
begin

    Wc :=N/2;
    Wc := (2*(2.14) * fc)/fs;
    VrScope3.Clear;
    if ( discon =1) then
    begin
        VrScope1.Active :=false;
        VrScope2.Active :=false;
        VrScope3.Active :=false;

        ADO_free.Close;
        ADO_free.sql.Clear;
```

```
ADO_free.SQL.Add('select * from t_lpf');
ADO_free.Open;
step1 := 0;

if (ADO_free.Fields[0].Value <> Null) then
begin
    i:=0;
    while not ADO_free.Eof do
    begin
        sinwave[i]:= ADO_free.Fields[1].Value;
        ADO_free.next;
        inc(i);
    end;
    step1 := i;
end;

ADO_free.Close;
ADO_free.sql.Clear;
ADO_free.SQL.Add('select * from t_lpf2');
ADO_free.Open;
step2 := 0;

if (ADO_free.Fields[0].Value <> Null) then
begin
    ii:=0;
    while not ADO_free.Eof do
    begin
        sinwave2[ii]:= ADO_free.Fields[1].Value;
        ADO_free.next;
        inc(ii);
    end;
```

```
step2 := ii;
end;

ADO_free.Close;
ADO_free.sql.Clear;
ADO_free.SQL.Add('select * from t_lpf3');
ADO_free.Open;
step3 := 0;

if (ADO_free.Fields[0].Value <> Null) then
begin
iii:=0;
while not ADO_free.Eof do
begin
sinwave3[iii]:= ADO_free.Fields[1].Value;
ADO_free.next;
inc(iii);
end;
step3 := iii;
end;
```

```
VrScope1.Active :=true;
VrScope2.Active :=true;
VrScope3.Active :=true;
i:=0;
ii:=0;
iii:=0;
```

```

VrNum4.Value := 986; VrNum1.Value := 1;
VrNum5.Value := 986; VrNum6.Value := 1;
VrNum7.Value := 500; VrNum8.Value := 0;
VrNum9.Value := 4;

```

```
ComPort1.WriteStr('A');
```

```
menu:=1;
```

```
end;
```

```
end;
```

```
procedure TForm1.VrScope2NeedData(Sender: TObject; Channel: Integer;
```

```
var Value: Integer);
```

```
begin
```

```
Value := sinwave2[ii]; //512+
```

```
ii:=ii+1;
```

```
if (ii>step2-1) then
```

```
begin
```

```
ii:=0;
```

```
end
```

```
end;
```

```
procedure TForm1.VrScope3NeedData(Sender: TObject; Channel: Integer;
```

```
var Value: Integer);
```

```
begin
```

```
Value := sinwave3[iii]; //512+
```

```
iii:=iii+1;
```

```
if (iii>step3-1) then
```

```
begin
```

```
iii:=0;
```

```
VrScope3.Active :=false;
```

```
end
```

```
end;
```

```
procedure TForm1.Button5Click(Sender: TObject);
```

```
begin
```

```
Wc :=N/2;
```

```
Wc := (2*(2.14) * fc)/fs;
```

```
VrScope3.Clear;
```

```
if ( discon =1) then
```

```
begin
```

```
  VrScope1.Active :=false;
```

```
  VrScope2.Active :=false;
```

```
  VrScope3.Active :=false;
```

```
  ADO_free.Close;
```

```
  ADO_free.sql.Clear;
```

```
  ADO_free.SQL.Add('select * from t_lpf');
```

```
  ADO_free.Open;
```

```
  step1 := 0;
```

```
  if (ADO_free.Fields[0].Value <> Null) then
```

```
  begin
```

```
    i:=0;
```

```
    while not ADO_free.Eof do
```

```
    begin
```

```
      sinwave[i]:= ADO_free.Fields[1].Value;
```

```
ADO_free.next;
inc(i);
end;
step1 := i;
end;
```

```
ADO_free.Close;
ADO_free.sql.Clear;
ADO_free.SQL.Add('select * from t_hpf2');
ADO_free.Open;
step2 := 0;

if (ADO_free.Fields[0].Value <> Null) then
begin
ii:=0;
while not ADO_free.Eof do
begin
sinwave2[ii]= ADO_free.Fields[1].Value;
ADO_free.next;
inc(ii);
end;
step2 := ii;
end;
```

```
ADO_free.Close;
ADO_free.sql.Clear;
ADO_free.SQL.Add('select * from t_hpf3');
ADO_free.Open;
step3 := 0;
```

```

if (ADO_free.Fields[0].Value <> Null) then
begin
    iii:=0;
    while not ADO_free.Eof do
    begin
        sinwave3[iii]:= ADO_free.Fields[1].Value;
        ADO_free.next;
        inc(iii);
    end;
    step3 := iii;
end;

VrScope1.Active :=true;
VrScope2.Active :=true;
VrScope3.Active :=true;
i:=0;
ii:=0;
iii:=0;

VrNum4.Value := 986; VrNum1.Value := 1;
VrNum5.Value := 986; VrNum6.Value := 1;
VrNum7.Value := 500; VrNum8.Value := 0;
VrNum9.Value := 12;

ComPort1.WriteStr('B');
menu:=2;
end;
end;

```



```
procedure TForm1.Button6Click(Sender: TObject);
```

```
begin
```

```
Wc1 := (2*(2.14) * fc1)/fs;
```

```
Wc2 := (2*(2.14) * fc2)/fs;
```

```
VrScope3.Clear;
```

```
if (discon=1) then
```

```
begin
```

```
  VrScope1.Active :=false;
```

```
  VrScope2.Active :=false;
```

```
  VrScope3.Active :=false;
```

```
  ADO_free.Close;
```

```
  ADO_free.sql.Clear;
```

```
  ADO_free.SQL.Add('select * from t_lpf');
```

```
  ADO_free.Open;
```

```
  step1 := 0;
```

```
  if (ADO_free.Fields[0].Value <> Null) then
```

```
  begin
```

```
    i:=0;
```

```
    while not ADO_free.Eof do
```

```
    begin
```

```
      sinwave[i]:= ADO_free.Fields[1].Value;
```

```
      ADO_free.next;
```

```
      inc(i);
```

```
    end;
```

```
    step1 := i;
```

```
  end;
```

```
ADO_free.Close;  
ADO_free.sql.Clear;  
ADO_free.SQL.Add('select * from t_bpf2');  
ADO_free.Open;  
step2 := 0;
```

```
if (ADO_free.Fields[0].Value <> Null) then
```

```
begin
```

```
  ii:=0;
```

```
  while not ADO_free.Eof do
```

```
    begin
```

```
      sinwave2[ii]:= ADO_free.Fields[1].Value;
```

```
      ADO_free.next;
```

```
      inc(ii);
```

```
    end;
```

```
    step2 := ii;
```

```
  end;
```

```
ADO_free.Close;
```

```
ADO_free.sql.Clear;
```

```
ADO_free.SQL.Add('select * from t_bpf3');
```

```
ADO_free.Open;
```

```
step3 := 0;
```

```
if (ADO_free.Fields[0].Value <> Null) then
```

```
begin
```

```
  iii:=0;
```

```
  while not ADO_free.Eof do
```

```
    begin
```

```
sinwave3[iii]:= ADO_free.Fields[1].Value;
ADO_free.next;
inc(iii);
end;
step3 := iii;
end;
```

```
VrScope1.Active :=true;
VrScope2.Active :=true;
VrScope3.Active :=true;
i:=0;
ii:=0;
iii:=0;
VrNum4.Value := 986; VrNum6.Value := 1;
VrNum5.Value := 986; VrNum1.Value := 1;
VrNum7.Value := 159; VrNum8.Value := 159;
VrNum9.Value := 2;
```

```
ComPort1.WriteStr('C');
menu:=3;
end;

end;

procedure TForm1.Button7Click(Sender: TObject);
begin
Wc1 := (2*(2.14) * fc1)/fs;
```

```
Wc2 := (2*(2.14) * fc2)/fs;
VrScope3.Clear;

if ( discon =1) then
begin
  VrScope1.Active :=false;
  VrScope2.Active :=false;
  VrScope3.Active :=false;

  ADO_free.Close;
  ADO_free.sql.Clear;
  ADO_free.SQL.Add('select * from t_lpf);
  ADO_free.Open;
  step1 := 0;

  if (ADO_free.Fields[0].Value <> Null) then
  begin
    i:=0;
    while not ADO_free.Eof do
    begin
      sinwave[i]:= ADO_free.Fields[1].Value;
      ADO_free.next;
      inc(i);
    end;
    step1 := i;
  end;

  ADO_free.Close;
  ADO_free.sql.Clear;
  ADO_free.SQL.Add('select * from t_bsf2');
```

```
ADO_free.Open;
step2 := 0;

if (ADO_free.Fields[0].Value <> Null) then
begin
  ii:=0;
  while not ADO_free.Eof do
  begin
    sinwave2[ii]:= ADO_free.Fields[1].Value;
    ADO_free.next;
    inc(ii);
  end;
  step2 := ii;
end;

ADO_free.Close;
ADO_free.sql.Clear;
ADO_free.SQL.Add('select * from t_bsf3');
ADO_free.Open;
step3 := 0;

if (ADO_free.Fields[0].Value <> Null) then
begin
  iii:=0;
  while not ADO_free.Eof do
  begin
    sinwave3[iii]:= ADO_free.Fields[1].Value;
    ADO_free.next;
    inc(iii);
  end;
  step3 := iii;
```

```
end;
```

```
VrScope1.Active :=true;
```

```
VrScope2.Active :=true;
```

```
VrScope3.Active :=true;
```

```
i:=0;
```

```
ii:=0;
```

```
iii:=0;
```

```
VrNum4.Value := 986; VrNum1.Value := 1;
```

```
VrNum5.Value := 986; VrNum6.Value := 1;
```

```
VrNum7.Value := 159; VrNum8.Value := 159;
```

```
VrNum9.Value := 2;
```

```
ComPort1.WriteStr('D');
```

```
menu:=4;
```

```
end;
```

```
end;
```

```
procedure TForm1.Timer1Timer(Sender: TObject);
```

```
var y : Integer;
```

```
begin
```

```
inc(cnt_ok);
```

```
label14.Caption := inttostr(cnt_ok);
```

```
inc(cnt_e);
```

```
if cnt_e = 4 then
begin
    if menu = 1 then Button4.Click;
    if menu = 2 then Button5.Click;
    if menu = 3 then Button6.Click;
    if menu = 4 then Button7.Click;

end;

if (cnt_ok = 3) then
begin
    discon :=0;
    // if ( discon = 1) then
    // begin
    Label12.Caption := 'Disconnect';
    for y:=0 to step1 do sinwave[y]:=1024;
    for y:=0 to step2 do sinwave2[y]:=1024;
    for y:=0 to step3 do sinwave3[y]:=1024;

    Button8.Click;
    // discon:=0;
    // end;

end
else
begin
    if ((discon = 0) and (cnt_ok = 1) )then
    begin
        discon:=1;
        Label12.Caption := 'Connect';
        if menu = 1 then Button4.Click;
```

```
        if menu = 2 then Button5.Click;
        if menu = 3 then Button6.Click;
        if menu = 4 then Button7.Click;
    end;
end;
```

```
end;
```

```
procedure TForm1.ComTerminal4Char(Sender: TObject; Ch: Char);
```

```
var y : Integer;
```

```
begin
```

```
    if (Ch = 'K') then
```

```
    begin
```

```
        cnt_ok:=0;
```

```
        // discon :=1;
```

```
    end;
```

```
    if (Ch = 'E') then
```

```
    begin
```

```
        cnt_e:=0;
```

```
        for y:=0 to step1 do sinwave[y]:=1024;
```

```
        for y:=0 to step2 do sinwave2[y]:=1024;
```

```
        for y:=0 to step3 do sinwave3[y]:=1024;
```

```
    end;
```

```
end;
```

```
procedure TForm1.Button8Click(Sender: TObject);
```

```
var y : Integer;
```



```
begin
  ComPort1.WriteStr('E');

  for y:=0 to step1 do  sinwave[y]:=1024;
  for y:=0 to step2 do  sinwave2[y]:=1024;
  for y:=0 to step3 do  sinwave3[y]:=1024;

  VrScope1.Clear;
  VrScope2.Clear;
  VrScope3.Clear;
  VrScope1.Active :=false;
  VrScope2.Active :=false;
  VrScope3.Active :=false;

  VrNum4.Value := 0;
  VrNum5.Value := 0;
  VrNum7.Value := 0;

end;
procedure TForm1.FormCreate(Sender: TObject);
begin
  discon :=0;

  fc:=1;
  fs:=1;
  fc1:=1;
  fc2:=1;
  end;

end.
```

ภาคผนวก ค

รายละเอียดของไอซีหมายเลข LM 301



LM101A/LM201A/LM301A Operational Amplifiers

General Description

The LM101A series are general purpose operational amplifiers which feature improved performance over industry standards like the LM709. Advanced processing techniques make possible an order of magnitude reduction in input currents, and a redesign of the biasing circuitry reduces the temperature drift of input current. Improved specifications include:

- Offset voltage 3 mV maximum over temperature (LM101A/LM201A)
- Input current 100 nA maximum over temperature (LM101A/LM201A)
- Offset current 20 nA maximum over temperature (LM101A/LM201A)
- Guaranteed drift characteristics
- Offsets guaranteed over entire common mode and supply voltage ranges
- Slew rate of 10V/μs as a summing amplifier

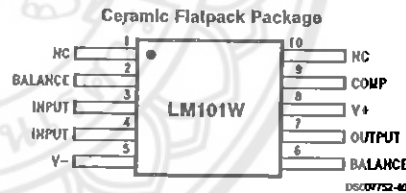
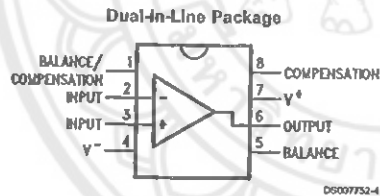
This amplifier offers many features which make its application nearly foolproof: overload protection on the input

and output, no latch-up when the common mode range is exceeded, and freedom from oscillations and compensation with a single 30 pF capacitor. It has advantages over internally compensated amplifiers in that the frequency compensation can be tailored to the particular application. For example, in low frequency circuits it can be over-compensated for increased stability margin. Or the compensation can be optimized to give more than a factor of ten improvement in high frequency performance for most applications.

In addition, the device provides better accuracy and lower noise in high impedance circuitry. The low input currents also make it particularly well suited for long interval integrators or timers, sample and hold circuits and low frequency waveform generators. Further, replacing circuits where matched transistor pairs buffer the inputs of conventional IC op amps, it can give lower offset voltage and a drift at a lower cost.

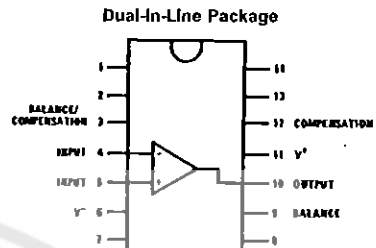
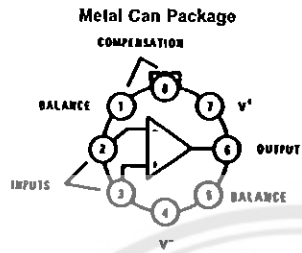
The LM101A is guaranteed over a temperature range of -55°C to +125°C, the LM201A from -25°C to +85°C, and the LM301A from 0°C to +70°C.

Connection Diagrams (Top View)



LM101A/LM201A/LM301A Operational Amplifiers

Connection Diagrams (Top View) (Continued)



Note: Pin 4 connected to case.

DS00752-2

Order Number LM101AH, LM101AH/883 (Note 1),
LM201AH or LM301AH
See NS Package Number H08C

Order Number LM101AJ-14/883 (Note 1)
See NS Package Number J14A

DS00752-3

Note 1: Available per J436510/10103.

Absolute Maximum Ratings (Note 2)

If Military/Aerospace specified devices are required, please contact the National Semiconductor Sales Office/ Distributors for availability and specifications.

	LM101A/LM201A	LM301A
Supply Voltage	±22V	±18V
Differential Input Voltage	±30V	±30V
Input Voltage (Note 3)	±15V	±15V
Output Short Circuit Duration (Note 4)	Continuous	Continuous
Operating Ambient Temp. Range	-55°C to +125°C (LM101A) -25°C to +85°C (LM201A)	0°C to +70°C
T_J Max		
H-Package	150°C	100°C
N-Package	150°C	100°C
J-Package	150°C	100°C
Power Dissipation at $T_A = 25^\circ\text{C}$		
H-Package (Still Air)	500 mW	300 mW
(400 LF/Min Air Flow)	1200 mW	700 mW
N-Package	900 mW	500 mW
J-Package	1000 mW	650 mW
Thermal Resistance (Typical) θ_{JA}		
H-Package (Still Air)	165°C/W	165°C/W
(400 LF/Min Air Flow)	67°C/W	67°C/W
N-Package	135°C/W	135°C/W
J-Package	110°C/W	110°C/W
(Typical) θ_{JC}		
H-Package	25°C/W	25°C/W
Storage Temperature Range	-65°C to +150°C	-65°C to +150°C
Lead Temperature (Soldering, 10 sec.)		
Metal Can or Ceramic	300°C	300°C
Plastic	260°C	260°C
ESD Tolerance (Note 7)	2000V	2000V

Electrical Characteristics (Note 5)

$T_A = T_J$

Parameter	Conditions	LM101A/LM201A			LM301A			Units
		Min	Typ	Max	Min	Typ	Max	
Input Offset Voltage	$T_A = 25^\circ\text{C}$, $R_S \leq 50 \text{ k}\Omega$		0.7	2.0		2.0	7.5	mV
Input Offset Current	$T_A = 25^\circ\text{C}$		1.5	10		3.0	50	nA
Input Bias Current	$T_A = 25^\circ\text{C}$		30	75		70	250	nA
Input Resistance	$T_A = 25^\circ\text{C}$	1.5	4.0		0.5	2.0		M Ω
Supply Current	$T_A = 25^\circ\text{C}$	$V_S = \pm 20\text{V}$		1.8	3.0			mA
		$V_S = \pm 15\text{V}$					1.8	3.0
Large Signal Voltage Gain	$T_A = 25^\circ\text{C}$, $V_S = \pm 15\text{V}$ $V_{OUT} = \pm 10\text{V}$, $R_L \geq 2 \text{ k}\Omega$	50	160		25	160		V/mV
Input Offset Voltage	$R_S \leq 50 \text{ k}\Omega$			3.0			10	mV
Average Temperature Coefficient of Input Offset Voltage	$R_S \leq 50 \text{ k}\Omega$		3.0	15		6.0	30	$\mu\text{V}/^\circ\text{C}$
Input Offset Current				20			70	nA
Average Temperature Coefficient of Input Offset Current	$25^\circ\text{C} \leq T_A \leq T_{MAX}$		0.01	0.1		0.01	0.3	nA/ $^\circ\text{C}$
	$T_{MIN} \leq T_A \leq 25^\circ\text{C}$		0.02	0.2		0.02	0.6	nA/ $^\circ\text{C}$
Input Bias Current				0.1			0.3	μA
Supply Current	$T_A = T_{MAX}$, $V_S = \pm 20\text{V}$		1.2	2.5				mA

Electrical Characteristics (Note 5) (Continued)

$T_A = T_J$

Parameter	Conditions	LM101A/LM201A			LM301A			Units
		Min	Typ	Max	Min	Typ	Max	
Large Signal Voltage Gain	$V_S = \pm 15V, V_{OUT} = \pm 10V$ $R_L \geq 2k$	25			15			V/mV
Output Voltage Swing	$V_S = \pm 15V$	$R_L = 10 k\Omega$	± 12	± 14	± 12	± 14		V
		$R_L = 2 k\Omega$	± 10	± 13	± 10	± 13		V
Input Voltage Range	$V_S = \pm 20V$	± 15						V
	$V_B = \pm 15V$				± 12	$\pm 15, -13$		V
Common-Mode Rejection Ratio	$R_S \leq 50 k\Omega$	80	96		70	90		dB
Supply Voltage Rejection Ratio	$R_S \leq 50 k\Omega$	80	96		70	96		dB

Note 2: Absolute Maximum Ratings indicate limits beyond which damage to the device may occur. Operating ratings indicate for which the device is functional, but do not guarantee specific performance limits. Electrical Characteristics state DC and AC electrical specifications under particular test conditions which guarantee specific limits. This assumes that the device is within the Operating Ratings. Specifications are not guaranteed for parameters where no limit is given, however, the typical value is a good indication of device performance.

Note 3: For supply voltages less than $\pm 15V$, the absolute maximum input voltage is equal to the supply voltage.

Note 4: Continuous short circuit is allowed for case temperatures to $125^\circ C$ and ambient temperatures to $75^\circ C$ for LM101A/LM201A, and $70^\circ C$ and $55^\circ C$ respectively for LM301A.

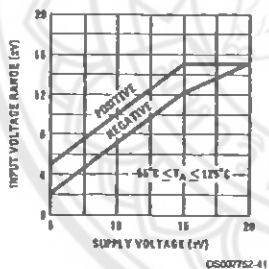
Note 5: Unless otherwise specified, these specifications apply for $C1 = 30 pF, \pm 5V \leq V_S \leq \pm 20V$ and $-55^\circ C \leq T_A \leq +125^\circ C$ (LM101A), $\pm 5V \leq V_S \leq \pm 20V$ and $-25^\circ C \leq T_A \leq +85^\circ C$ (LM201A), $\pm 5V \leq V_S \leq \pm 15V$ and $0^\circ C \leq T_A \leq +70^\circ C$ (LM301A).

Note 6: Refer to RETS101AX for LM101A military specifications and RETS101X for LM101 military specifications.

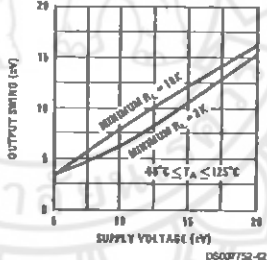
Note 7: Human body model, 100 pF discharged through 1.5 k Ω .

Guaranteed Performance Characteristics LM101A/LM201A

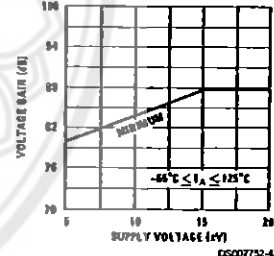
Input Voltage Range



Output Swing

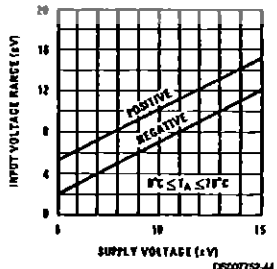


Voltage Gain

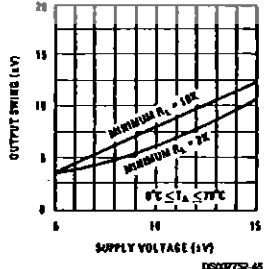


Guaranteed Performance Characteristics LM301A

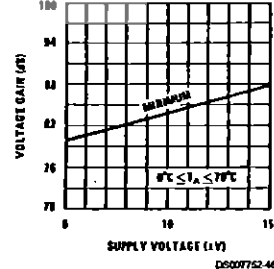
Input Voltage Range



Output Swing

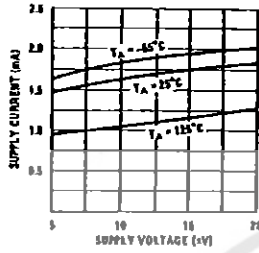


Voltage Gain



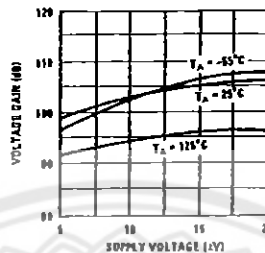
Typical Performance Characteristics

Supply Current



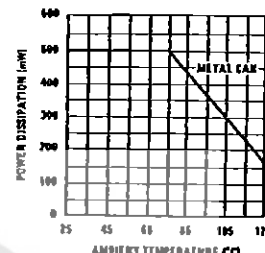
DS007752-47

Voltage Gain



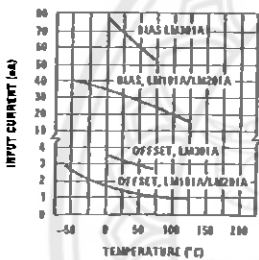
DS007752-48

Maximum Power Dissipation



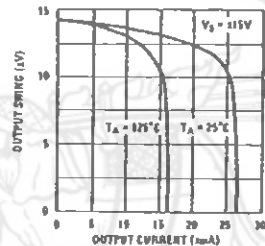
DS007752-49

Input Current, LM101A/LM201A/LM301A



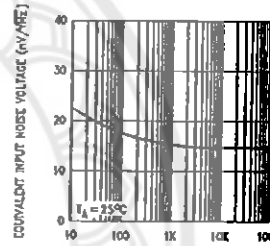
DS007752-50

Current Limiting



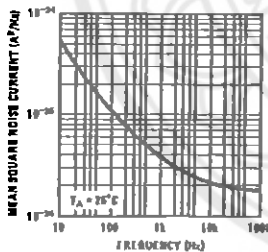
DS007752-51

Input Noise Voltage



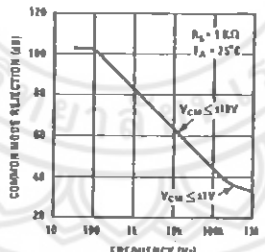
DS007752-52

Input Noise Current



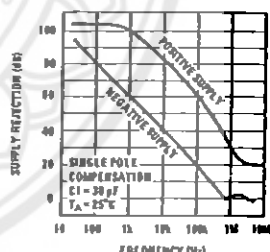
DS007752-53

Common Mode Rejection



DS007752-54

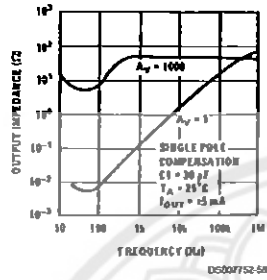
Power Supply Rejection



DS007752-55

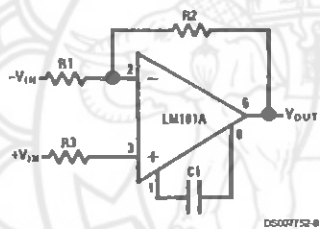
Typical Performance Characteristics (Continued)

Closed Loop Output Impedance



Typical Performance Characteristics for Various Compensation Circuits (Note 9)

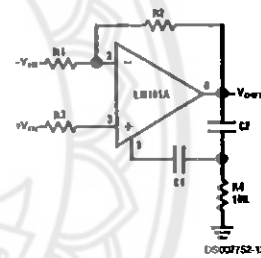
Single Pole Compensation



$$C1 \geq \frac{R1 C_S}{R1 + R2}$$

$$C_S = 30 \text{ pF}$$

Two Pole Compensation

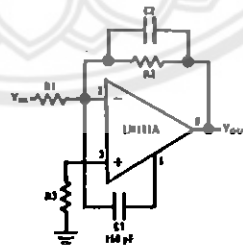


$$C1 \geq \frac{R1 C_S}{R1 + R2}$$

$$C_S = 30 \text{ pF}$$

$$C2 = 10 C1$$

Feedforward Compensation

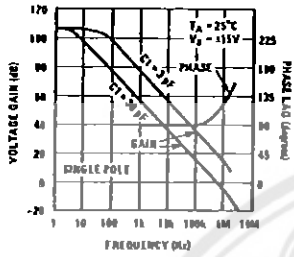


$$C2 = \frac{1}{2\pi f_b R2}$$

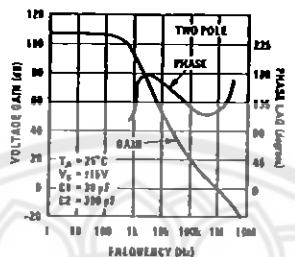
$$f_b = 3 \text{ MHz}$$

Typical Performance Characteristics for Various Compensation Circuits
(Note 9) (Continued)

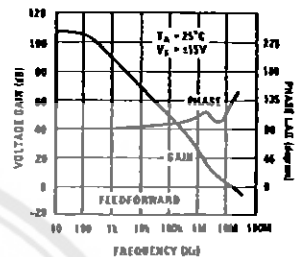
Open Loop Frequency Response



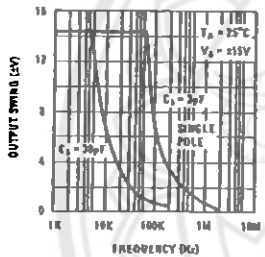
Open Loop Frequency Response



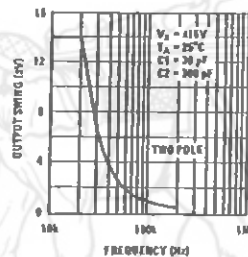
Open Loop Frequency Response



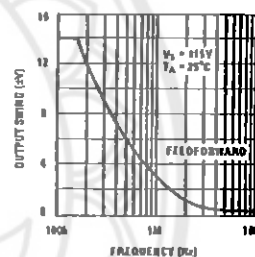
Large Signal Frequency Response



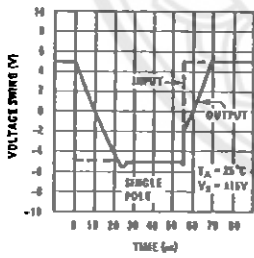
Large Signal Frequency Response



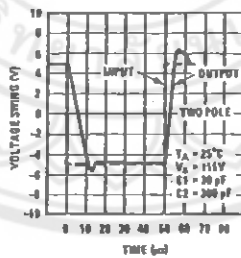
Large Signal Frequency Response



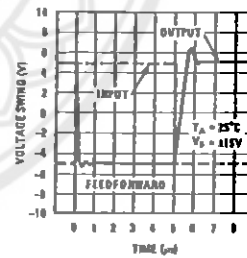
Voltage Follower Pulse Response



Voltage Follower Pulse Response

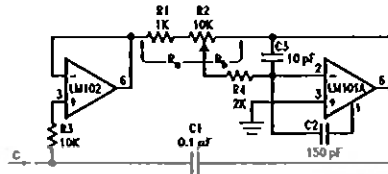


Inverter Pulse Response



Typical Applications (Note 9)

Variable Capacitance Multiplier



DS007752-20

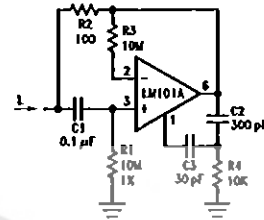
$$C = 1 + \frac{R_b}{R_a} C_1$$

$$L \equiv R_1 R_2 C_1$$

$$R_s = R_2$$

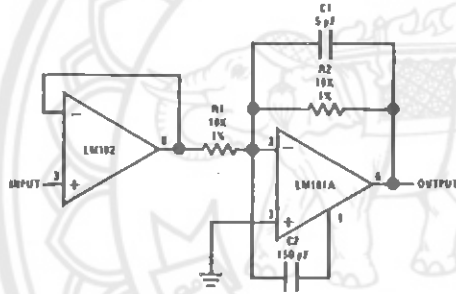
$$R_p = R_1$$

Simulated Inductor



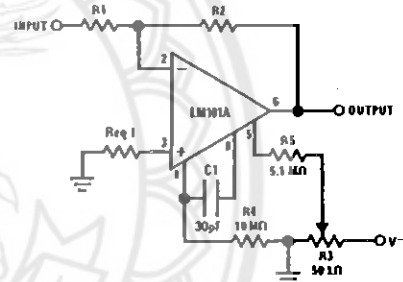
DS007752-21

Fast Inverting Amplifier with High Input Impedance



DS007752-22

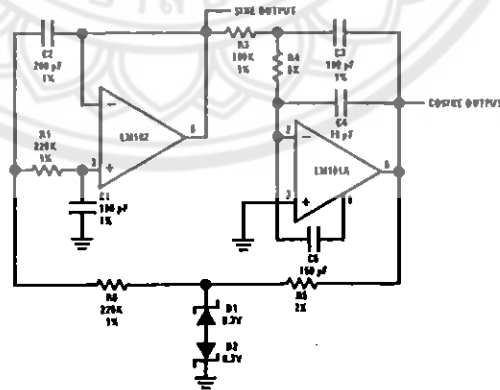
Inverting Amplifier with Balancing Circuit



DS007752-23

¹May be zero or equal to parallel combination of R1 and R2 for minimum offset.

Sine Wave Oscillator

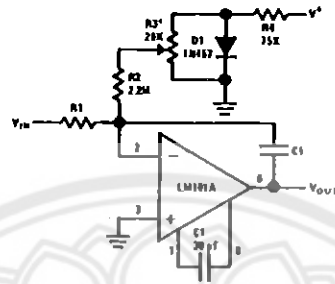


DS007752-24

$f_o = 10 \text{ kHz}$

Typical Applications (Note 9) (Continued)

Integrator with Bias Current Compensation

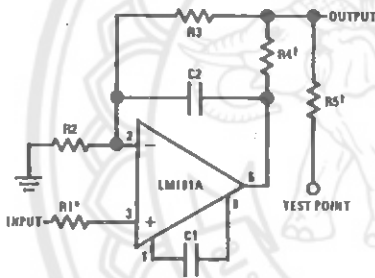


DS00752-25

*Adjust for zero integrator drift. Current drift typically 0.1 nA/C over -55°C to +125°C temperature range.

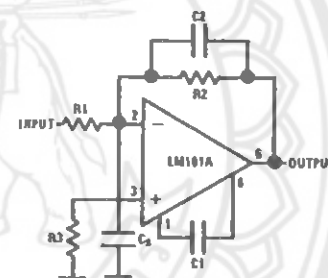
Application Hints (Note 9)

Protecting Against Gross Fault Conditions



DS00752-26

Compensating for Stray Input Capacitances or Large Feedback Resistor

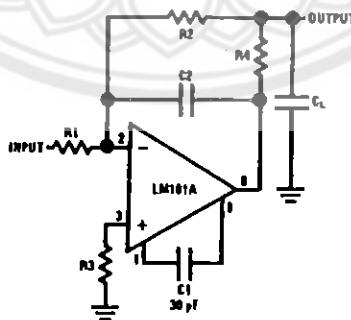


DS00752-27

- *Protects input
- †Protects output
- ‡Protects output — not needed when R4 is used.

$$C2 = \frac{R1 C3}{R2}$$

Isolating Large Capacitive Loads



DS00752-28

Although the LM101A is designed for trouble free operation, experience has indicated that it is wise to observe certain precautions given below to protect the devices from abnormal operating conditions. It might be pointed out that the ad-

vice given here is applicable to practically any IC op amp, although the exact reason why may differ with different devices.

Application Hints (Note 9) (Continued)

When driving either input from a low-impedance source, a limiting resistor should be placed in series with the input lead to limit the peak instantaneous output current of the source to something less than 100 mA. This is especially important when the inputs go outside a piece of equipment where they could accidentally be connected to high voltage sources. Large capacitors on the input (greater than 0.1 pF) should be treated as a low source impedance and isolated with a resistor. Low impedance sources do not cause a problem unless their output voltage exceeds the supply voltage. However, the supplies go to zero when they are turned off, so the isolation is usually needed.

The output circuitry is protected against damage from shorts to ground. However, when the amplifier output is connected to a test point, it should be isolated by a limiting resistor, as test points frequently get shorted to bad places. Further, when the amplifier drives a load external to the equipment, it is also advisable to use some sort of limiting resistance to preclude mishaps.

Precautions should be taken to insure that the power supplies for the integrated circuit never become reversed—even under transient conditions. With reverse voltages greater than 1V, the IC will conduct excessive cur-

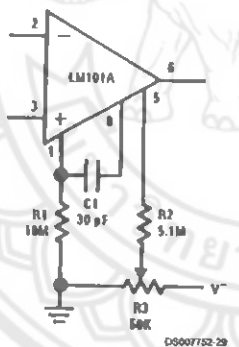
rent, fusing internal aluminum interconnects. If there is a possibility of this happening, clamp diodes with a high peak current rating should be installed on the supply lines. Reversal of the voltage between V^+ and V^- will always cause a problem, although reversals with respect to ground may also give difficulties in many circuits.

The minimum values given for the frequency compensation capacitor are stable only for source resistances less than 10 k Ω , stray capacitances on the summing junction less than 5 pF and capacitive loads smaller than 100 pF. If any of these conditions are not met, it becomes necessary to over-compensate the amplifier with a larger compensation capacitor. Alternately, lead capacitors can be used in the feedback network to negate the effect of stray capacitance and large feedback resistors or an RC network can be added to isolate capacitive loads.

Although the LM101A is relatively unaffected by supply bypassing, this cannot be ignored altogether. Generally it is necessary to bypass the supplies to ground at least once on every circuit card, and more bypass points may be required if more than five amplifiers are used. When feed-forward compensation is employed, however, it is advisable to bypass the supply leads of each amplifier with low inductance capacitors because of the higher frequencies involved.

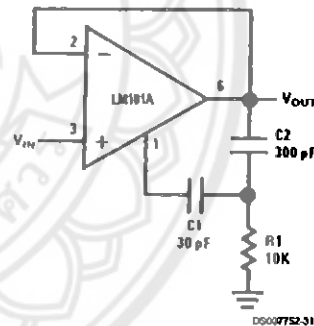
Typical Applications (Note 9)

Standard Compensation and Offset Balancing Circuit



DS007752-29

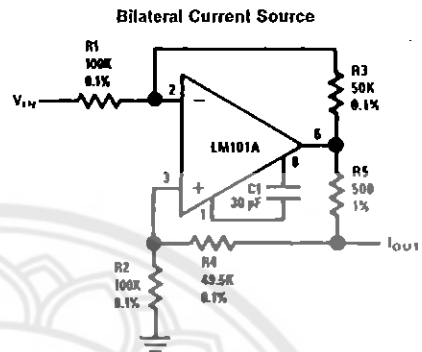
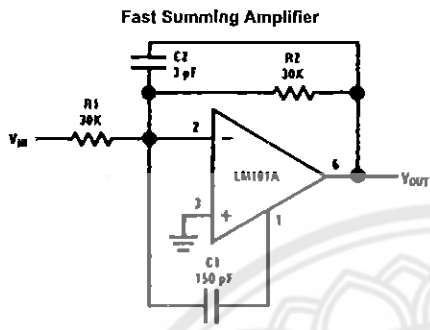
Fast Voltage Follower



DS007752-31

Power Bandwidth: 15 MHz
Slew Rate: 1V/ μ s

Typical Applications (Note 9) (Continued)



Power Bandwidth: 250 kHz
 Small Signal Bandwidth: 3.5 MHz
 Slew Rate: 10V/μs

06007752-30

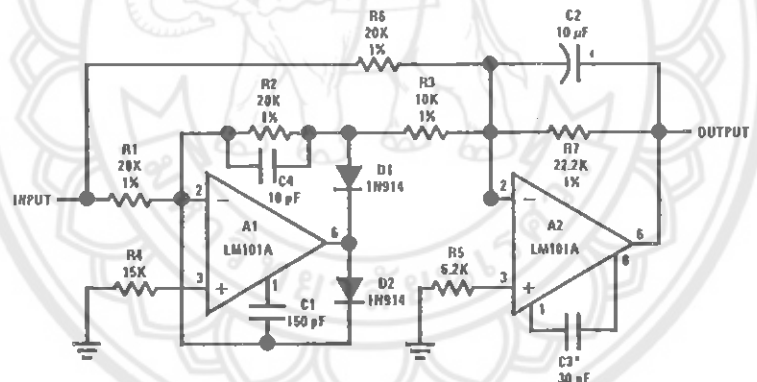
06007752-32

$$I_{OUT} = \frac{R_3 V_{IN}}{R_1 R_5}$$

$$R_3 = R_4 + R_5$$

$$R_1 = R_2$$

Fast AC/DC Converter (Note 8)

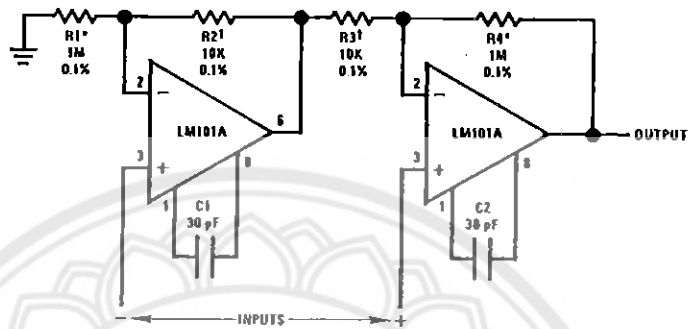


Note 8: Feedforward compensation can be used to make a fast full wave rectifier without a filter.

06007752-33

Typical Applications (Note 9) (Continued)

Instrumentation Amplifier



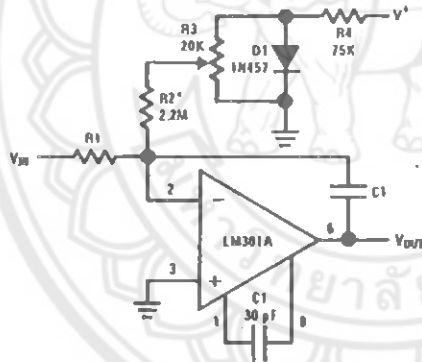
DS007752-34

$R1 = R4; R2 = R3$

$A_V = 1 + \frac{R1}{R2}$

*.1 Matching determines CMRR.

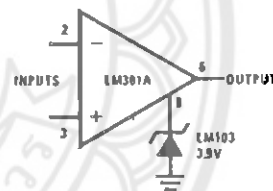
Integrator with Bias Current Compensation



DS007752-35

*Adjust for zero integrator drift. Current drift typically 0.1 nA/°C over 0°C to +70°C temperature range.

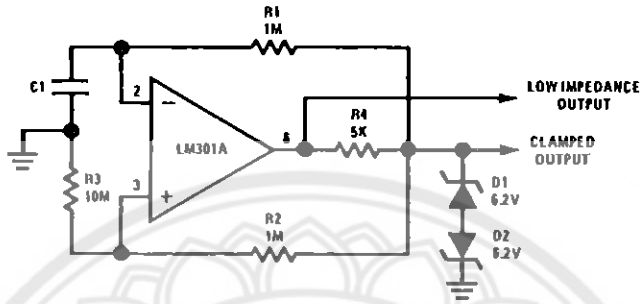
Voltage Comparator for Driving RTL Logic or High Current Driver



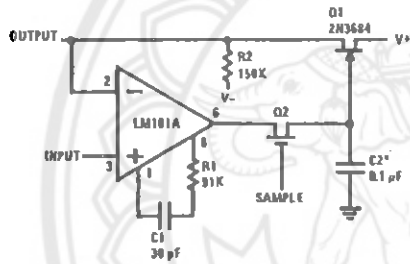
DS007752-37

Typical Applications (Note 9) (Continued)

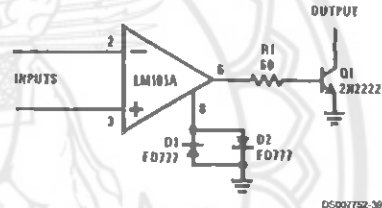
Low Frequency Square Wave Generator



Low Drift Sample and Hold

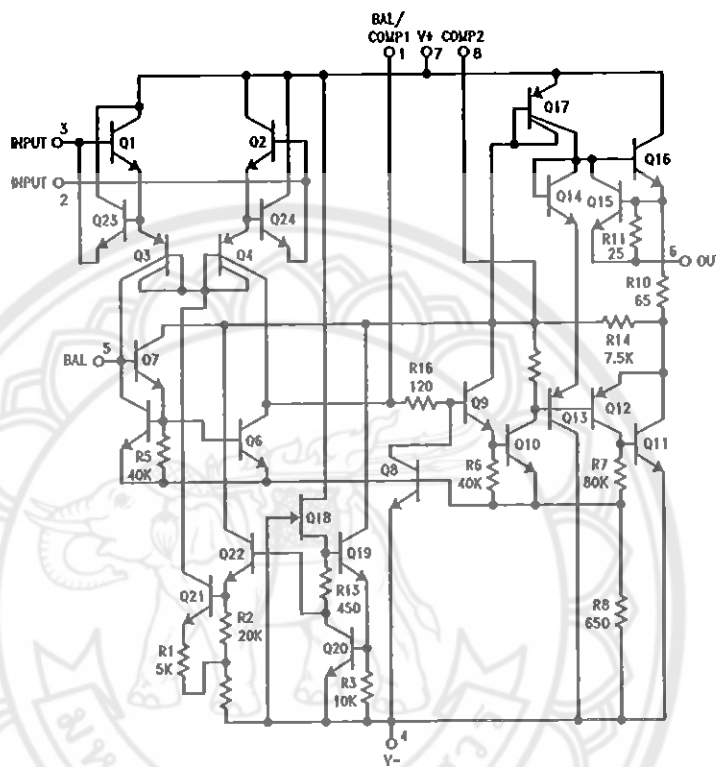


Voltage Comparator for Driving DTL or TTL Integrated Circuits



*Polycarbonate-dielectric capacitor

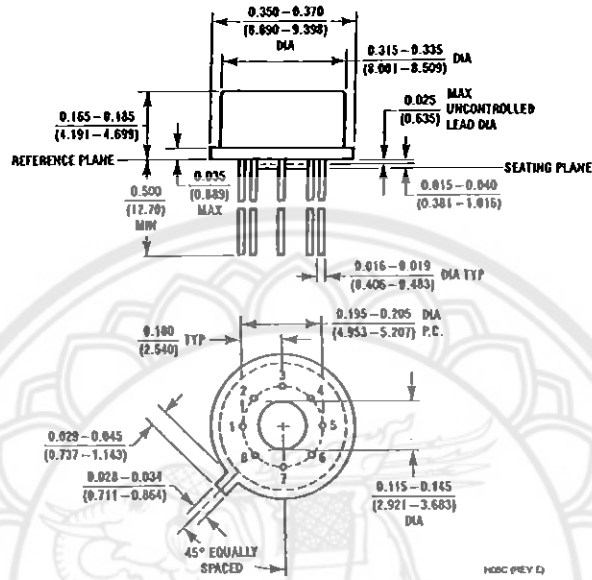
Schematic (Note 9)



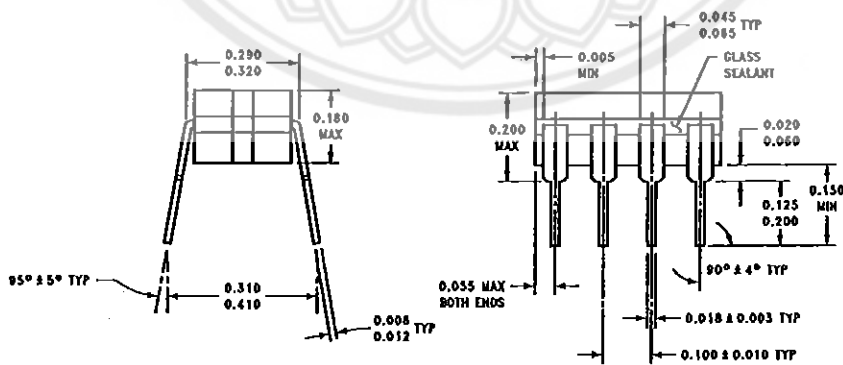
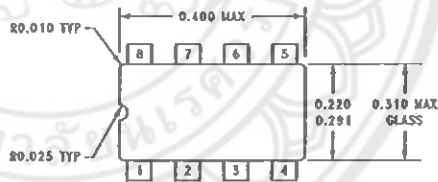
Note 9: Pin connections shown are for 6-pin packages.

D5007752-4

Physical Dimensions Inches (millimeters) unless otherwise noted

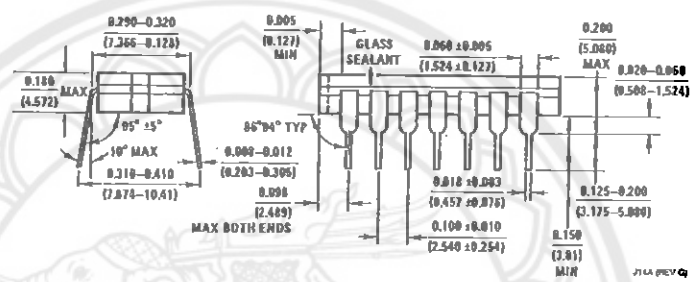
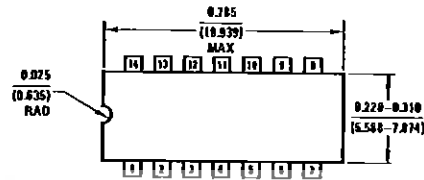


Metal Can Package (H)
 Order Number LM101AH, LM101AH/883
 LM201AH or LM301AH
 NS Package Number H08C

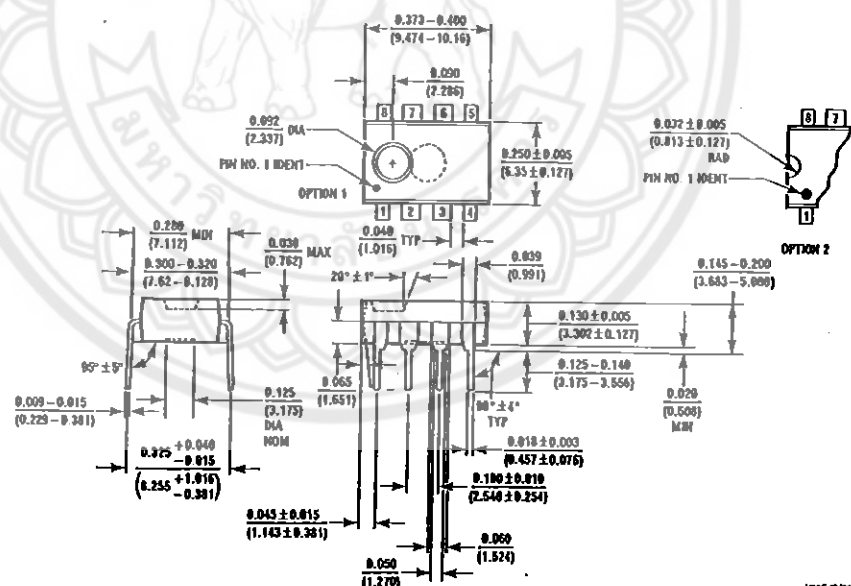


Ceramic Dual-In-Line Package (J)
 Order Number LM101J/883 or LM101AJ
 NS Package Number J08A

Physical Dimensions Inches (millimeters) unless otherwise noted (Continued)

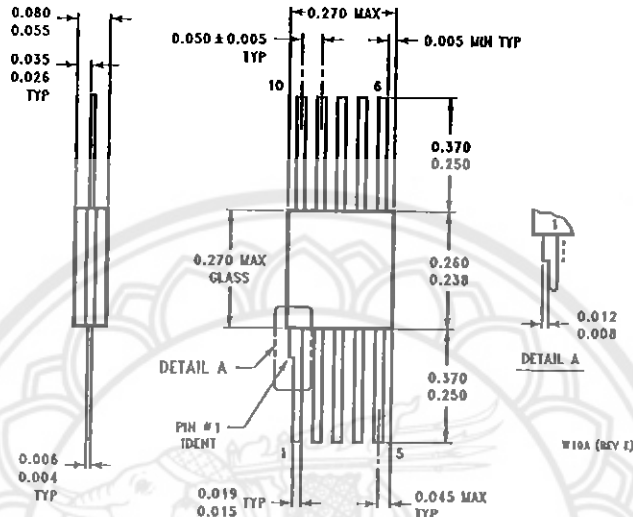


Ceramic Dual-In-Line Package (J)
 Order Number LM101AJ-14/883
 NS Package Number J14A



Molded Dual-In-Line Package (N)
 Order Number LM201AN or LM301AN
 NS Package Number N08E

Physical Dimensions inches (millimeters) unless otherwise noted (Continued)



Ceramic Flatpack Package (W)
Order Number LM101AW/883 or LM101W/883
NS Package Number W10A

LIFE SUPPORT POLICY

NATIONAL'S PRODUCTS ARE NOT AUTHORIZED FOR USE AS CRITICAL COMPONENTS IN LIFE SUPPORT DEVICES OR SYSTEMS WITHOUT THE EXPRESS WRITTEN APPROVAL OF THE PRESIDENT AND GENERAL COUNSEL OF NATIONAL SEMICONDUCTOR CORPORATION. As used herein:

1. Life support devices or systems are devices or systems which, (a) are intended for surgical implant into the body, or (b) support or sustain life, and whose failure to perform when properly used in accordance with instructions for use provided in the labeling, can be reasonably expected to result in a significant injury to the user.
2. A critical component is any component of a life support device or system whose failure to perform can be reasonably expected to cause the failure of the life support device or system, or to affect its safety or effectiveness.

N National Semiconductor Corporation
Americas
Tel: 1-800-272-9959
Fax: 1-800-737-7018
Email: support@nsc.com

National Semiconductor Europe
Fax: +49 (0) 1 80-530 85 88
Email: europe.support@nsc.com
Deutsch Tel: +49 (0) 1 80-530 85 85
English Tel: +49 (0) 1 80-532 78 32
Français Tel: +49 (0) 1 80-532 83 58
Italiano Tel: +49 (0) 1 80-534 16 80

National Semiconductor Asia Pacific Customer Response Group
Tel: 65-2544466
Fax: 65-2504466
Email: asa.support@nsc.com

National Semiconductor Japan Ltd.
Tel: 81-3-5639-7560
Fax: 81-3-5639-7507

www.national.com

National does not assume any responsibility for use of any circuitry described, no circuit patent licenses are implied and National reserves the right at any time without notice to change said circuitry and specifications.